

ΠΟΙΑ ΣΩΜΑΤΙΔΙΑ ΑΠΟΡΡΟΦΟΥΝ...

- Συνήθως, η απορρόφηση της ορατής ή υπεριώδους ακτινοβολίας οφείλεται στη διέγερση ηλεκτρονίων της στιβάδας σθένους.
- Τα μήκη κύματος των απορροφήσεων μπορούν να συσχετισθούν με τους τύπους των δεσμών στα εξεταζόμενα σωματίδια.
- Η φασματομετρία μοριακής απορρόφησης αποτελεί ένα χρήσιμο μέσο για την ταυτοποίηση χαρακτηριστικών ομάδων σε ένα μόριο.
- Πολύ μεγάλη είναι η χρησιμότητα της φασματοφωτομετρίας ορατού και υπεριώδους, στον ποσοτικό προσδιορισμό των ενώσεων που περιέχουν τις ομάδες αυτές.

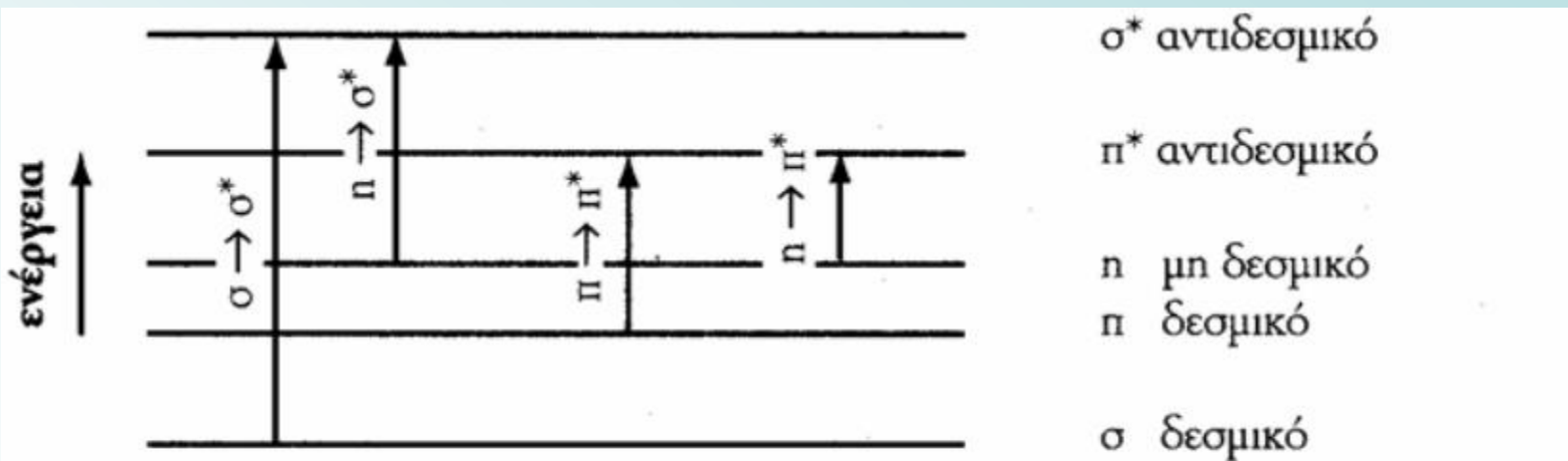
ΠΟΙΟΤΙΚΕΣ ΕΦΑΡΜΟΓΕΣ ΤΗΣ ΦΑΣΜΑΤΟΣΚΟΠΙΑΣ ΑΠΟΡΡΟΦΗΣΗΣ ΥΠΕΡΙΩΔΟΥΣ-ΟΡΑΤΟΥ

Χρωμοφόρα ή χρωμοφόρες ομάδες: Λειτουργικές ομάδες που περιέχονται σε μόρια και που είναι ικανές να απορροφήσουν υπεριώδη-ορατή ακτινοβολία.

Τα φάσματα των οργανικών μορίων, που περιέχουν χρωμοφόρες ομάδες, είναι συνήθως πολύπλοκα, επειδή οι μεταπτώσεις των δονητικών και ηλεκτρονιακών σταθμών προστίθενται και δημιουργούν περιοχές αλληλεπικάλυψης. Το αποτέλεσμα είναι μια ευρεία ταινία απορρόφησης, η οποία συχνά φαίνεται να είναι συνεχής.

Τα φάσματα στην υπεριώδη περιοχή δεν έχουν αρκετά λεπτή υφή για να επιτρέπουν τη σαφή ταυτοποίηση του αναλύτη. Έτσι, φασματικά δεδομένα στην υπεριώδη περιοχή πρέπει να συμπληρώνονται με άλλες φυσικές ή χημικές αποδείξεις, όπως φάσματα στην περιοχή IR, NMR, MS, καθώς και με πληροφορίες που λαμβάνονται από δεδομένα διαλυτότητας, σημείου τήξεως και σημείου ζέσεως.

ΠΟΙΟΤΙΚΕΣ ΕΦΑΡΜΟΓΕΣ ΤΗΣ ΦΑΣΜΑΤΟΣΚΟΠΙΑΣ ΑΠΟΡΡΟΦΗΣΗΣ ΥΠΕΡΙΩΔΟΥΣ-ΟΡΑΤΟΥ



Παραδείγματα ηλεκτρονιακών μεταπτώσεων που προκαλούνται με υπεριώδη ακτινοβολία.

Για την πλειοψηφία των οργανικών μορίων τα ηλεκτρόνια κατατάσσονται σε 3 κατηγορίες:

σ -ηλεκτρόνια

π -ηλεκτρόνια και

n-ηλεκτρόνια ή μη δεσμικά (non-bonding)

Η μετάβαση $\sigma \rightarrow \sigma^*$ απαιτεί ενέργεια της οποίας το μήκος κύματος πέφτει στην άπω υπεριώδη περιοχή, οι μεταβάσεις $\pi \rightarrow \pi^*$ και $n \rightarrow \sigma^*$ εμφανίζονται στη διαχωριστική γραμμή της άπω UV και κυρίως UV και η μετάβαση $n \rightarrow \pi^*$ στην υπεριώδη και ορατή περιοχή.

ΠΟΙΟΤΙΚΕΣ ΕΦΑΡΜΟΓΕΣ ΤΗΣ ΦΑΣΜΑΤΟΣΚΟΠΙΑΣ ΑΠΟΡΡΟΦΗΣΗΣ ΥΠΕΡΙΩΔΟΥΣ-ΟΡΑΤΟΥ

- Όλες οι οργανικές ενώσεις έχουν την ικανότητα να απορροφούν ηλεκτρομαγνητική ακτινοβολία καθώς όλες περιέχουν ηλεκτρόνια σθένους, τα οποία μπορούν να διεγερθούν σε υψηλότερες ενεργειακές καταστάσεις.
- Οι ενέργειες που συνδέονται με διέγερση ηλεκτρονίων απλών δεσμών είναι τόσο μεγάλες, ώστε η απορρόφηση ακτινοβολίας περιορίζεται στη λεγόμενη περιοχή υπεριώδους κενού ($\lambda < 185 \text{ nm}$). Τέτοιες μεταπτώσεις αφορούν διεγέρσεις μη δεσμικά n ηλεκτρόνια σε τροχιακά σ^* .
- Οι γραμμομοριακές απορροφητικότητες των μεταπτώσεων $n \rightarrow \sigma^*$ είναι χαμηλές ή μέτριες (100 και $3000 \text{ L mol}^{-1} \text{ cm}^{-1}$). Οι φασματοφωτομετρικές μελέτες των οργανικών ενώσεων πραγματοποιούνται αποκλειστικά σε μήκη κύματος μεγαλύτερα από 185 nm .
- Οι περισσότερες εφαρμογές της φασματοσκοπίας απορρόφησης οργανικών ενώσεων βασίζονται σε μεταπτώσεις n ή π ηλεκτρονίων σε διεγερμένη κατάσταση π^* , επειδή οι απαιτούμενες ενέργειες για τις διαδικασίες αυτές μετακινούν τις ταινίες απορρόφησης προς την περιοχή υπεριώδους-ορατού (200 με 700 nm).

ΠΟΙΟΤΙΚΕΣ ΕΦΑΡΜΟΓΕΣ ΤΗΣ ΦΑΣΜΑΤΟΣΚΟΠΙΑΣ ΑΠΟΡΡΟΦΗΣΗΣ ΥΠΕΡΙΩΔΟΥΣ-ΟΡΑΤΟΥ

- Οι μεταπτώσεις $n \rightarrow \pi^*$ και $\pi \rightarrow \pi^*$ απαιτούν την παρουσία μιας ακόρεστης λειτουργικής ομάδας που διαθέτει π τροχιακά.
- Απλές χρωμοφόρες ομάδες με διπλούς και τριπλούς δεσμούς, όπως $>C=C<$, $-C\equiv C-$, $-C\equiv N-$, $>C=O$, $-N=N-$ κλπ, υπόκεινται σε ενεργειακές μεταβάσεις $\pi \rightarrow \pi^*$.
- Άλλες ομάδες, όπως $-OH$, $-OR$ ($R =$ αλκύλιο), $-NH_2$, $-SH$ και τα αλογόνα, έχουν ελεύθερα ζεύγη ηλεκτρονίων. Τα ηλεκτρόνια αυτά (μη δεσμικά) συγκρατούνται χαλαρά από τους πυρήνες και μπορούν να υποστούν μεταβάσεις σε μήκη κύματος άνω των 190 nm.
- Οι κορεσμένες οργανικές ενώσεις που περιέχουν τα ετεροάτομα οξυγόνο, άζωτο, θείο, ή αλογόνα έχουν μη δεσμικά ηλεκτρόνια, τα οποία μπορούν να διεγερθούν με ακτινοβολία της περιοχής 170 με 250 nm.

ΠΟΙΟΤΙΚΕΣ ΕΦΑΡΜΟΓΕΣ ΤΗΣ ΦΑΣΜΑΤΟΣΚΟΠΙΑΣ ΑΠΟΡΡΟΦΗΣΗΣ ΥΠΕΡΙΩΔΟΥΣ-ΟΡΑΤΟΥ

Χρωμοφόρο	Παράδειγμα	Διαλύτης	λ_{\max} , nm	ϵ_{\max}
Αλκένιο	$C_6H_{13}CH=CH_2$	<i>n</i> -Επτάνιο	177	13.000
Αλκίνιο	$C_5H_{11}C\equiv CCH_3$	<i>n</i> -Επτάνιο	178	10.000
			196	2.000
			225	160
Καρβονύλιο	$CH_3C(=O)CH_3$	<i>n</i> -Εξάνιο	186	1.000
			280	16
	$CH_3C(=O)CH_2OH$	<i>n</i> -Εξάνιο	180	μεγάλο
			293	12
Καρβοξύλιο	CH_3COOH	Αιθανόλη	204	41
Αμίδιο	$CH_3C(=O)NH_2$	Ύδωρ	214	60
Αζωομάδα	$CH_3N=NCH_3$	Αιθανόλη	339	5
Νιτροομάδα	CH_3NO_2	Ισοοκτάνιο	280	22
Νιτρωδομάδα	C_4H_9NO	Διαιθυλαιθέρας	300	100
			665	20

ΕΦΑΡΜΟΓΕΣ ΣΤΗΝ ΠΟΣΟΤΙΚΗ ΑΝΑΛΥΣΗ ΜΕ ΜΕΤΡΗΣΕΙΣ ΑΠΟΡΡΟΦΗΣΗΣ

Η φασματοσκοπία μοριακής απορρόφησης είναι από τα χρησιμότερα και πιο διαδεδομένα “εργαλεία” στη διάθεση των χημικών για την πραγματοποίηση ποσοτικών προσδιορισμών.

Χαρακτηριστικά των φωτομετρικών /φασματοφωτομετρικών μεθόδων:

- (1) ευρεία εφαρμογή τόσο σε οργανικά όσο και σε ανόργανα συστήματα
- (2) όρια προσδιορισμών της τάξης των 10^{-4} έως 10^{-5} M, τα οποία μπορεί να φτάσουν και μέχρι 10^{-6} έως 10^{-7} M, με κατάλληλες τροποποιήσεις
- (3) μέτρια έως και μεγάλη εκλεκτικότητα
- (4) καλή ακρίβεια (ορθότητα) και
- (5) εύκολη συλλογή των αποτελεσμάτων

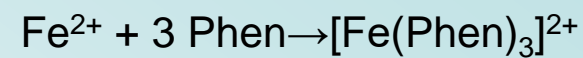
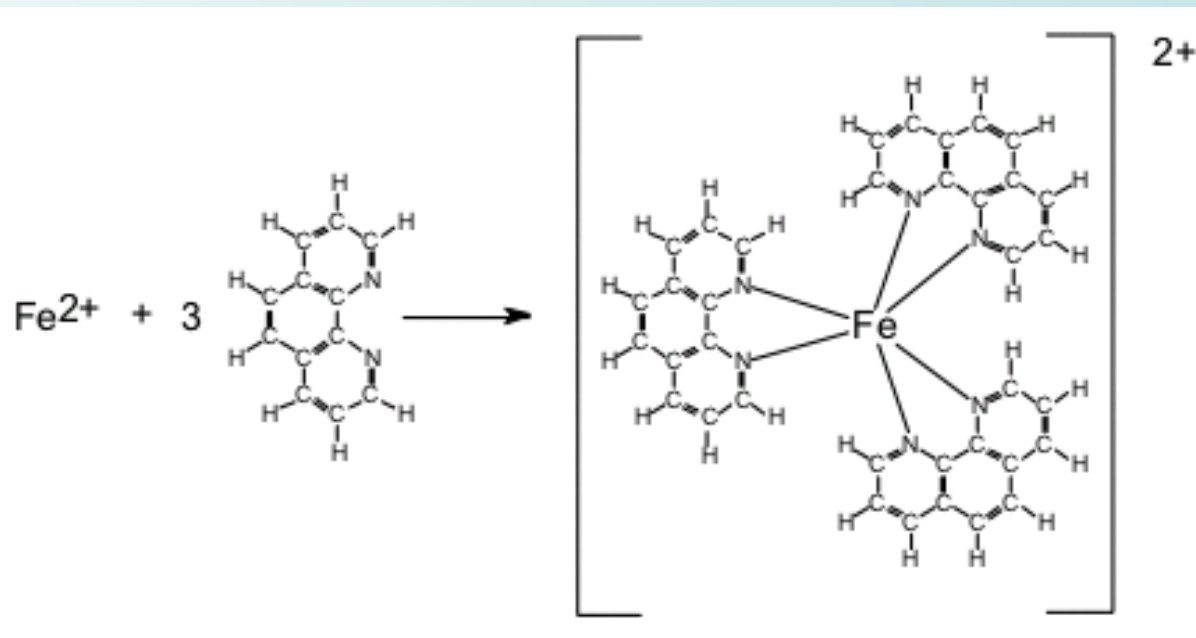
Εφαρμογές σε απορροφούντα χημικά σωματίδια

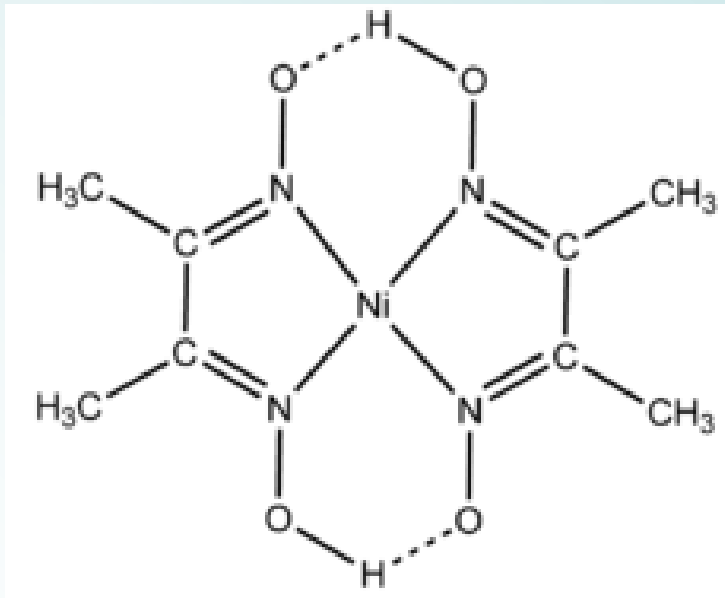
Ο φασματοφωτομετρικός προσδιορισμός οποιασδήποτε οργανικής ένωσης, η οποία περιέχει χρωμοφόρες ομάδες, είναι εφικτός.

Εφαρμογές σε μη απορροφούντα χημικά σωματίδια

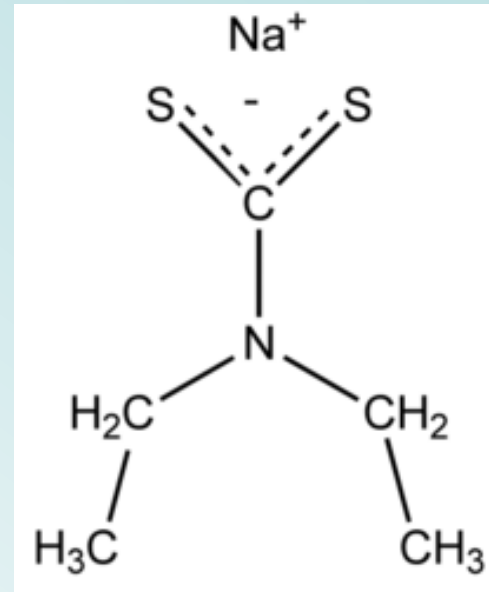
- Μεγάλος αριθμός αντιδραστηρίων (χρωμογόνα) αντιδρούν εκλεκτικά με μη απορροφούντα χημικά σωματίδια και παράγουν προϊόντα, τα οποία εμφανίζουν έντονη απορρόφηση στο υπεριώδες ή στο ορατό.
- Χρωμογόνα αντιδραστήρια χρησιμοποιούνται συχνά για τον προσδιορισμό σωματιδίων που μπορεί να απορροφούν και τα ίδια. Ο λόγος, όμως, για τη χρήση τους είναι ότι **το έγχρωμο προϊόν παρουσιάζει γραμμομοριακή απορροφητικότητα κατά αρκετές τάξεις μεγέθους μεγαλύτερη από εκείνη των ελεύθερων σωματιδίων**.
- *Αν η ποσότητα του (έγχρωμου) προϊόντος περιορίζεται από τον αναλύτη, η απορρόφηση του προϊόντος είναι ανάλογη της συγκέντρωσής του.*

Τυπικά παραδείγματα: ο-φαινανθρολίνη για τον προσδιορισμό του σιδήρου (στα 510 nm)





διμεθυλογλυοξίμη για το νικέλιο
(κόκκινο)



διαιθυλοδιθειοκαρβαμικό ιόν για τον χαλκό
(436 nm)

ΓΕΝΙΚΗ ΠΟΡΕΙΑ ΦΑΣΜΑΤΟΦΩΤΟΜΕΤΡΙΚΗΣ ΑΝΑΛΥΣΗΣ

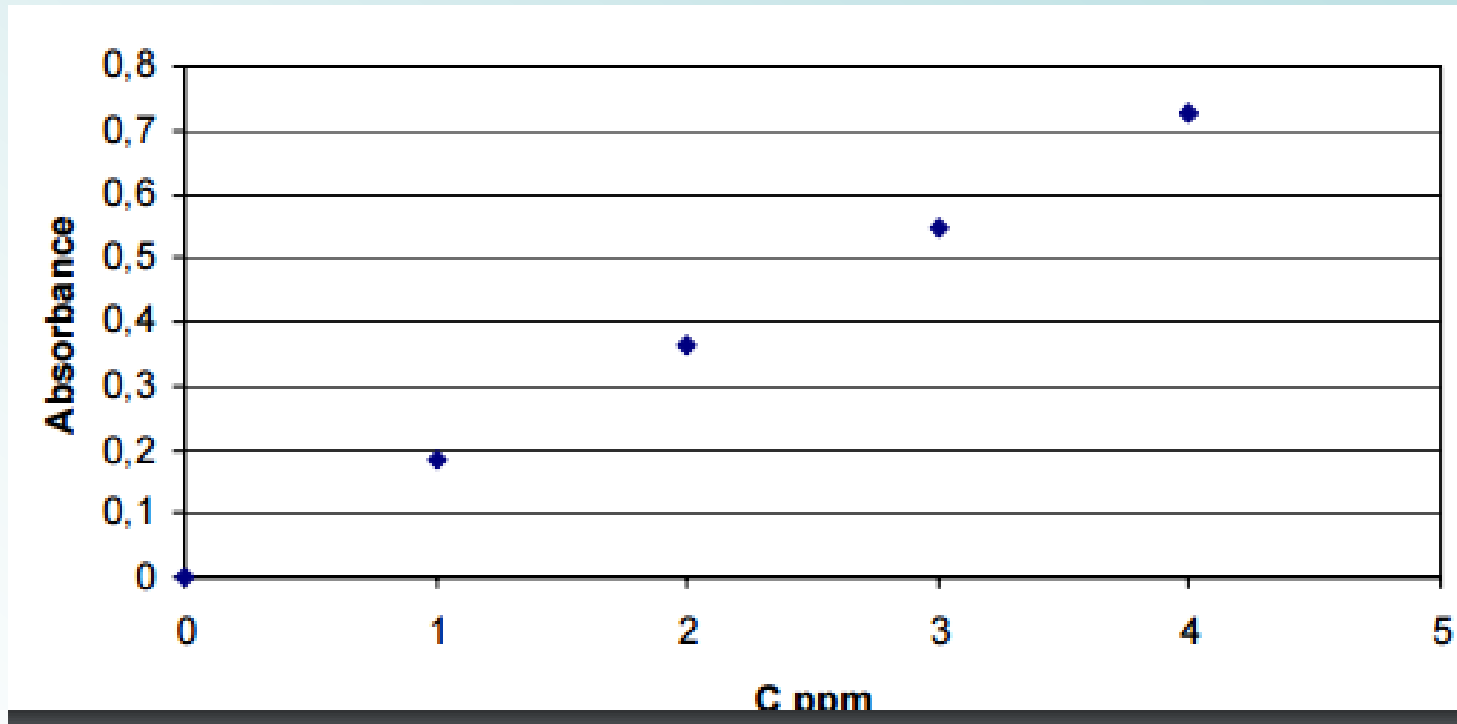
1. Λήψη του φάσματος απορρόφησης της υπό προσδιορισμό ουσίας (αναλύτη)
2. Επιλογή του καταλληλότερου μήκους κύματος
3. Κατασκευή της καμπύλης αναφοράς (πρότυπα διαλύματα)
4. Μέτρηση της απορρόφησης του άγνωστου δείγματος
5. Υπολογισμός της συγκέντρωσης

Παράδειγμα

Ο προσδιορισμός του Fe σε υδατικά βιομηχανικά απόβλητα πραγματοποιήθηκε με την μέθοδο σχηματισμού συμπλόκου με ο-φαινανθρολίνη και η συγκέντρωση του δείγματος προσδιορίστηκε στα 510 nm. Χρησιμοποιώντας τα παρακάτω πειραματικά δεδομένα να προσδιοριστεί η συγκέντρωση του Fe στο άγνωστο δ/μα.

ppm Fe	Απορρόφηση
0,000	0,000
1,000	0,183
2,000	0,364
3,000	0,546
4,000	0,727
Άγνωστο	0,269

1. Τοποθετούμε τα σημεία σε βαθμονομημένο χαρτί



2. Εφόσον η σχέση είναι γραμμική, εφαρμόζουμε τη μέθοδο των ελαχίστων τετραγώνων για την εύρεση της εξίσωσης της ευθείας

3. Εφαρμογή μεθόδου ελαχίστων τετραγώνων

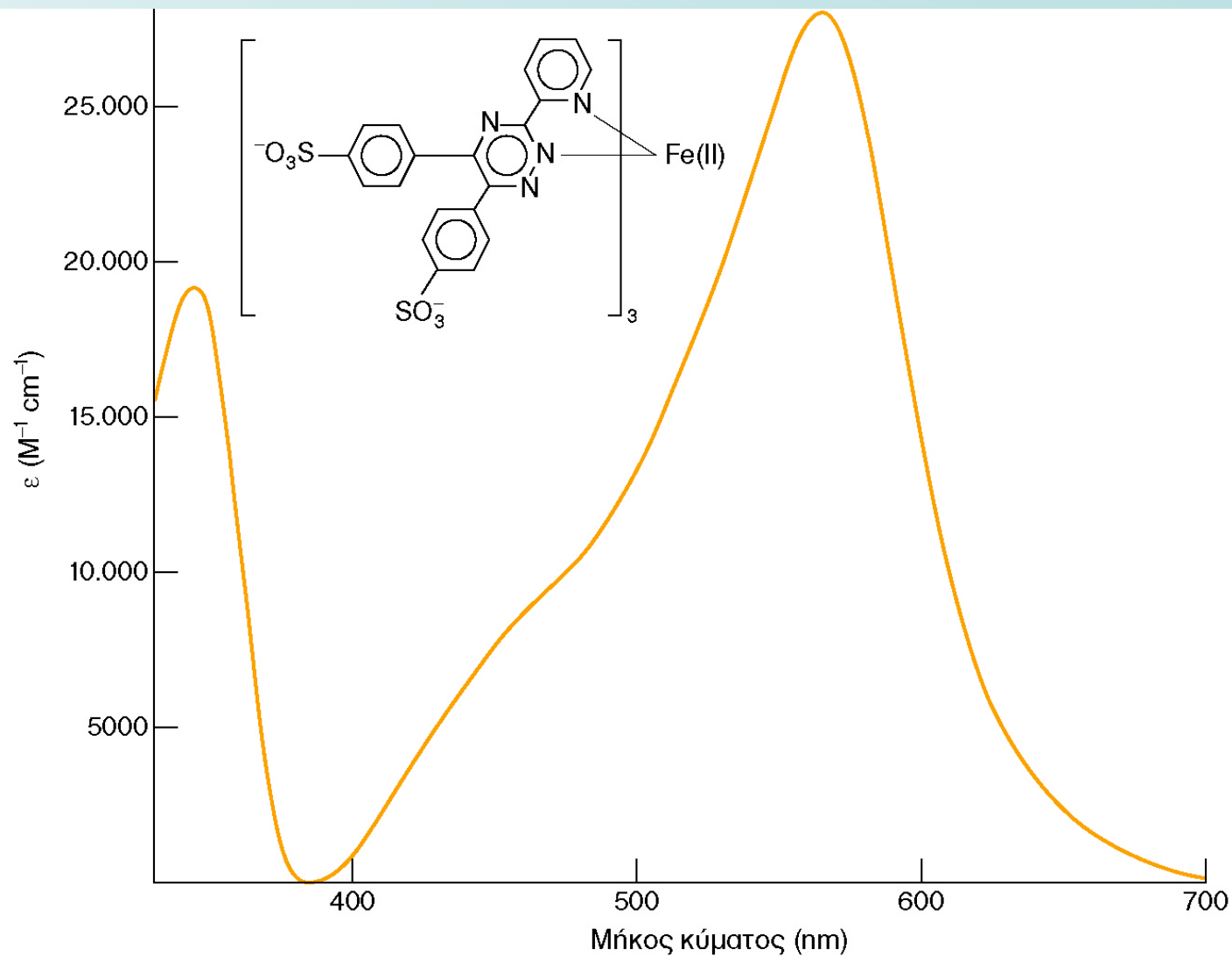
$$y = \alpha x + \beta$$

$$\text{κλίση } \alpha = \frac{n \sum x_i y_i - \sum x_i \sum y_i}{n \sum x_i^2 - (\sum x_i)^2} = \frac{(5 \times 5,457) - (10,000 \times 1,820)}{5 \times 30 - (10)^2} = \frac{9,085}{150 - 100} = 0,1817$$

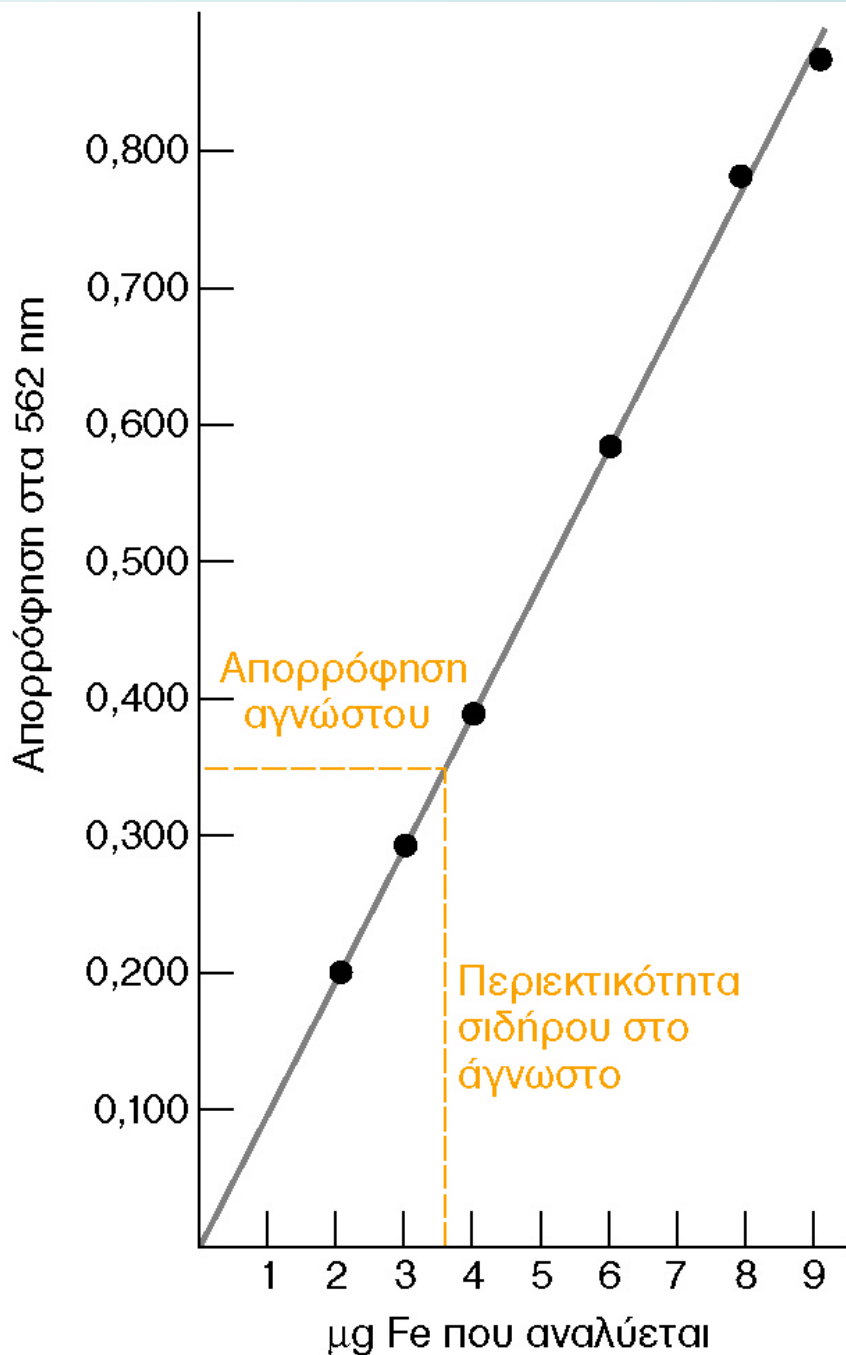
$$\text{τομή } \beta = \frac{\sum x_i^2 \times \sum y_i - \sum x_i \sum x_i y_i}{n \sum x_i^2 - (\sum x_i)^2} = \frac{(30 \times 1,820) - 10 \times 5,457}{5 \times 30 - (10)^2} = \frac{0,03}{50} = 0,0006$$

4. Από την εξίσωση της ευθείας της πρότυπης καμπύλης αναφοράς υπολογίζουμε την άγνωστη συγκέντρωση του διαλύματος του Fe

$$y = 0,1817x - 0,0006 \Rightarrow x = \frac{y + 0,0006}{0,1817} \Rightarrow x = \frac{0,269 + 0,0006}{0,1817} = 1,4838 \text{ ppm}$$



Ορατό φάσμα απορρόφησης του συμπλόκου (φεροζίνη)₃Fe(II) που χρησιμοποιείται στη χρωματομετρική ανάλυση του σιδήρου.



Καμπύλη βαθμονόμησης που δείχνει την ισχύ του νόμου του Beer για το σύμπλοκο (φερροζίνη)₃Fe(II), το οποίο χρησιμοποιείται κατά τη μέτρηση του σιδήρου στον ορό του αίματος.

ΠΑΡΑΔΕΙΓΜΑ

Οι συγκεντρώσεις του $Fe(III)$ και του $Cu(II)$ σ' ένα μίγμα μπορούν να προσδιοριστούν παρακολουθώντας την αντίδρασή τους με το εξακυανορουθίνιο, $Ru(CN)_6^{4-}$ το οποίο σχηματίζει ένα μπλε-βιολετί σύμπλοκο με το $Fe(III)$ ($\lambda_{max} = 550 \text{ nm}$) κι ένα πράσινο ανοιχτό σύμπλοκο με το $Cu(II)$ ($\lambda_{max} = 396 \text{ nm}$). Οι μοριακές απορροφητικότητες ($M^{-1} \text{ cm}^{-1}$) για τα σύμπλοκα των μετάλλων στα δύο μήκη κύματος είναι οι ακόλουθες:

	ϵ_{550}	ϵ_{396}
<u>$Fe(III)$</u>	9970	84
<u>$Cu(II)$</u>	34	856

Ένα δείγμα που περιέχει $Fe(III)$ και $Cu(II)$ αναλύεται με κυψελίδα $1,00 \text{ cm}$ και η απορρόφηση στα 550 nm είναι $0,183$, ενώ στα 396 nm είναι $0,109$. Ποιες είναι οι μοριακές συγκεντρώσεις των $Fe(III)$ και $Cu(II)$ στο δείγμα?

ΑΠΑΝΤΗΣΗ

Θυμίζω

$$A' = \varepsilon_M' b c_M + \varepsilon_N' b c_N \quad (\text{σε μήκος κύματος } \lambda')$$

$$A'' = \varepsilon_M'' b c_M + \varepsilon_N'' b c_N \quad (\text{σε μήκος κύματος } \lambda'')$$

$$A_{550} = 0,183 = 9970 C_{\text{Fe}} + 34 C_{\text{Cu}}$$

$$A_{396} = 0,109 = 84 C_{\text{Fe}} + 856 C_{\text{Cu}}$$

Για τον προσδιορισμό των C_{Fe} και C_{Cu} λύνουμε την 1η εξίσωση ως προς C_{Cu} και αντικαθιστούμε το αποτέλεσμα στη δεύτερη εξίσωση, οπότε

$$0,109 = 84 C_{\text{Fe}} + 856 \left(\frac{0,183 - 9970 C_{\text{Fe}}}{34} \right) = 4,607 - (2,51 \times 10^5) C_{\text{Fe}}$$

Λύνοντας ως προς C_{Fe} υπολογίζεται η συγκέντρωση του Fe(III) ως $1,80 \times 10^{-5} \text{ M}$.

Αντικαθιστώντας στην εξίσωση του μίγματος στα 396 nm λαμβάνουμε Cu(II) $1,26 \times 10^{-4} \text{ M}$.

ΠΑΡΑΔΕΙΓΜΑ

Ο $Fe(III)$ σχηματίζει σύμπλοκο με το θειοκυανικό ιόν που έχει τον χημικό τύπο $Fe(SCN)^{2+}$. Το σύμπλοκο έχει μέγιστο απορρόφησης στα 470 nm. Ένα δείγμα επιφανειακού νερού αναλύθηκε σύμφωνα με τα δεδομένα του παρακάτω πίνακα (οι όγκοι εκφράζονται σε ml):

Διάλυμα	Δείγμα	Οξειδωτικό	Fe(II) 2,75 ppm	KSCN 0,05 M	H ₂ O	Απορρόφηση στα 470 nm (1 cm)
1	0	5,00	5,00	20,00	70,00	0,549
2	50,00	5,00	0,00	20,00	25,00	0,231

Να υπολογιστεί η συγκέντρωση του Fe στο δείγμα σε ppm.

Διάλυμα	Δείγμα	Οξειδωτικό	Fe(II) 2,75 ppm	KSCN 0,05 M	H ₂ O	Απορρόφηση στα 470 nm (1 cm)
1	0	5,00	5,00	20,00	70,00	0,549
2	50,00	5,00	0,00	20,00	25,00	0,231

Μπορώ να δουλέψω με ποσότητες (μάζες):

Τα 5 ml δ/τος Fe περιέχουν 0,01375 mg Fe και δίνουν απορρόφηση 0,549

Πόσα mg Fe (X?) δίνουν “ 0,231

Προκύπτουν 0,00578 mg, τα οποία βρίσκονται σε 100 ml τελικού διαλύματος αλλά και στα 50 ml δείγματος (αρχικού). Άρα, στα 1000 ml δείγματος περιέχονται 0,1157 mg. Δηλ. η συγκέντρωση του Fe είναι **0,1157 ppm**.

Μπορώ να δουλέψω με όγκους (δηλ. συγκεντρώσεις):

Τα 0,01375 mg βρίσκονται σε 100 ml δ/τος. Άρα η συγκέντρωση Fe στο δ/μα 1 είναι 0,1375 mg/l.

Τα 0,1375 mg/l Fe δίνουν απορρόφηση 0,549

Πόσα mg/l Fe (X?) δίνουν απορρόφηση 0,231

Άρα $X = 0,057855 \text{ mg/l}$. Η συγκέντρωση αυτή αφορά το διάλυμα δείγματος των 100 ml. Για το δείγμα των 50 ml από το οποίο προήλθε το προηγούμενο διάλυμα, η συγκέντρωση είναι διπλάσια.

Δηλ. **0,1157 ppm** (νόμος αραιώσεων)

Αν είχα περισσότερα πρότυπα διαλύματα

Διάλυμα	Δείγμα	Οξειδωτικό	Fe(II) 2,75 ppm	KSCN 0,05 M	H ₂ O	Απορρόφηση στα 470 nm (1 cm)
1	0	5,00	1,00	20,00	74,00	0,112
2	0	5,00	2,50	20,00	72,50	0,264
3	0	5,00	5,00	20,00	70,00	0,549
4	0	5,00	8,00	20,00	67,00	0,874
5	50,00	5,00	0,00	20,00	25,00	0,231

- Κατασκευή της καμπύλης αναφοράς
- Υπολογισμός της συγκέντρωσης αγνώστου

Συγκεντρώσεις Fe στα πρότυπα διαλύματα των 100 ml: 0,02750 ppm, 0,06875 ppm, 0,13750 ppm, 0,22000 ppm

Εξίσωση ευθείας: $A = 3,9733 C_{Fe} - 0,0007$ $R^2 = 0,9994$

$C_{αγν} = 0,05831 \text{ mg/l}$

Η συγκέντρωση αυτή αφορά το διάλυμα δείγματος των 100 ml. Για το δείγμα των 50 ml από το οποίο προήλθε το προηγούμενο διάλυμα, η συγκέντρωση είναι διπλάσια.

Δηλ. **0,1166 ppm** (νόμος αραιώσεων)

ΠΑΡΑΔΕΙΓΜΑ

Η τρανσφερρίνη είναι μια γλυκοπρωτεΐνη που μεταφέρει το σίδηρο στο αίμα (μεταφέρει δύο ιόντα $Fe(III)$) κι έχει μοριακό βάρος 81000. Η δεσφερριοξαμίνη είναι ένα χηλικό μόριο που χρησιμοποιείται για τη θεραπεία ασθενών με υψηλή συγκέντρωση σιδήρου στο αίμα. Έχει μοριακό βάρος 650 και μπορεί να συνδεθεί με ένα ιόν $Fe(III)$. Οι γραμμομοριακές απορροφητικότητες των ενώσεων αυτών του σιδήρου σε δύο μήκη κύματος δίνονται στον παρακάτω πίνακα:

λ (nm)	Τρανσφερρίνη- Fe_2	ϵ ($M^{-1} cm^{-1}$)	Δεσφερριοξαμίνη- Fe
428	3540	_____	2730
470	4170	_____	2290

Και οι δύο ενώσεις (δηλ. η τρανσφερρίνη και η δεσφερριοξαμίνη) είναι άχρωμες απουσία σιδήρου.

(α) Ένα διάλυμα τρανσφερρίνης-σιδήρου έχει απορρόφηση 0,463 στα 470 nm σε κυψελίδα του 1,00 cm. Να υπολογίσετε τη συγκέντρωση της τρανσφερρίνης σε mg/mL και τη συγκέντρωση του συνδεδεμένου σιδήρου σε $\mu g/mL$.

(β) Μετά την προσθήκη και της δεσφερριοξαμίνης σε ένα διάλυμα Fe , οι απορροφήσεις είναι 0,424 και 0,401, στα 470 nm και 428 nm αντίστοιχα. Να υπολογίσετε το κλάσμα του σιδήρου στην τρανσφερρίνη και το αντίστοιχο στην δεσφερριοξαμίνη.

$$(α) \quad c = \frac{A}{\epsilon b} = \frac{0,463}{4170 \times 1,00} = 1,11 \times 10^{-4} \text{ M}$$

Γνωρίζουμε ότι: 1 mol τρανσφερρίνης-Fe₂ περιέχει 1 mol τρανσφερρίνης και 2 mol Fe

$1,11 \times 10^{-4} \text{ M} \times 81000 = 8,99 \text{ g/L}$ τρανσφερρίνης, δηλ. 8,99 mg τρανσφερρίνης / mL.

Η συγκέντρωση του Fe θα είναι: $2 \times 1,11 \times 10^{-4} \text{ M} = 0,0124 \text{ g/L} = 12,4 \text{ } \mu\text{g/mL}$.

$$(β) \quad A_{\lambda} = \sum \epsilon b C$$

$$0,424 = 4170 C_{\text{Τρανσ-Fe}_2} + 2290 C_{\text{δεσφερ-Fe}} \quad \text{και}$$

$$0,401 = 3540 C_{\text{Τρανσ-Fe}_2} + 2730 C_{\text{δεσφερ-Fe}}$$

Λύνοντας ως προς $C_{\text{Τρανσ-Fe}_2}$ και $C_{\text{δεσφερ-Fe}}$ λαμβάνουμε $C_{\text{Τρανσ-Fe}_2} = 7,30 \times 10^{-5} \text{ M}$
και $C_{\text{δεσφερ-Fe}} = 5,22 \times 10^{-5} \text{ M}$.

Το κλάσμα του σιδήρου στην τρανσφερρίνη (η οποία συνδέεται με δύο ιόντα σιδήρου) είναι:

$$\frac{2 \times C_{\text{Τρανσ-Fe}_2}}{2 \times C_{\text{Τρανσ-Fe}_2} + C_{\text{δεσφερ-Fe}}} = 0,737 \quad \text{ή} \quad 73,7\%$$

ΓΕΝΙΚΟΙ ΣΧΕΔΙΑΣΜΟΙ ΤΩΝ ΟΠΤΙΚΩΝ ΟΡΓΑΝΩΝ

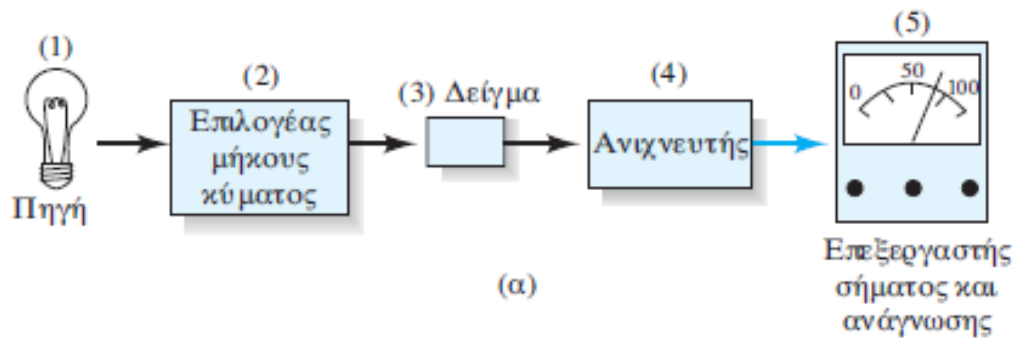
Οι οπτικές φασματοσκοπικές τεχνικές βασίζονται στα ακόλουθα φαινόμενα:

- (1) απορρόφηση
- (2) φθορισμός
- (3) φωσφορισμός
- (4) εκπομπή και
- (5) χημειοφωταύγεια

Παρ' ότι τα όργανα για τη μέτρηση των φαινομένων αυτών διαφέρουν μερικώς ως προς τη διαμόρφωσή τους, τα περισσότερα βασικά τμήματά τους είναι όμοια σε σημαντικό βαθμό.

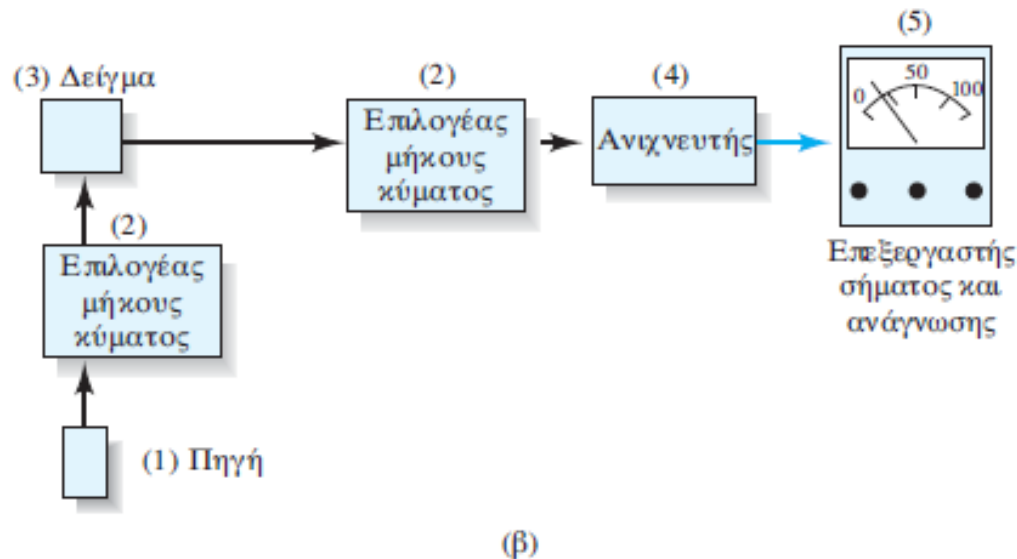
Τα τυπικά όργανα φασματοσκοπίας αποτελούνται από τα ακόλουθα πέντε τμήματα:

- (1) πηγή ακτινοβολίας,
- (2) οπτικώς διαφανές δοχείο (όχι πάντα) το οποίο περιέχει το δείγμα,
- (3) μονάδα η οποία απομονώνει μια περιορισμένη περιοχή του προς μέτρηση φάσματος,
- (4) ανιχνευτή ακτινοβολίας, ο οποίος μετατρέπει την ακτινοβολούμενη ενέργεια σε εύχρηστο αναλυτικό σήμα (συνήθως ηλεκτρικό) και
- (5) μια μονάδα επεξεργασίας και ανάγνωσης του σήματος, όπου παρουσιάζεται το μεταλλαγμένο σήμα σε αναλογική κλίμακα, ή σε οθόνη παλμογράφου, ή σε ψηφιακό όργανο ή σε χαρτί καταγραφέα.

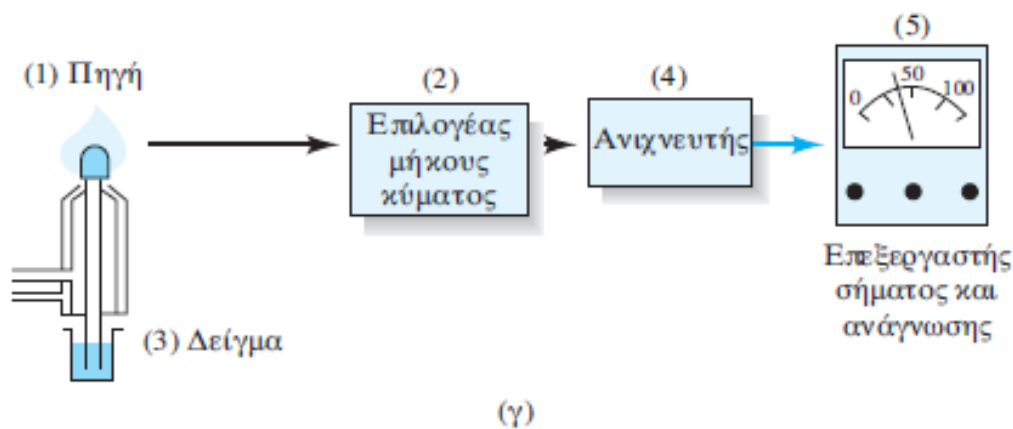


Τμήματα διάφορων τύπων οργάνων οπτικής φασματοσκοπίας για μέτρηση:

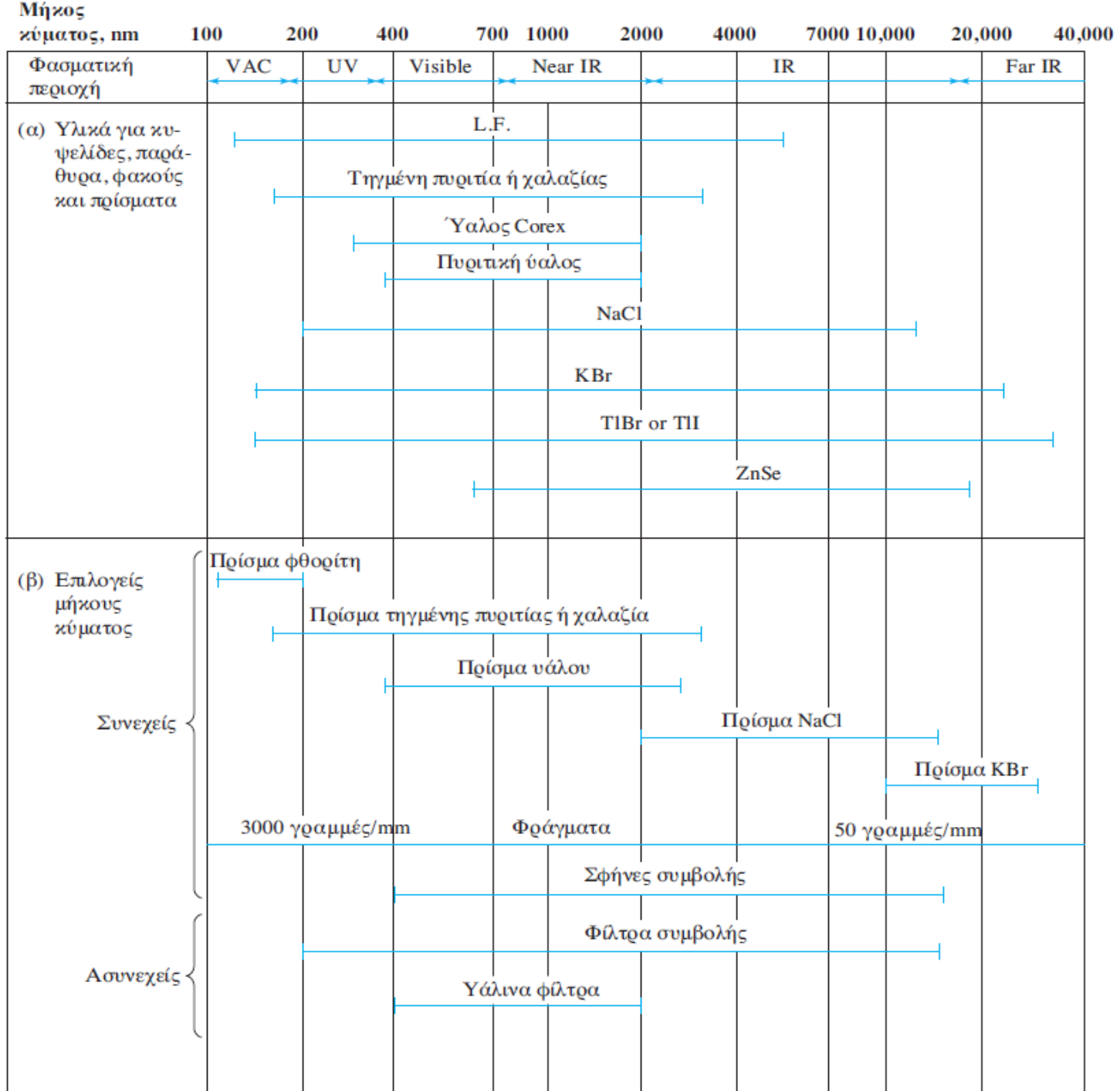
(α) απορρόφησης



(β) φθορισμού, φωσφορισμού ή σκέδασης



(γ) εκπομπής και χημειοφωταύγειας



(α) Υλικά κατασκευής οπτικών τμημάτων οργάνων

(β) Υλικά επιλογέων μήκους κύματος φασματοσκοπικών οργάνων

Μήκος κύματος, nm	100	200	400	700	1000	2000	4000	7000	10,000	20,000	40,000	
Φασματική περιοχή	Κενό		UV	Ορατό	Εγγύς IR		IR		Άπω IR			
(α) Πηγές ακτινοβολίας	Συνεχείς	Λυχνία Ar	Λυχνία Xe		Λυχνία H ₂ ή D ₂		Λυχνία βολφραμίου		Πυρακτωτής Nernst (ZrO ₂ + Y ₂ O ₃)			
		Σύμμα Nichrome (Ni + Cr)		Πυρακτωμένη ράβδος (Globar) (SiC)								
		Λυχνίες κοίλης μεθόδου		Λείζερ								
	Γραμμικές											
(β) Ανιχνευτές φασματοφωτομέτρων	Ανιχνευτές φωτονίων	Φωτογραφικά φιλμ		Φωτοπολλαπλασιαστές		Φωτολυχνίες		Φωτοστοιχεία		Δίοδοι πυριτίου		
		Ανιχνευτές μεταφοράς φορτίου		Φωτοαγώγιμα στοιχεία		Θερμοζεύγος (τάση) ή βολόμετρο (αντίσταση)		Πνευματική κυψελίδα Golay		Πυροηλεκτρικά στοιχεία (χωρητικότητα)		
	Θερμικοί ανιχνευτές											

(α) Πηγές ακτινοβολίας

(β) Ανιχνευτές φασματοφωτομέτρων

ΠΗΓΕΣ ΑΚΤΙΝΟΒΟΛΙΑΣ

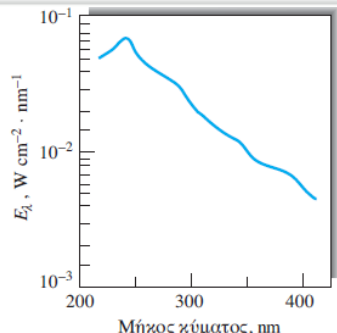
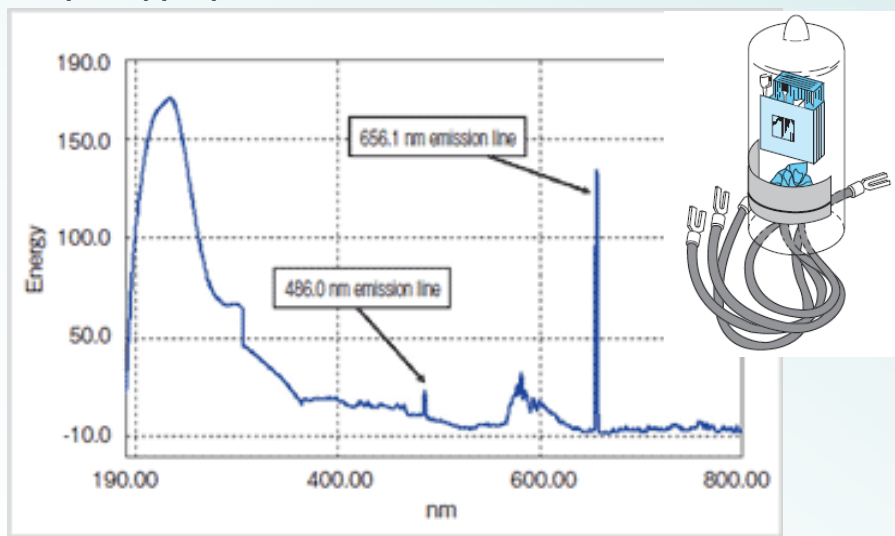
Χαρακτηριστικά: αρκετή ισχύ για ανίχνευση και μέτρηση, σταθερή με το χρόνο.

Συνεχείς πηγές

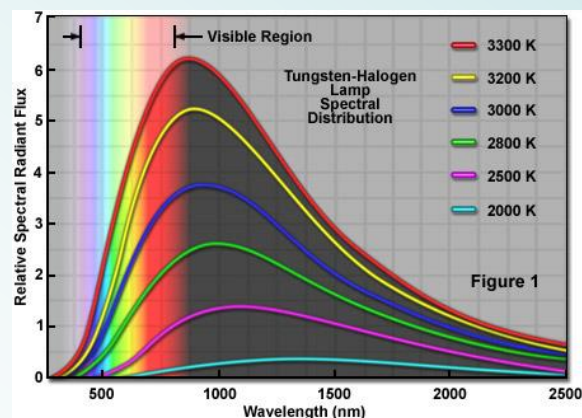
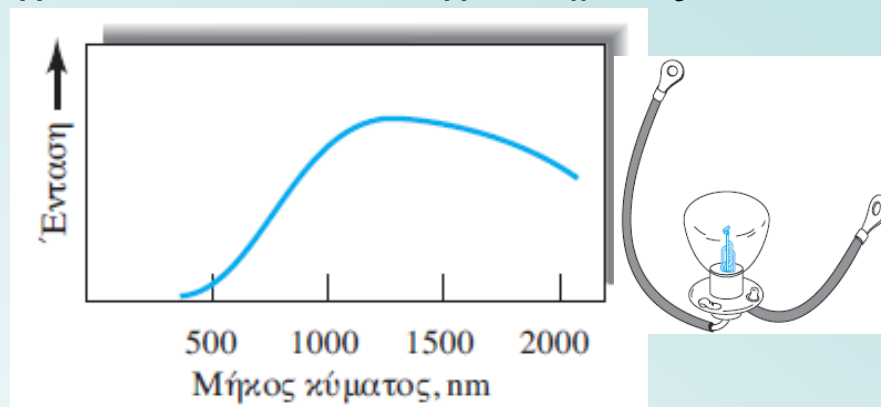
Οι συνεχείς πηγές χρησιμοποιούνται στη φασματοσκοπία απορρόφησης και στη φασματοσκοπία φθορισμού.

Υπεριώδη περιοχή: λυχνία δευτερίου (D2). Ηλεκτρική εκκένωση (ένας σπινθήρας) διασπά το D2 που εκπέμπει υπεριώδη ακτινοβολία. Για ισχυρές εντάσεις, χρησιμοποιούνται λυχνίες τόξου που περιέχουν κάποιο αέριο, όπως αργό, ξένο ή ατμούς υδραργύρου σε υψηλή πίεση.

Ορατή περιοχή του φάσματος: χρησιμοποιείται σχεδόν αποκλειστικά λυχνία νήματος βολφραμίου.



Φάσμα λυχνίας δευτερίου



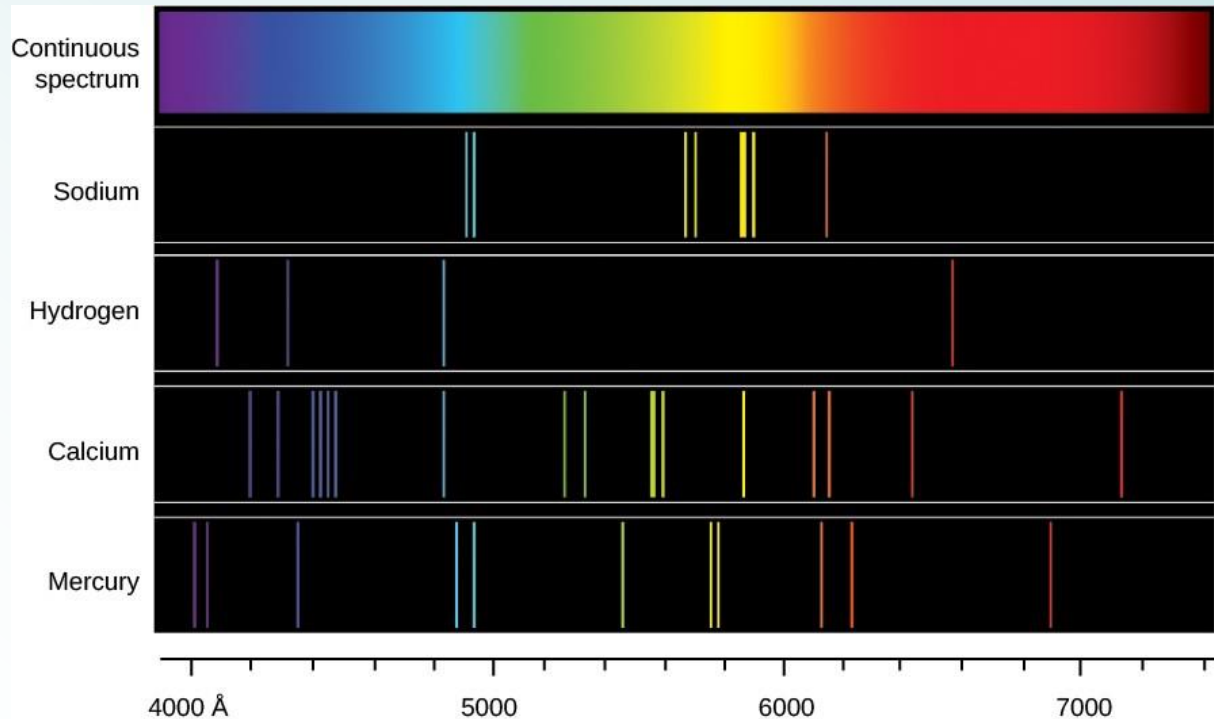
Φάσμα λυχνίας βολφραμίου (πυράκτωσης)

Πηγές γραμμών

Πηγές οι οποίες εκπέμπουν διακριτές γραμμές χρησιμοποιούνται ευρύτατα στη φασματοσκοπία ατομικής απορρόφησης, στη φασματοσκοπία ατομικής και μοριακής φθορισμομετρίας.

Οι λυχνίες ατμών υδραργύρου και νατρίου παρέχουν ένα μικρό αριθμό στενών γραμμών στην υπεριώδη και ορατή περιοχή και χρησιμοποιούνται σε διάφορα φασματοφωτόμετρα.

Οι λυχνίες κοίλης καθόδου και οι λυχνίες εκκενώσεων χωρίς ηλεκτρόδια είναι οι περισσότερο χρησιμοποιούμενες πηγές γραμμών στην τεχνική της ατομικής απορρόφησης και στη φθορισμομετρία.

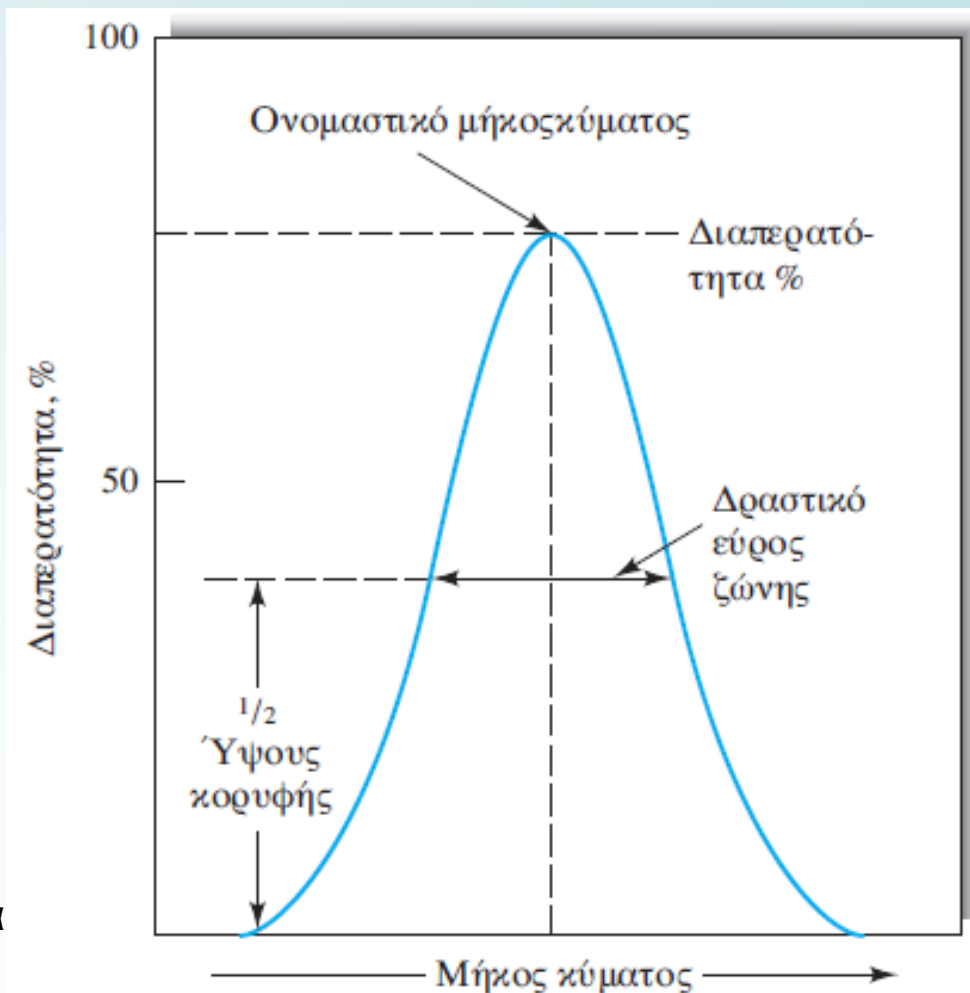


ΕΠΙΛΟΓΕΙΣ ΜΗΚΟΥΣ ΚΥΜΑΤΟΣ

Ιδανικό θα ήταν να διαθέταμε έναν επιλογέα μήκους κύματος που θα εξασφάλιζε ακτινοβολία ενός και μόνο μήκους κύματος ή συχνότητας. *Αυτό δεν μπορεί να πραγματοποιηθεί με κανένα επιλογέα μήκους κύματος.* Λαμβάνεται ταινία.

Ακτινοβολία η οποία αποτελείται από μια περιορισμένη, στενή και συνεχή ομάδα μηκών κύματος που καλείται *ταινία ή ζώνη* (band).

Η στενή ταινία βελτιώνει την ευαισθησία της μέτρησης απορρόφησης, εξασφαλίζει εκλεκτικότητα και αποτελεί αναγκαία συνθήκη για να υπάρχει γραμμικότητα μεταξύ του οπτικού αναλυτικού σήματος και της συγκέντρωσης.



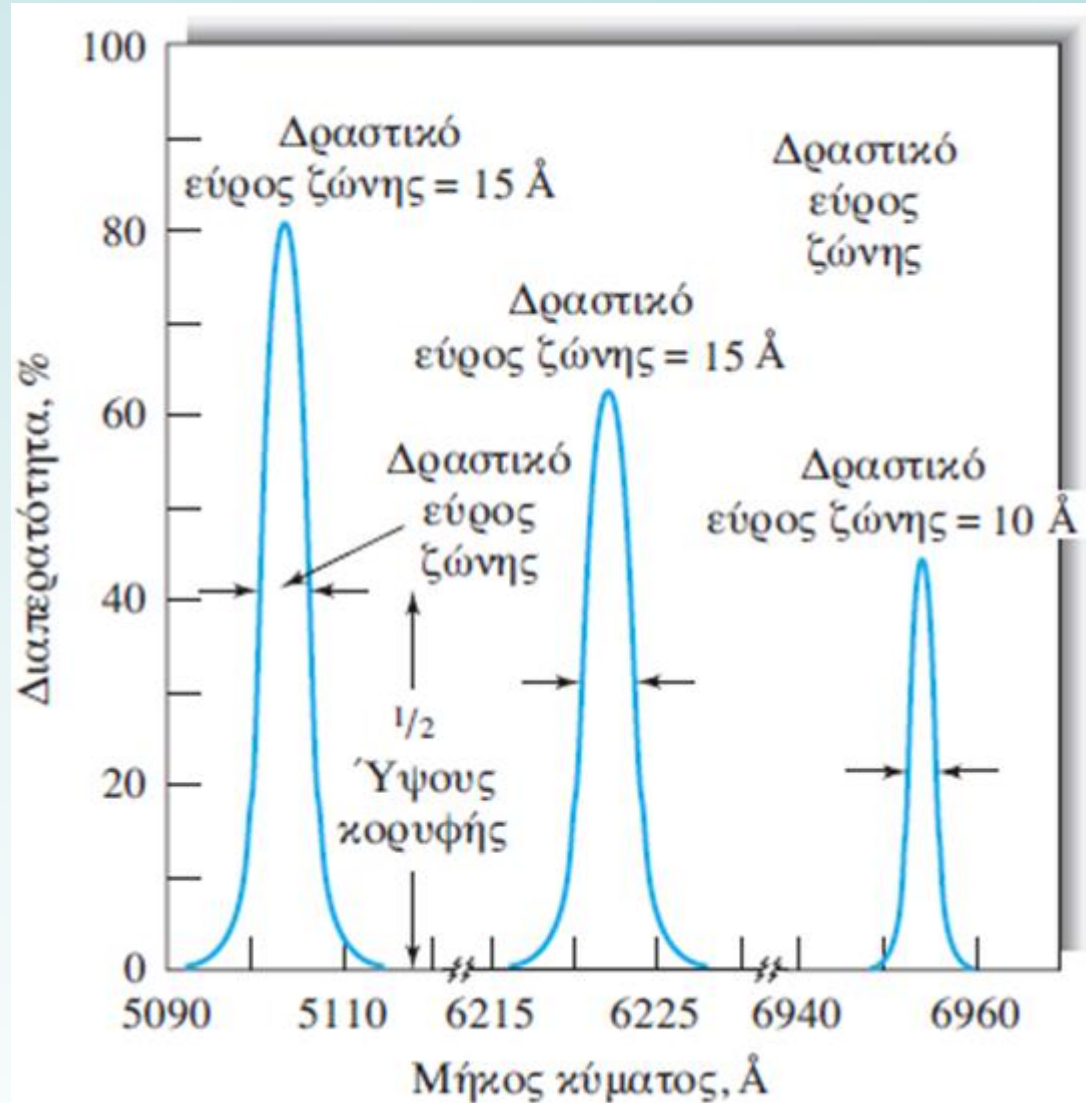
Δραστικό (ή αποτελεσματικό) εύρος ζώνης (effective bandwidth): αντιστρόφως ανάλογο της ποιότητας του επιλογέα. Βασικοί τύποι επιλογέων μήκους κύματος είναι τα *φίλτρα* και οι *μονοχρωμάτορες*.

ΦΙΛΤΡΑ

Ποιοτικά χαρακτηριστικά φίλτρων

- (1) μήκος κύματος των διερχόμενων κορυφών ακτινοβολίας
- (2) % ποσοστό της διερχόμενης ακτινοβολίας ως προς την εισερχόμενη (δηλ. η διαπερατότητα) και
- (3) δραστικό εύρος ζώνης

- φίλτρα συμβολής
- φίλτρα απορρόφησης
- φίλτρα αποκοπής



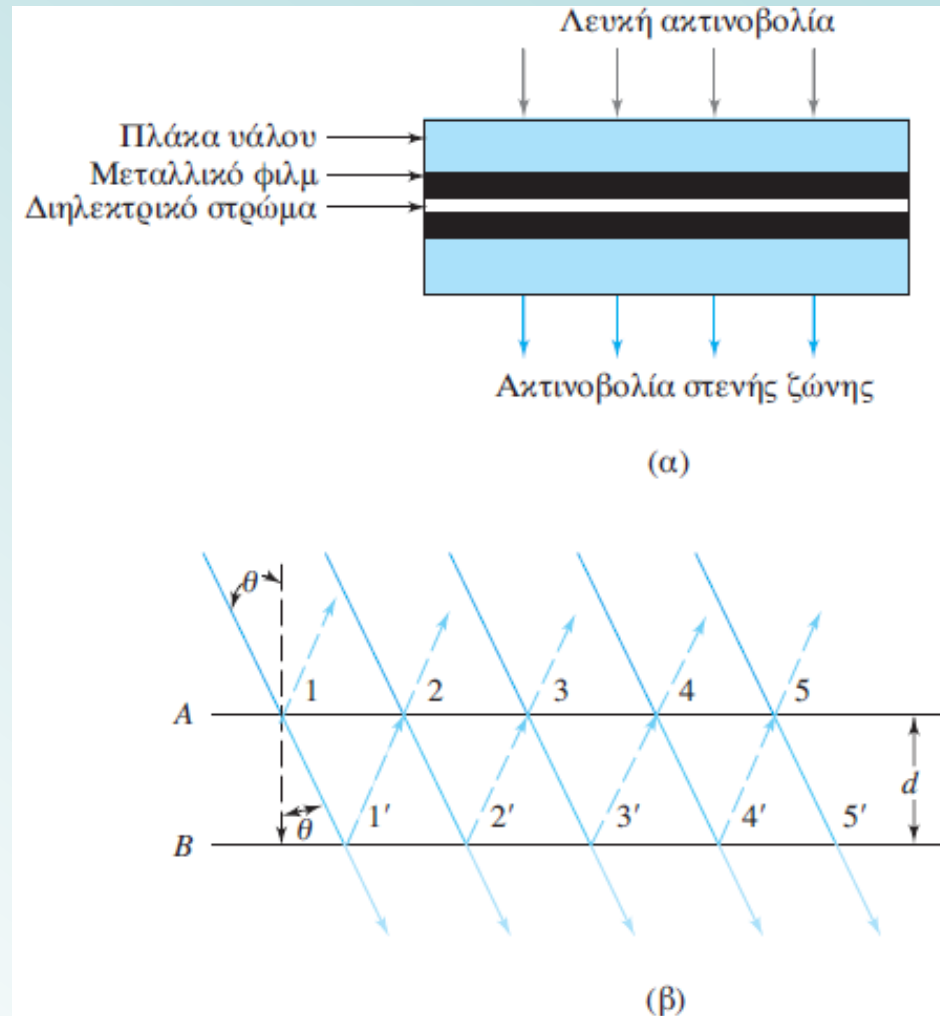
Φίλτρο συμβολής

➤ Πού βασίζεται: Βασίζεται στα φαινόμενα της συμβολής και ανάκλασης του φωτός. Επιτρέπει τη διέλευση στενών ταινιών ακτινοβολίας.

➤ Από τι αποτελείται: Από ένα διαφανές διηλεκτρικό (CaF_2 ή MgF_2) μεταξύ δύο ημιπερατών μεταλλικών φίλμ κι ανάμεσα σε δύο υάλινες πλάκες ή άλλο διαφανές υλικό.

➤ Το πάχος του διηλεκτρικού στρώματος καθορίζει το λ της διερχόμενης ακτινοβολίας.

Πώς λειτουργεί: Η δέσμη προσπίπτει στο φίλτρο, ένα κλάσμα της διαπερνά το πρώτο μεταλλικό στρώμα, ενώ το υπόλοιπο ανακλάται. Το εισερχόμενο κλάσμα υφίσταται παρόμοιο καταμερισμό στο δεύτερο μεταλλικό στρώμα. Εάν το ανακλώμενο κλάσμα από τη δεύτερη αλληλεπίδραση έχει το κατάλληλο μήκος κύματος, ανακλάται μερικώς από την εσωτερική πλευρά του πρώτου στρώματος σε φάση με το εισερχόμενο φως του ίδιου μήκους κύματος.



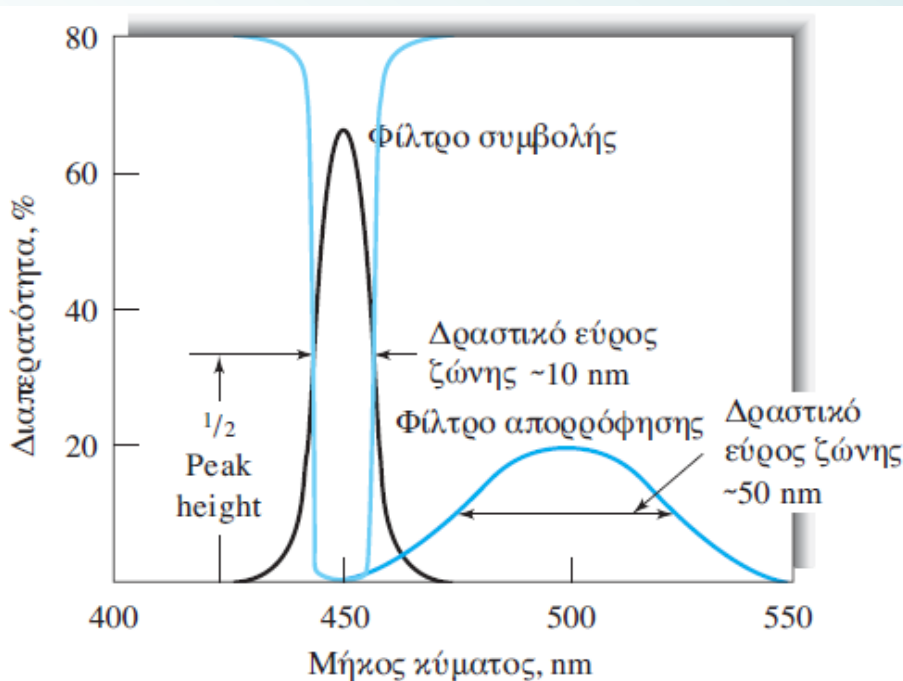
(α) Τομή φίλτρου συμβολής. Το σχήμα δεν είναι σε πραγματική κλίμακα και οι τρεις κεντρικές ζώνες είναι πολύ στενότερες απ' όσο δείχνονται. (β) Σχηματική παράσταση που δείχνει την ενισχυτική συμβολή.

Τα **φίλτρα απορρόφησης** (absorption filters) είναι πολύ φθηνότερα από τα φίλτρα συμβολής. Χρησιμοποιούνται ως επιλογείς ταινιών ακτινοβολίας στην ορατή περιοχή. Η λειτουργία τους βασίζεται στην απορρόφηση συγκεκριμένων περιοχών του φάσματος.

Αποτελούνται από έγχρωμη ύαλο ή οργανική έγχρωμη ουσία διεσπαρμένη σε φιλμ ζελατίνης, το οποίο τοποθετείται ανάμεσα σε δύο υάλινες πλάκες.

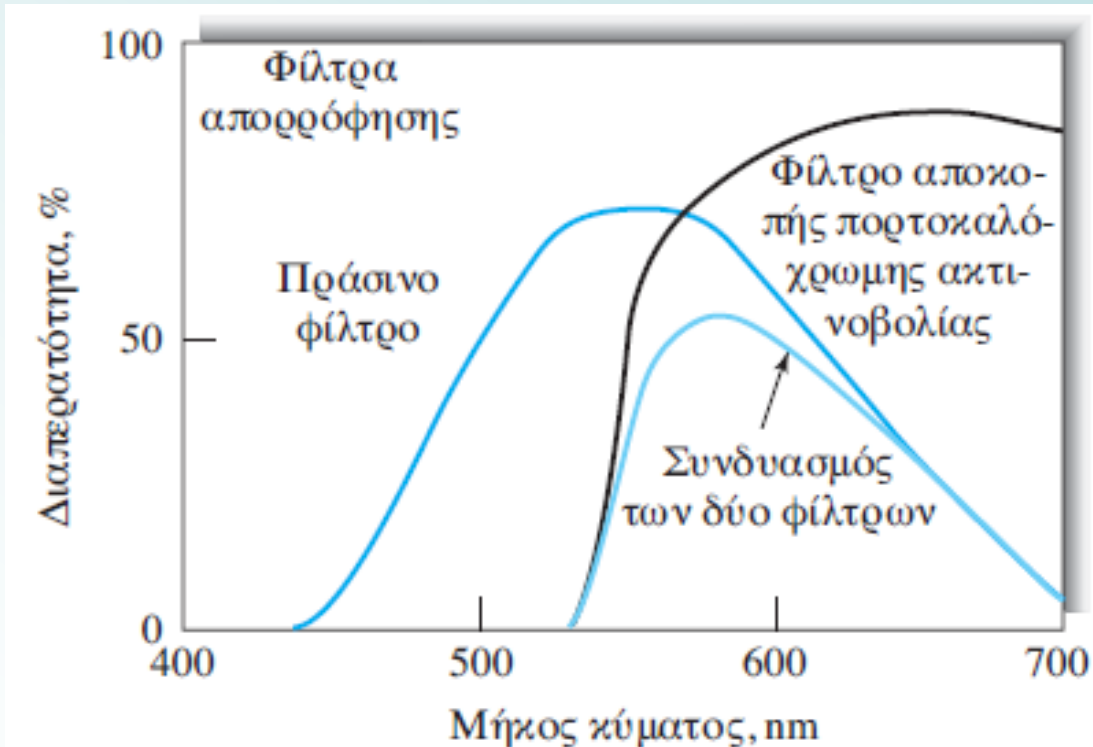
Τα φίλτρα απορρόφησης έχουν δραστικά εύρη ταινιών, τα οποία ποικίλλουν από 30 έως 250 nm. Φίλτρα με στενότερα εύρη ταινιών απορροφούν ένα σημαντικό κλάσμα της επιθυμητής ακτινοβολίας και έχουν διαπερατότητα μόλις 10% στο μήκος κύματος κορυφής.

Τα χαρακτηριστικά ποιότητας απόδοσης των φίλτρων απορρόφησης είναι κατώτερα από τα χαρακτηριστικά των φίλτρων συμβολής. (Το εύρος των ταινιών τους είναι μεγαλύτερο. Ακόμη και για μικρά εύρη ταινιών το κλάσμα της διερχόμενης ακτινοβολίας είναι μικρότερο).



Δραστικό εύρος ταινίας για
δύο τύπους φίλτρων.

Τα **φίλτρα αποκοπής περιοχής** (cut-off filters) έχουν μεγάλη διαπερατότητα (σχεδόν 100%) σε ένα τμήμα του ορατού φάσματος και αποκόπτουν το υπόλοιπο. Συνδυάζοντας κατάλληλα φίλτρα αποκοπής περιοχής και απορρόφησης μπορεί να απομονωθεί μια στενή φασματική ταινία.



Σύγκριση διάφορων τύπων φίλτρων ορατής ακτινοβολίας

Μονοχρωμάτορες

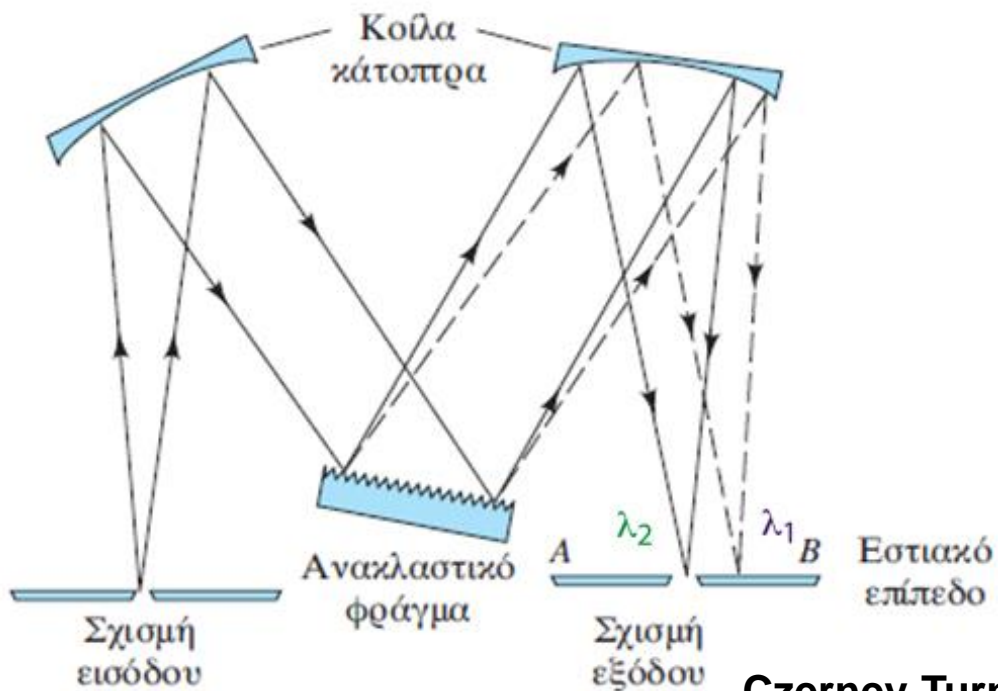
➤ *Σάρωση-scanning*: Σε πολλές φασματοσκοπικές τεχνικές είναι αναγκαία (ή επιθυμητή) η συνεχής μεταβολή του μήκους κύματος σε μια σημαντική περιοχή του φάσματος.

Οι μονοχρωμάτορες έχουν σχεδιασθεί ώστε να επιτελούν αυτή τη φασματική *σάρωση*.

➤ Όσον αφορά στη μηχανική τους κατασκευή αποτελούνται από:

σχισμές, φακούς, κάτοπτρα, παράθυρα, φράγματα ή πρίσματα. Οι μονοχρωμάτορες είναι ίδιοι κατά βάση, για όλο το φάσμα στην υπεριώδη, την ορατή και την υπέρυθη περιοχή.

Τα υλικά από τα οποία κατασκευάζονται τα παραπάνω τμήματα εξαρτώνται από την περιοχή μήκους κύματος για την οποία προορίζονται να χρησιμοποιηθούν.



Czerney-Turner

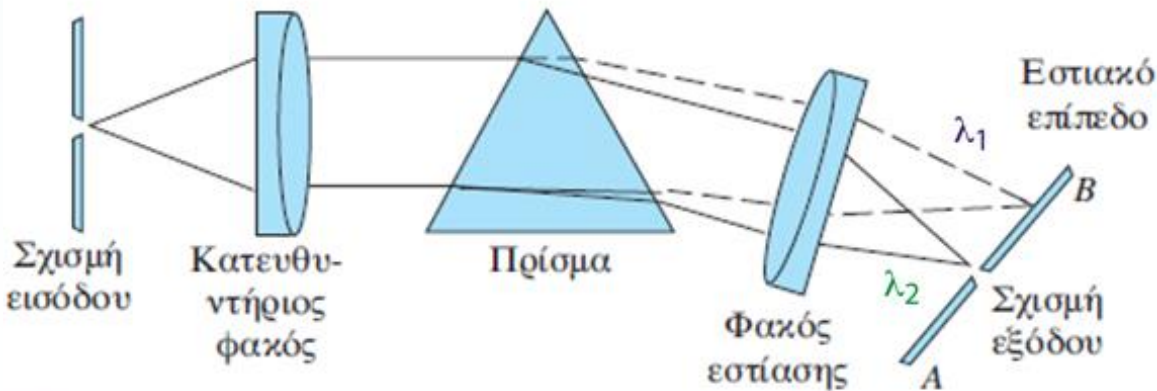
(α)

Εξαρτήματα των μονοχρωματόρων

(1) σχισμή εισόδου η οποία εξασφαλίζει ένα ορθογώνιο οπτικό είδωλο, (2) κάτοπτρο ή κατευθυντήριος φακός που καθιστούν παράλληλη τη δέσμη ακτινοβολίας, (3) φράγμα ή πρίσμα, το οποίο αναλύει την ακτινοβολία στα συνιστώμενα μήκη κύματος, (4) στοιχείο εστίασης, το οποίο ανασχηματίζει το είδωλο της σχισμής εισόδου και το εστιάζει σε μια επίπεδη επιφάνεια, που ονομάζεται *εστιακό επίπεδο* και (5) σχισμή εξόδου στο εστιακό επίπεδο, η οποία απομονώνει την επιθυμητή φασματική ταινία.

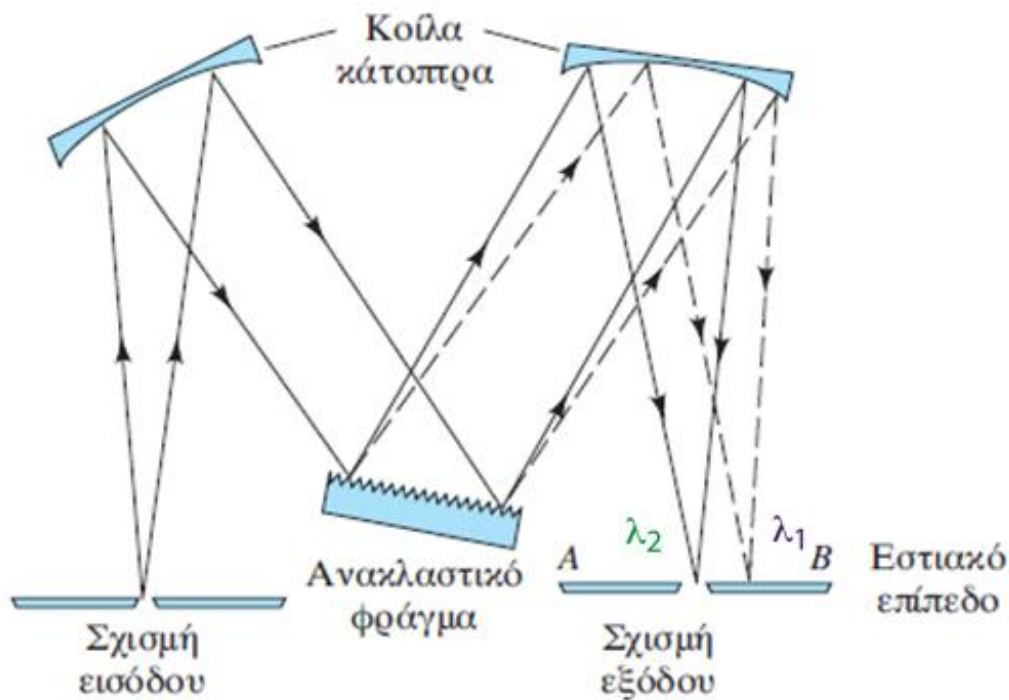
Επιπλέον,

“παράθυρα” εισόδου και εξόδου, τα οποία προφυλάσσουν τα στοιχεία από σκόνη και διαβρωτικούς ατμούς.

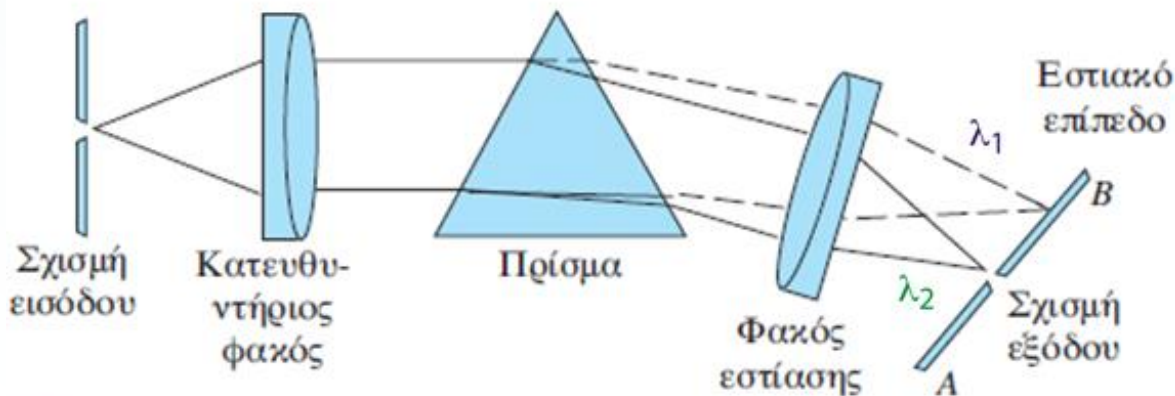


πρίσμα Bunsen

(β)



Czerny-Turner



πρίσμα Bunsen

Δύο τύποι στοιχείων που αναλύουν φως: τα **ανακλαστικά φράγματα** και τα **πρίσματα**.

Η ακτινοβολία εισέρχεται στο μονοχρωμάτορα μέσω μιας στενής **σχισμής** (slit) ορθογωνίου σχήματος, κατευθύνεται και στη συνέχεια προσπίπτει υπό γωνία στην επιφάνεια του **στοιχείου διασποράς**.

μονοχρωμάτορας φράγματος: Διαχωρισμός στα μήκη κύματος της ακτινοβολίας λόγω περίθλασης, η οποία πραγματοποιείται στην ανακλαστική επιφάνειά του. **Όταν κοντινές ακτίνες είναι σε φάση, ενισχύονται. Διαφορετικά, εξουδετερώνονται μερικώς ή ολικώς.**

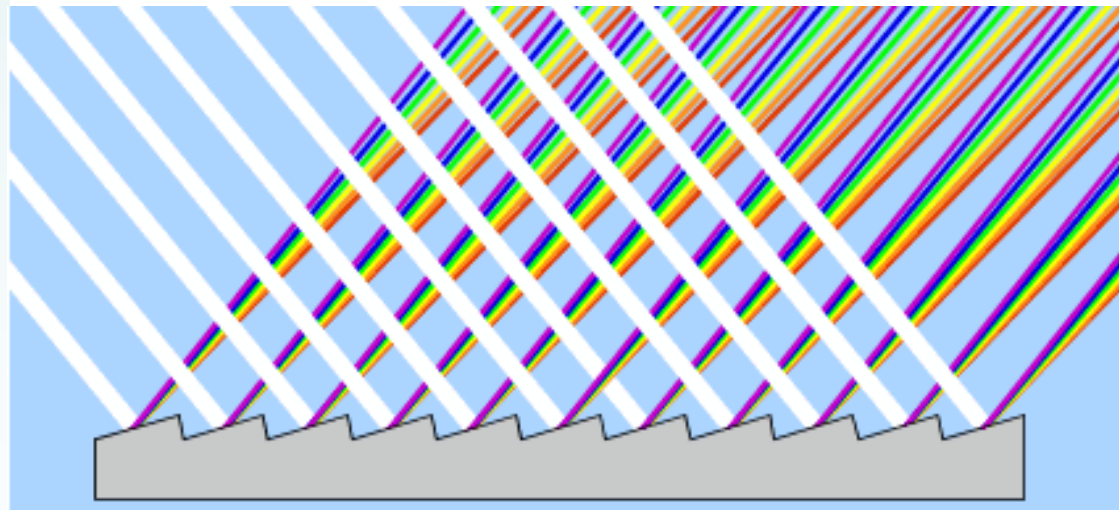
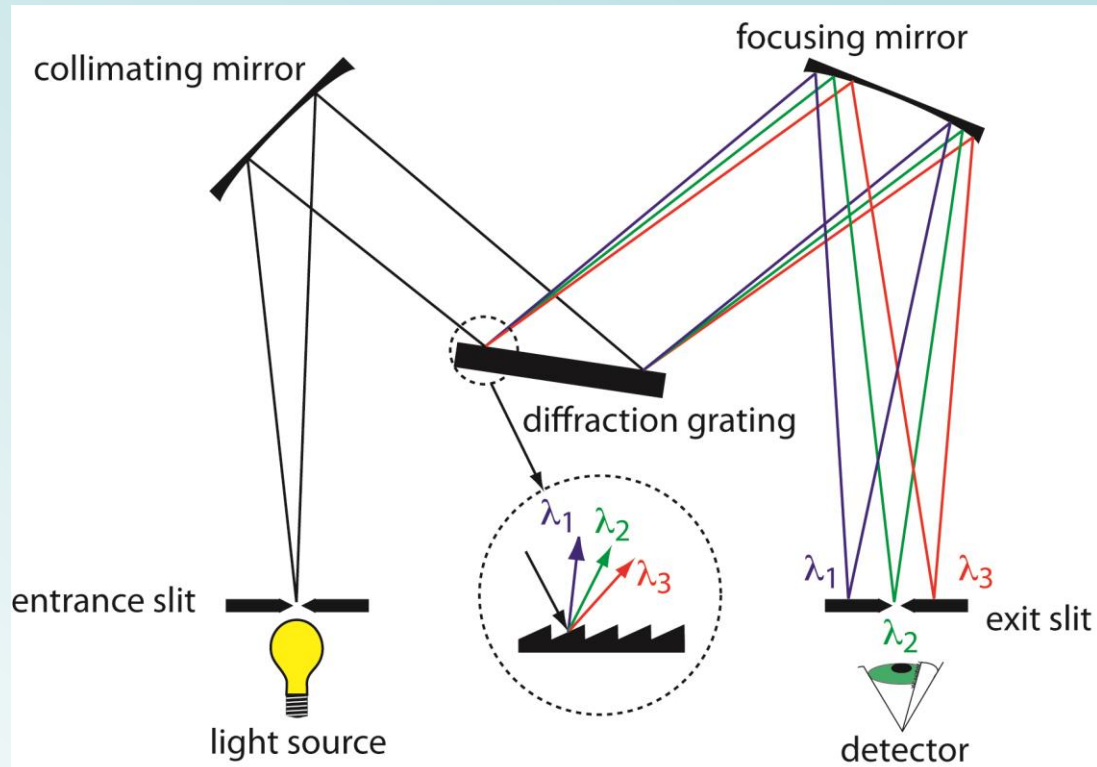
Γωνιακή διασπορά: ο λόγος της μεταβολής της γωνίας ανάκλασης ή διάθλασης προς τη μεταβολή του μήκους κύματος.

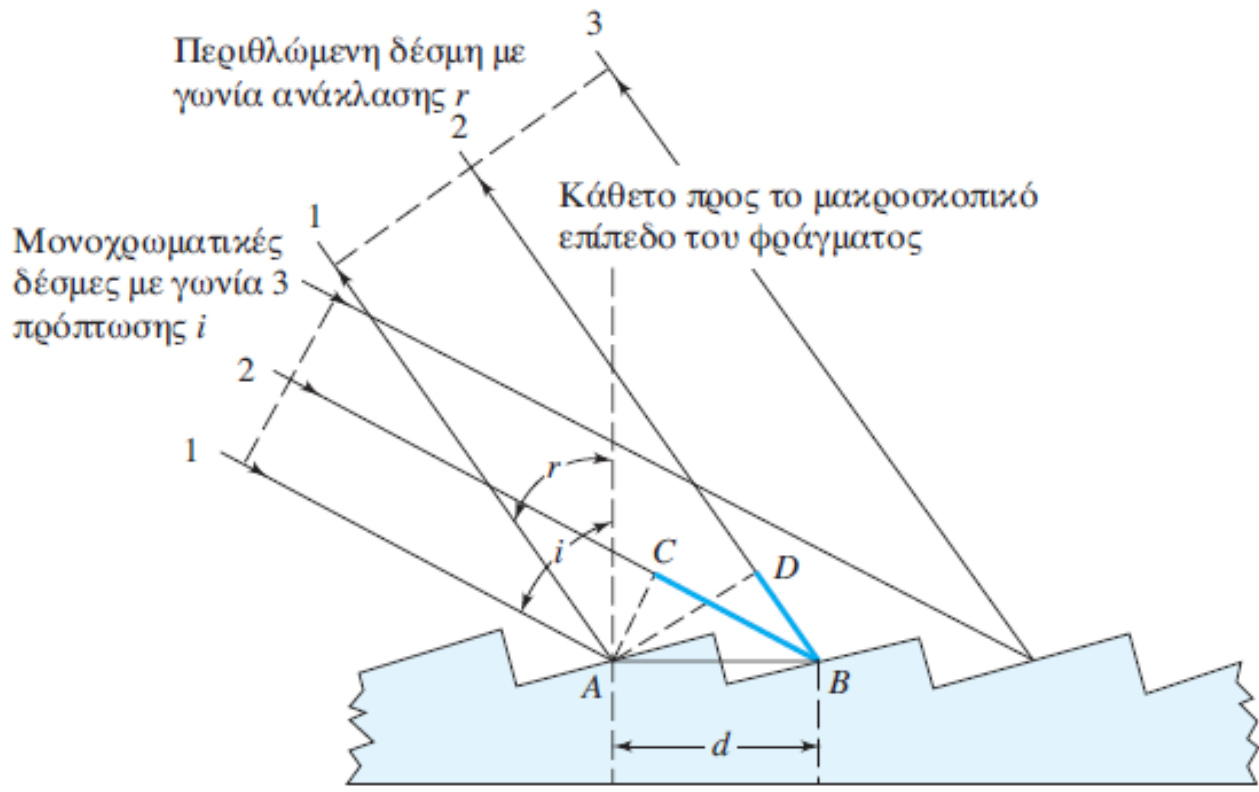
Μονοχρωμάτορες φράγματος

Διασπορά της υπεριώδους, ορατής και υπέρυθρης ακτινοβολίας μπορεί να επιτευχθεί με πρόσπτωση πολυχρωματικής δέσμης πάνω στην επιφάνεια ενός **ανακλαστικού φράγματος**, το οποίο αποτελεί και τη συνηθέστερη περίπτωση.

Ένα φράγμα για χρήση στην υπεριώδη και ορατή περιοχή έχει 300 έως 2000 χαραγές/mm, με επικρατέστερες τιμές 1200 έως 1400.

Η κατασκευή ενός καλού φράγματος είναι επίπονη, χρονοβόρα και δαπανηρή διαδικασία, επειδή οι χαραγές πρέπει να είναι όμοιες σε μέγεθος, απόλυτα παράλληλες και ισοαπέχουσες σε όλο το μήκος του φράγματος (3 έως 10 cm). Η επιφάνεια αυτή καθίσταται ανακλαστική και επιμεταλλώνεται με αργίλλιο και μερικές φορές με χρυσό ή λευκόχρυσο.





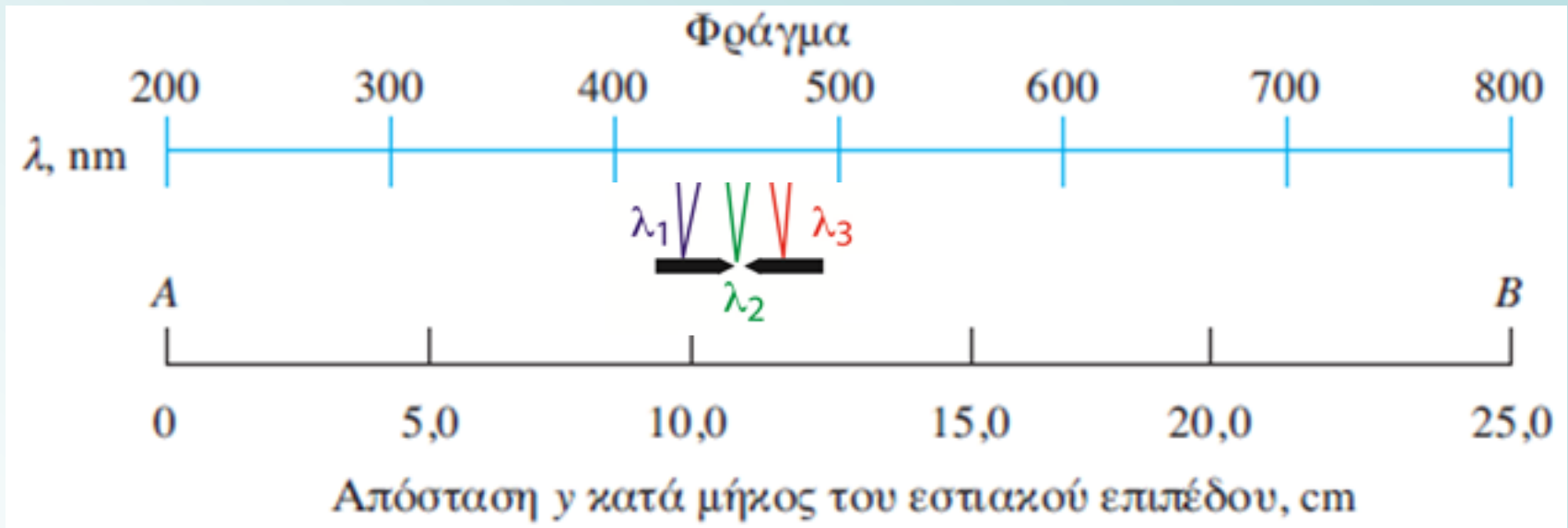
Το φως περιθλάται σύμφωνα με τη σχέση

$$n \lambda = d (\sin i - \sin r)$$

i γωνία πρόσπτωσης,
 r γωνία ανάκλασης,
 d απόσταση μεταξύ χαραγών,
 λ μήκος κύματος,
 n τάξη περίθλασης

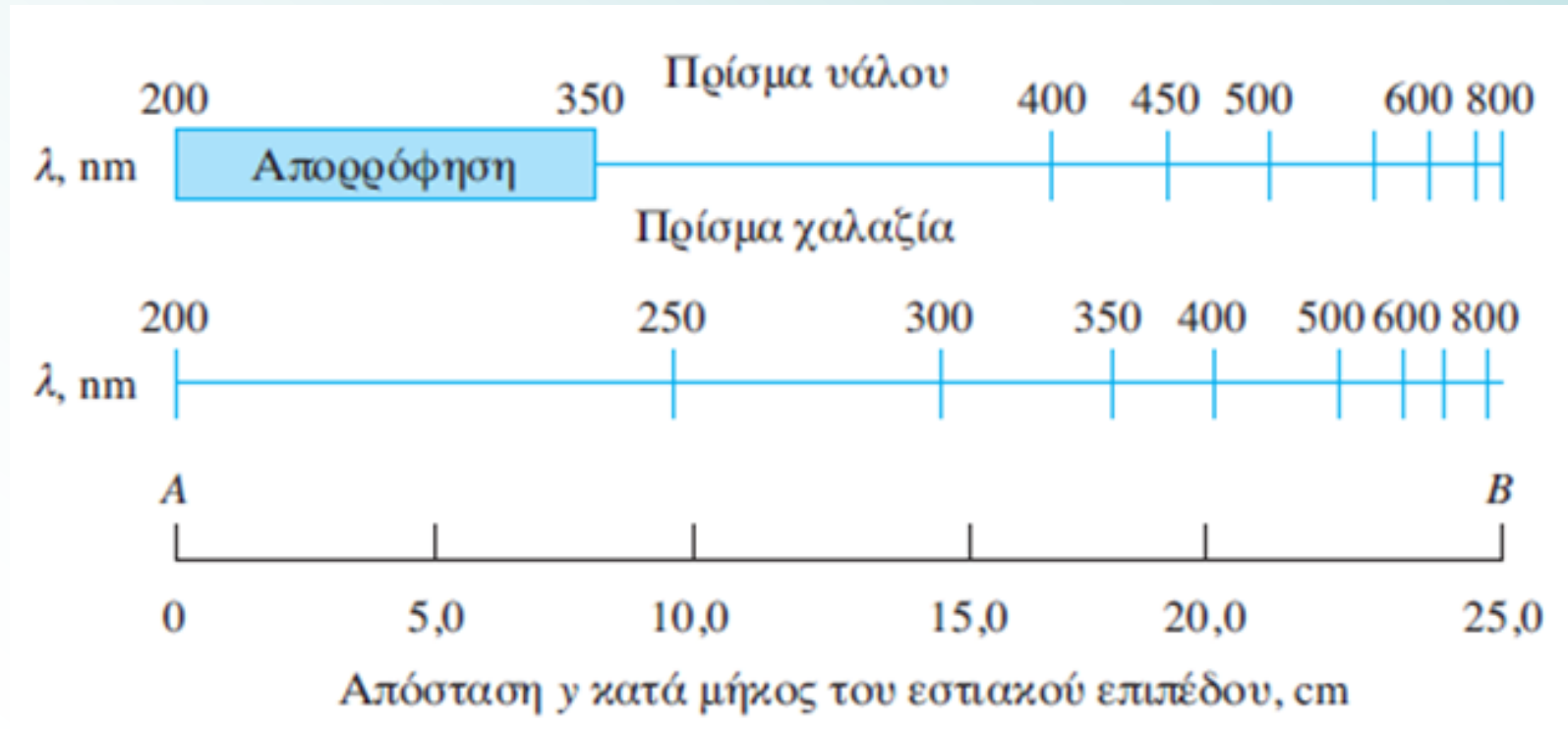
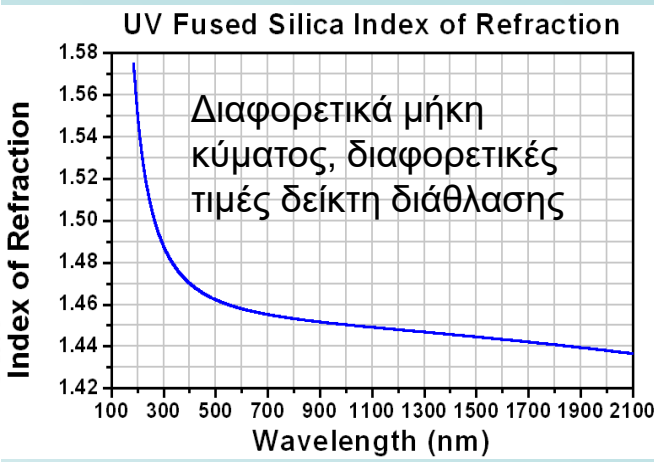
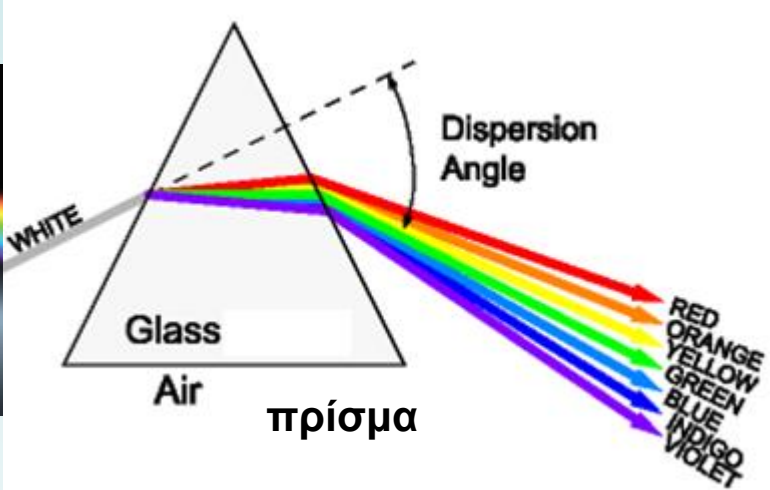
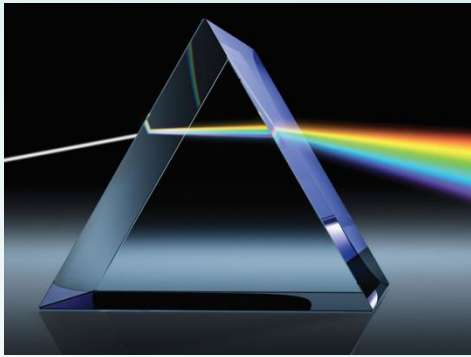
Μηχανισμοί περίθλασης σε **φράγμα τύπου echellette** (από την λέξη echelon: κλιμακωτός σχηματισμός).

- Η ευρεία πλευρά κάθε χαραγής δρα ως ανακλαστική επιφάνεια. Οι στενές πλευρές δεν χρησιμοποιούνται.
- Παράλληλες δέσμες 1, 2, 3, μονοχρωματικής ακτινοβολίας, προσπίπτουν με γωνία i ως προς την κάθετο στη μακροσκοπική επιφάνεια του φράγματος.
- Κάθε ανακλαστική πλευρά των χαραγών μπορεί να θεωρηθεί ως σημειακή πηγή ακτινοβολίας



Γραμμική διασπορά: η μεταβολή του μήκους κύματος ως συνάρτηση της απόστασης y κατά μήκος του εστιακού επιπέδου AB .

Σήμερα, **όλοι σχεδόν οι μονοχρωμάτορες λειτουργούν με ανακλαστικά φράγματα**. Είναι φθηνότερα, παρέχουν καλύτερο διαχωρισμό των μηκών κύματος για το ίδιο μέγεθος του στοιχείου διασποράς και παρέχουν **γραμμική διασπορά** κατά μήκος του εστιακού επιπέδου.



Στους μονοχρωμάτορες πρίσματος, τα μικρά μήκη κύματος διασπείρονται σε μεγαλύτερο βαθμό απ' όσο τα μεγαλύτερα (αυτό περιπλέκει κάπως το σχεδιασμό του οργάνου).

Χαρακτηριστικά ποιότητας των μονοχρωματόρων φραγμάτων

Η ποιότητα ενός μονοχρωμάτορα εξαρτάται από :

- την καθαρότητα της ακτινοβολίας που φθάνει στη σχισμή εξόδου
- την ικανότητά του να διακρίνει παρακείμενα μήκη κύματος
- τη συγκέντρωση της ισχύος της ακτινοβολίας
- το εύρος της φασματικής ταινίας

1. Φασματική καθαρότητα. Συνήθως η δέσμη εξόδου ενός μονοχρωμάτορα “μολύνεται” με μικρά ποσοστά από **παράσιτη ακτινοβολία** (stray radiation) μηκών κύματος διαφορετικών από τα επιλεγέντα.

Η ανεπιθύμητη αυτή ακτινοβολία προέρχεται από **ανάκλαση** της δέσμης πάνω σε διάφορα οπτικά τμήματα και τα εσωτερικά τοιχώματα του μονοχρωμάτορα.

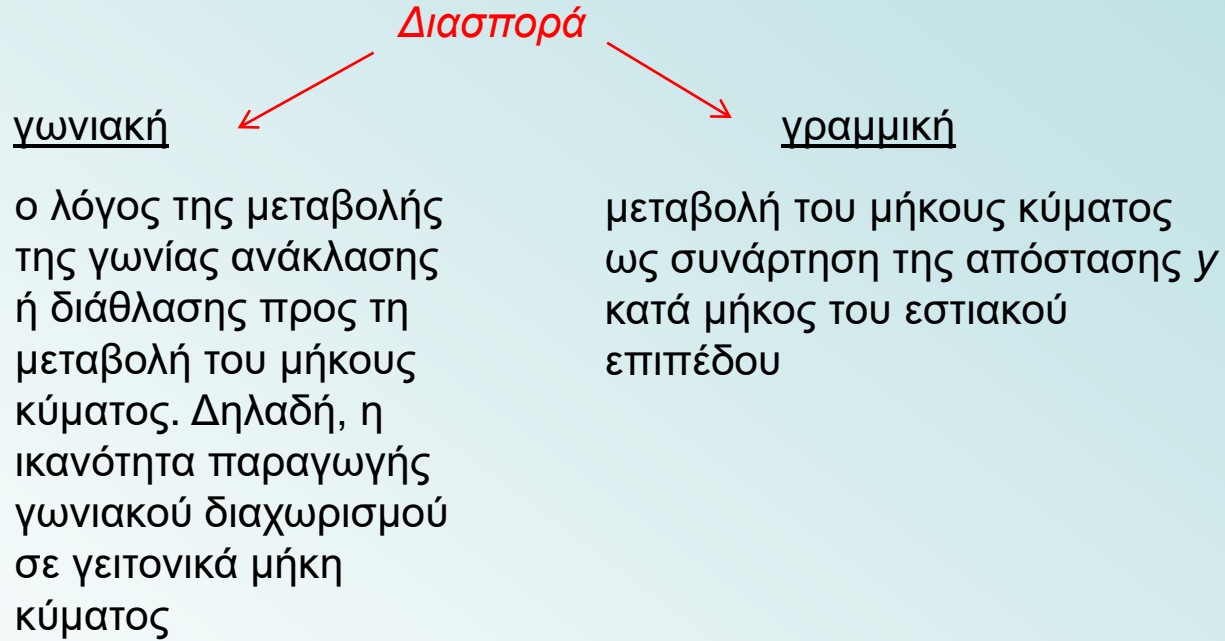
Ακτινοβολία **σκέδασης** είναι δυνατόν να προκληθεί από σωματίδια σκόνης στην ατμόσφαιρα ή επάνω στις επιφάνειες των οπτικών στοιχείων ενός μονοχρωμάτορα και να οδηγήσει σε εμφάνιση παράσιτης ακτινοβολίας στην έξοδο.

Γενικότερα, οι μη επιλεγείσες ακτινοβολίες μπορούν να ελαχιστοποιηθούν στην έξοδο του μονοχρωμάτορα με εισαγωγή διατάξεων παρεμπόδισής τους σε διάφορες θέσεις του μονοχρωμάτορα και με κάλυψη των εσωτερικών τοιχωμάτων του με μαύρο χρώμα.

Επιπλέον, ο μονοχρωμάτορας σφραγίζεται στην περιοχή των σχισμών με παράθυρα, τα οποία προλαμβάνουν την είσοδο σκόνης ή ατμών.

Παρά τις προφυλάξεις αυτές, **κάποιο ποσοστό παράσιτης ακτινοβολίας εξακολουθεί να εμφανίζεται στη σχισμή εξόδου**. Η παρουσία αυτής της παράσιτης ακτινοβολίας έχει μερικές φορές σοβαρές επιπτώσεις στην ακρίβεια των μετρήσεων της απορρόφησης ενός δείγματος.

2. Διασπορά στους μονοχρωμάτορες φράγματος. Η ικανότητα ενός μονοχρωμάτορα να διαχωρίσει διάφορα μήκη κύματος εξαρτάται από τη **διασπορά** του.



3. Διακριτική ισχύς ενός μονοχρωμάτορα. Η **διακριτική ισχύς** (resolving power) R ενός μονοχρωμάτορα αναφέρεται στο όριο της ικανότητάς του να διαχωρίζει παρακείμενα είδωλα που έχουν πολύ μικρή διαφορά μήκους κύματος. Το μέγεθος αυτό ορίζεται ως

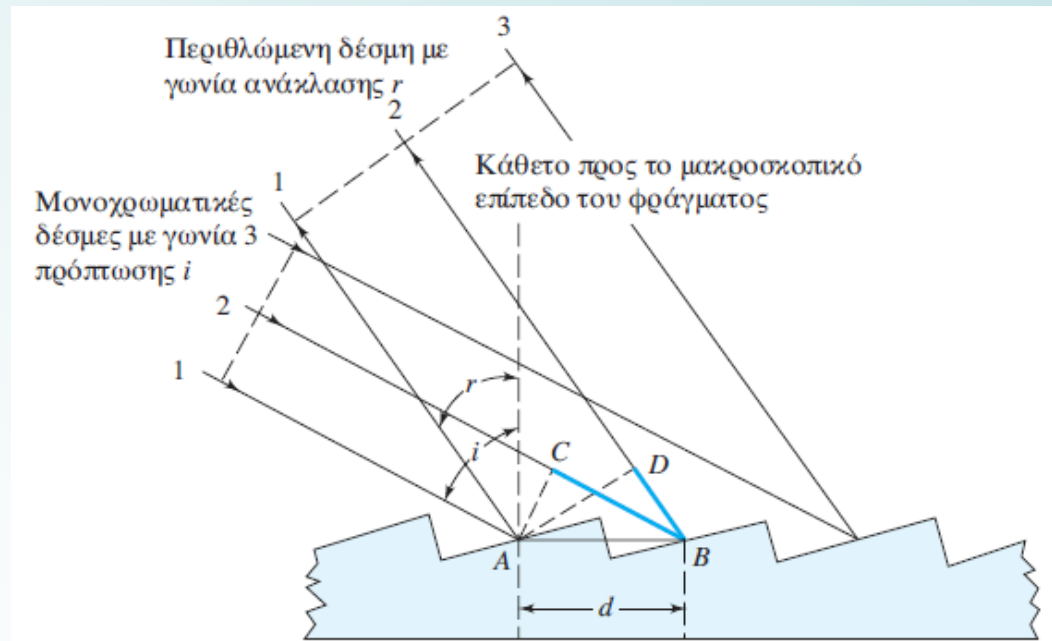
$$R = \frac{\lambda}{\Delta\lambda}$$

όπου λ είναι η μέση τιμή των μηκών κύματος των δύο ειδώλων και $\Delta\lambda$ η διαφορά τους. Λαμβάνει τιμές 10^3 έως 10^4 .

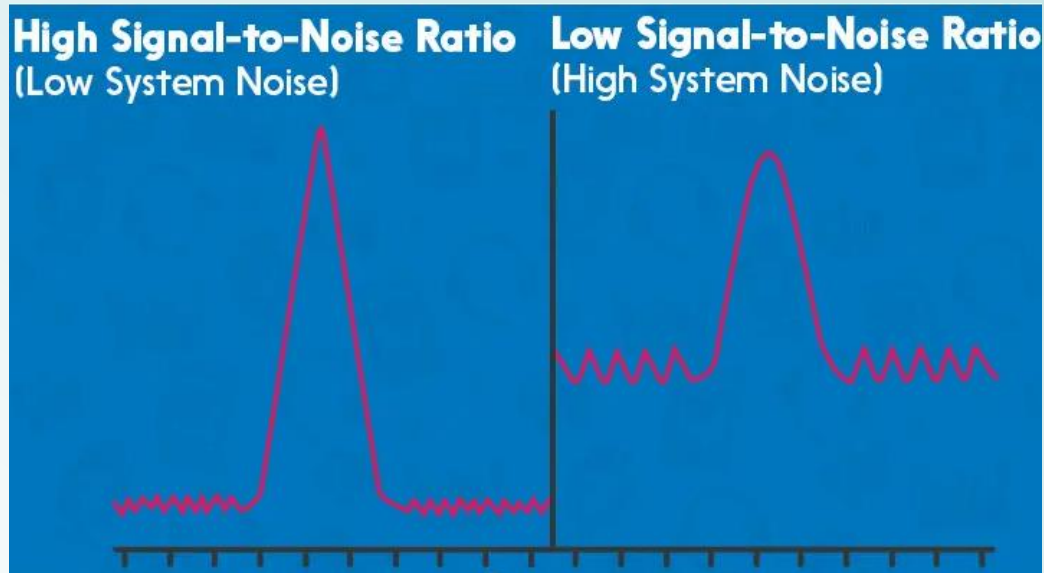
$$R = \frac{\lambda}{\Delta\lambda} = nN$$

όπου n είναι η τάξη περίθλασης και N ο συνολικός αριθμός των χαραγών του φράγματος, οι οποίες δέχονται την ακτινοβολία που διέρχεται από τη σχισμή εισόδου.

Καλύτερη διακριτική ικανότητα επιτυγχάνεται όταν το φράγμα έχει μεγαλύτερο μήκος και η σταθερά d είναι μικρή.



4. Φωτοσυγκεντρωτική ισχύς μονοχρωμάτορα. Προκειμένου να αυξηθεί ο λόγος σήματος-προς-θόρυβο (S/N) ενός φασματοφωτόμετρου, είναι απαραίτητο, η ενέργεια της ακτινοβολίας η οποία φθάνει στον ανιχνευτή να είναι όσο το δυνατόν μεγαλύτερη.



5. Εύρος της φασματικής ταινίας

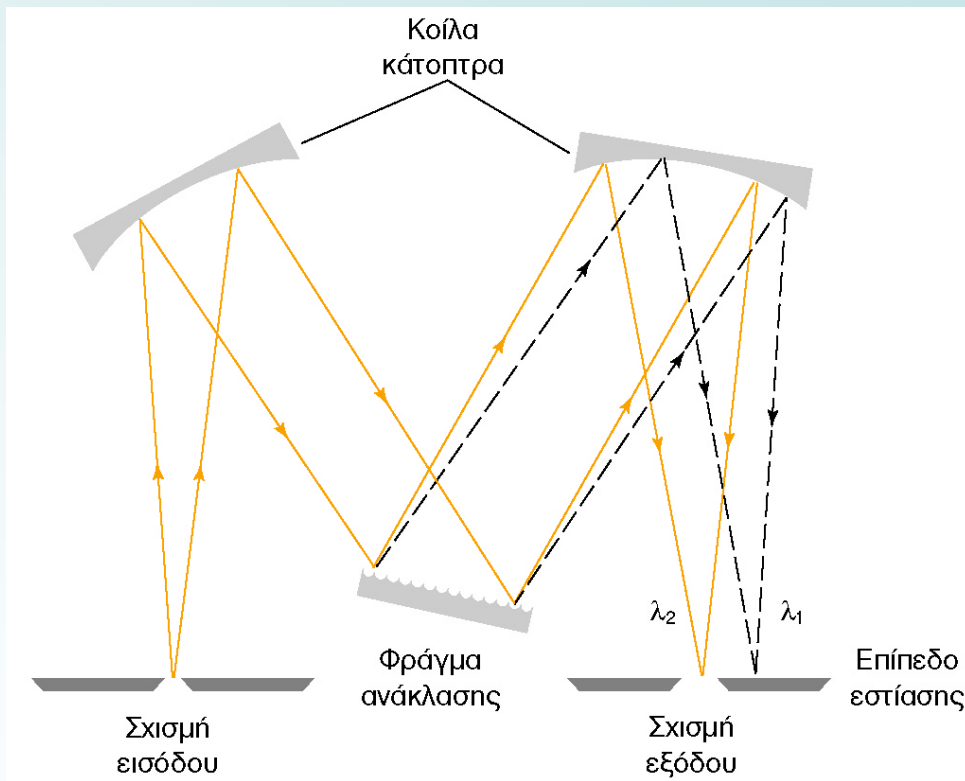
Σχετίζεται με το εύρος των σχισμών του μονοχρωμάτωρα

Σχισμές μονοχρωμάτορα

Οι *σχισμές* (slits) του μονοχρωμάτορα καθορίζουν, σε μεγάλο βαθμό, τα χαρακτηριστικά απόδοσης και την ποιότητά του. Οι “σιαγώνες” των σχισμών σχηματίζονται από δύο μεταλλικά ελάσματα που καταλήγουν σε οξείες ακμές.



Ιδιαίτερη προσοχή δίνεται στην παραλληλότητα μεταξύ των ακμών και στη διάταξή τους στο ίδιο επίπεδο. Σε ορισμένους μονοχρωμάτορες, το εύρος των σχισμών είναι μόνιμο, ενώ σε άλλους μπορεί να μεταβάλλεται με έναν μικρομετρικό μηχανισμό.



- Η σχισμή εισόδου ενός μονοχρώματου παίζει το ρόλο της πηγής ακτινοβολίας. Το είδωλο μιας μονοχρωματικής ακτινοβολίας εστιάζεται στο εστιακό επίπεδο επάνω στο οποίο βρίσκεται η σχισμή εξόδου.
- Εμφανίζεται μια σειρά ειδώλων, ως φωτεινές γραμμές σχήματος ορθογωνίου παραλληλογράμμου, πάνω στο εστιακό επίπεδο και κάθε μία από αυτές αντιστοιχεί σε δεδομένο μήκος κύματος.

➤ Ένα συγκεκριμένο μήκος κύματος μπορεί να εστιασθεί στη σχισμή εξόδου με περιστροφή του στοιχείου διασποράς.

➤ Εάν οι σχισμές εισόδου και εξόδου έχουν το ίδιο μέγεθος (όπως συνήθως συμβαίνει), τότε θεωρητικά, το είδωλο της σχισμής εισόδου θα επικαλύψει ακριβώς τη σχισμή εξόδου, εφ' όσον επιλεγεί στον μονοχρώματου το συγκεκριμένο μήκος κύματος.

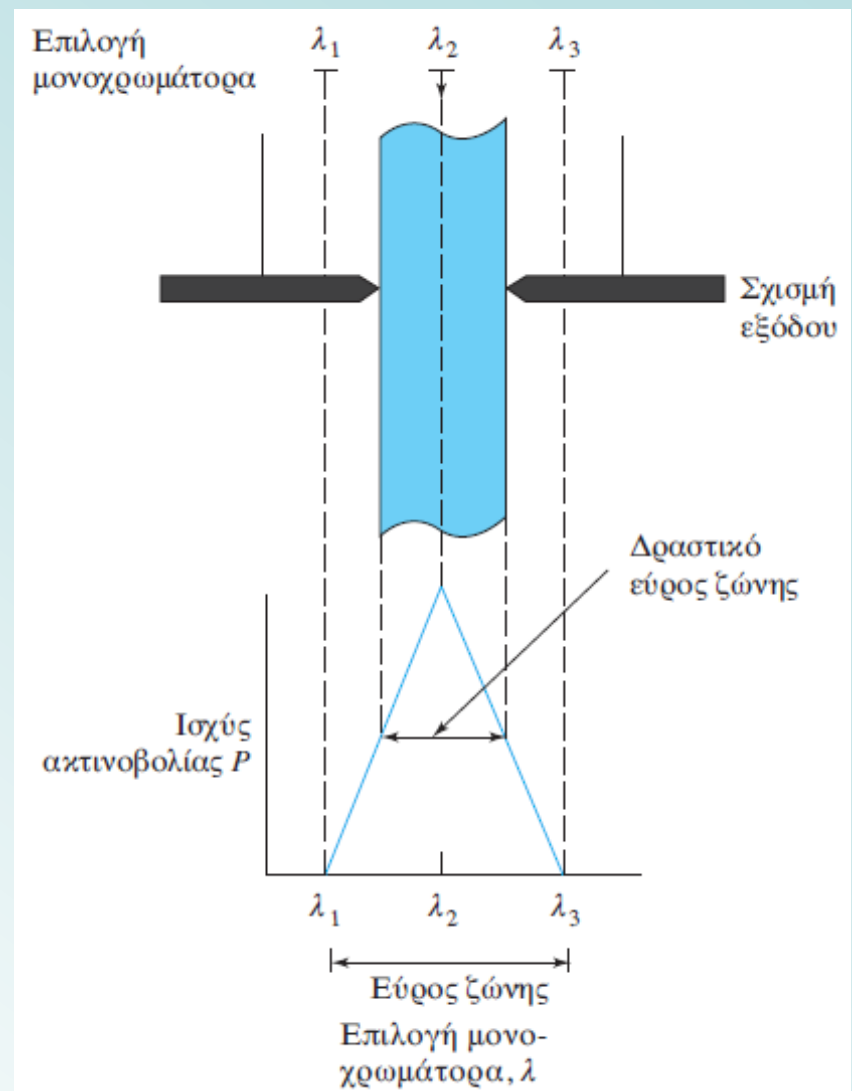
Επίδραση του εύρους της σχισμής στη διακριτική ικανότητα R

Εξετάζεται η περίπτωση κατά την οποία μονοχρωματική ακτινοβολία μήκους κύματος λ_2 φθάνει στη σχισμή εξόδου.

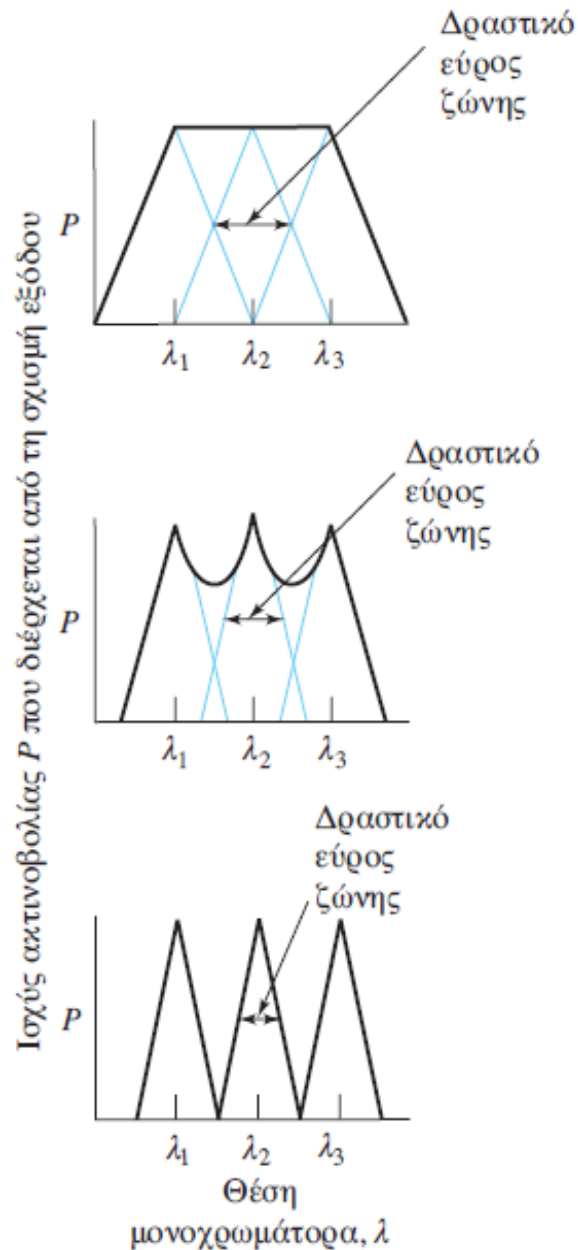
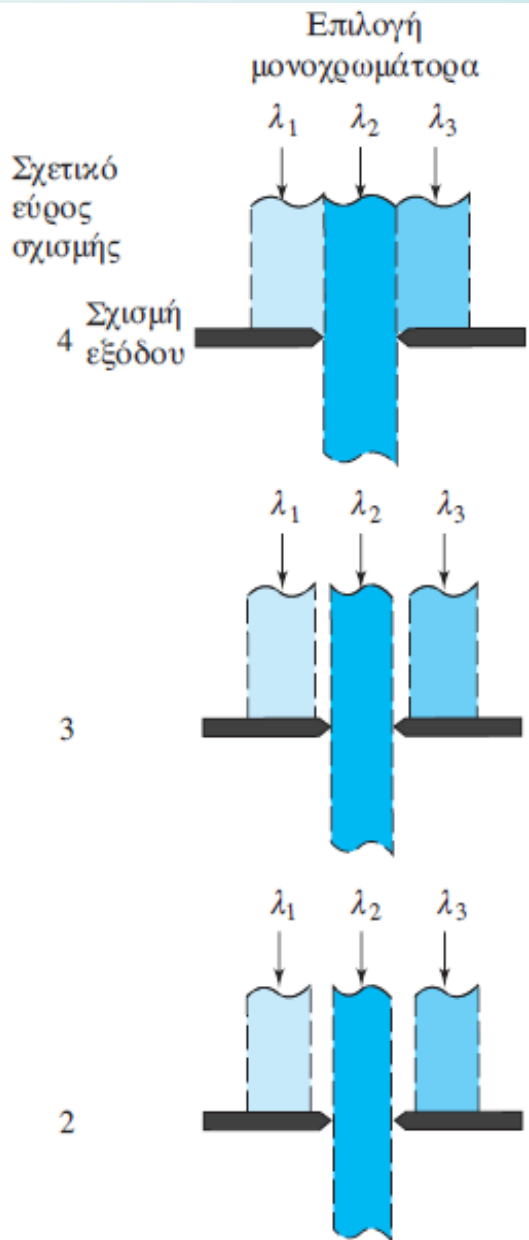
1. Στον μονοχρωμάτορα έχει επιλεγεί το μήκος κύματος λ_2 και οι δύο σχισμές έχουν το ίδιο ακριβώς εύρος.
2. Το είδωλο της σχισμής εισόδου επικαλύπτει ακριβώς τη σχισμή εξόδου.

Εάν στον μονοχρωμάτορα επιλεγούν τα μήκη κύματος λ_1 ή λ_3 , τότε το είδωλο λ_2 θα μετακινηθεί εντελώς εκτός της σχισμής.

Το δραστικό εύρος ζώνης (effective bandwidth) ισούται με το μισό του εύρους ζώνης, όταν οι σχισμές έχουν το ίδιο μέγεθος.



Φωτισμός μιας σχισμής εξόδου με μονοχρωματική ακτινοβολία λ_2 για διάφορες θέσεις του μονοχρωμάτορα. Γράφημα της ισχύος της εξερχόμενης ακτινοβολίας ως συνάρτηση του μήκους κύματος, το οποίο επιλέχθηκε από τον μονοχρωμάτορα.

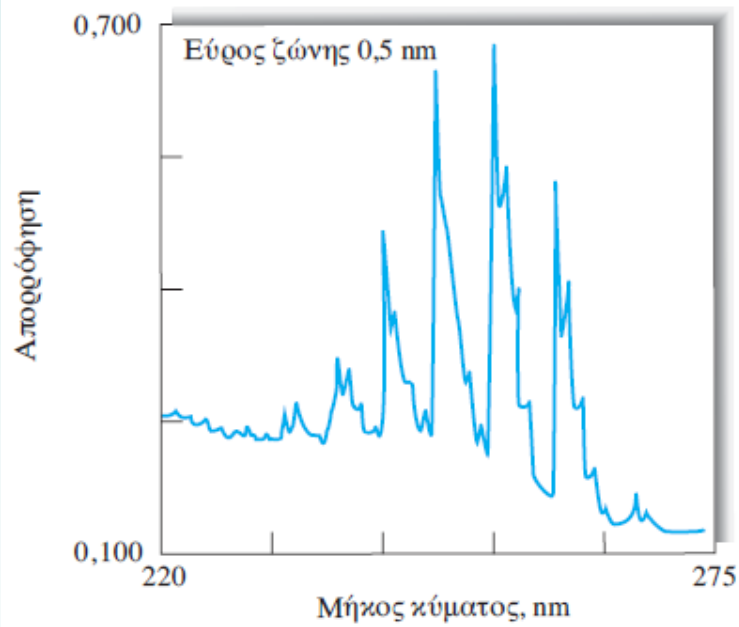


Επίδραση του εύρους της σχισμής στα φάσματα

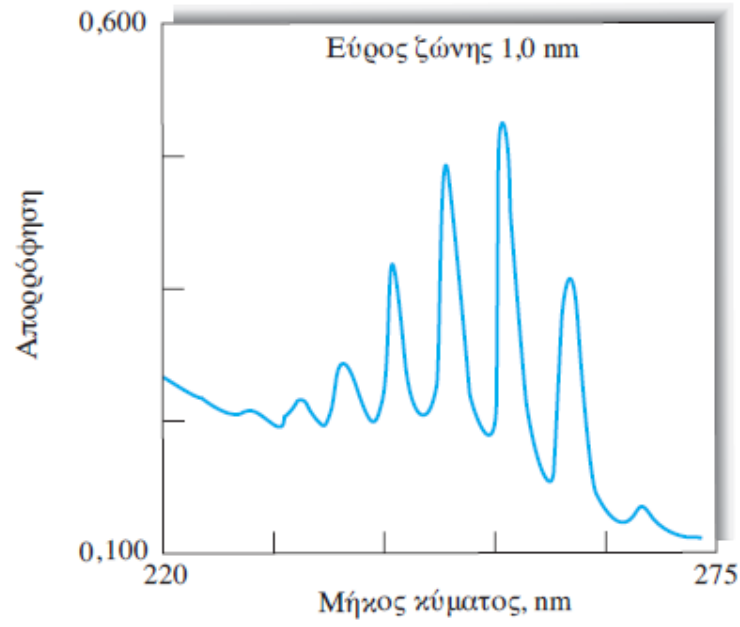
➤ Η σχισμή εξόδου φωτίζεται με δέσμες λ_1 , λ_2 και λ_3 . Οι τρεις γραμμές μηκών κύματος λ_1 , λ_2 και λ_3 ισοαπέχουν μεταξύ τους και έχουν την ίδια ένταση.

➤ Μετακίνηση της επιλογής στον μονοχρωμάτορα προς οποιαδήποτε κατεύθυνση προκαλεί μείωση στην ένταση της διερχόμενης ακτινοβολίας λ_2 , αλλά αυξάνει την ένταση της μιας ή της άλλης γραμμής (λ_1 ή λ_3) κατά το ίδιο ποσοστό.

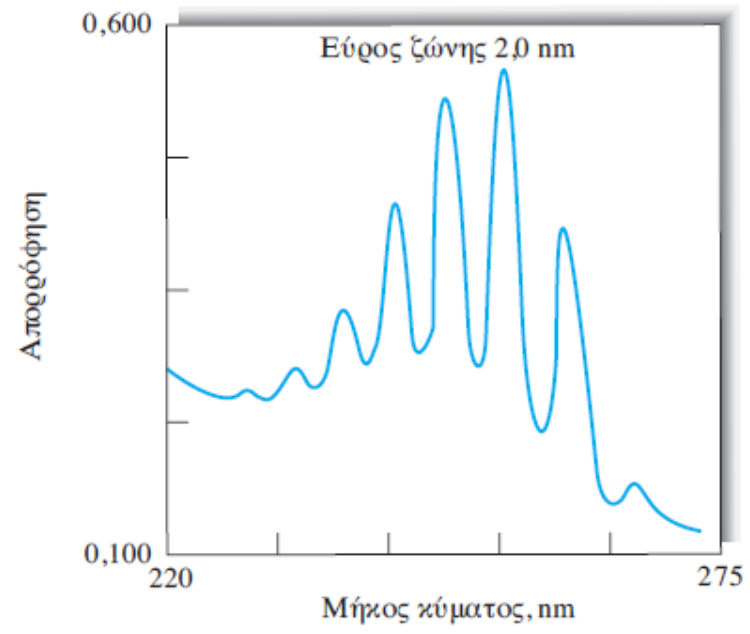
➤ Πλήρης διαχωρισμός δύο φασματικών κορυφών είναι δυνατός μόνο όταν το εύρος της σχισμής ρυθμισθεί στο μισό της διαφοράς των μηκών κύματος των δύο κορυφών.



(α)



(β)



(γ)

Επίδραση του εύρους ζώνης στις λεπτομέρειες του φάσματος ατμών βενζολίου: (α) 0,5 nm, (β) 1,0 nm, (γ) 2,0 nm.

Περισσότερες λεπτομέρειες του φάσματος γίνονται εμφανείς με το μικρότερο εύρος ζώνης.

Επιλογή εύρους σχισμής

- Το δραστικό εύρος ζώνης ενός μονοχρωμάτορα εξαρτάται από τη διασπορά του φράγματος ή του πρίσματος, καθώς και από το γεωμετρικό εύρος των σχισμών εισόδου και εξόδου.
- Οι περισσότεροι μονοχρωμάτορες διαθέτουν μηχανισμό μεταβολής του εύρους των σχισμών τους, ώστε να μπορεί με τον τρόπο αυτό να μεταβάλλεται και το εύρος ζώνης. Σε περίπτωση που απαιτείται μεγάλη διακριτική ικανότητα ή εξετάζονται πολύ στενές ζώνες απορρόφησης ή εκπομπής, οι σχισμές πρέπει να έχουν το ελάχιστο δυνατό εύρος.
- Μείωση του εύρους της σχισμής συνοδεύεται από μείωση της ισχύος της επιλεγόμενης ακτινοβολίας και η ακριβής μέτρησή της γίνεται δυσκολότερη (μείωση του εύρους σχισμής κατά 10 φορές μειώνει την ενέργεια της διερχόμενης ακτινοβολίας κατά 100 φορές, αφού αυτή είναι ανάλογη του τετραγώνου του εύρους σχισμής).

Συμπερασματικά:

στην ποσοτική ανάλυση χρησιμοποιούνται μεγαλύτερες σχισμές απ' ότι

στην ποιοτική ανάλυση, όπου οι φασματικές λεπτομέρειες έχουν σημασία για την ταυτοποίηση ουσιών και συνεπώς, η σχισμή εξόδου πρέπει να όσο το δυνατόν μικρότερη.

ΜΕΤΑΛΛΑΚΤΕΣ ΑΚΤΙΝΟΒΟΛΙΑΣ

μετατρέπουν την ενέργεια ακτινοβολίας σε ηλεκτρικό σήμα.

Ιδιότητες του ιδανικού μεταλλάκτη

1. να έχει υψηλό λόγο σήματος-προς-θόρυβο (S/N)
2. να παρουσιάζει σταθερή απόκριση για μεγάλη περιοχή μηκών κύματος
3. το ηλεκτρικό σήμα το οποίο παράγει θα πρέπει να είναι ανάλογο προς την ένταση της ακτινοβολίας P , να είναι δηλαδή

$$S = k P$$

4. να αποκρίνεται γρήγορα κι όταν δεν εκτίθεται σε ακτινοβολία το σήμα εξόδου να είναι μηδέν

Στην πράξη πολλοί μεταλλάκτες εμφανίζουν μια μικρή σταθερή απόκριση απουσία ακτινοβολίας, γνωστή ως **σκοτεινό ρεύμα** (dark current), οπότε

$$S = k P + d$$

όπου d το σκοτεινό ρεύμα

Τύποι μεταλλακτών ακτινοβολίας

Γενικοί τύποι μεταλλακτών ακτινοβολίας:

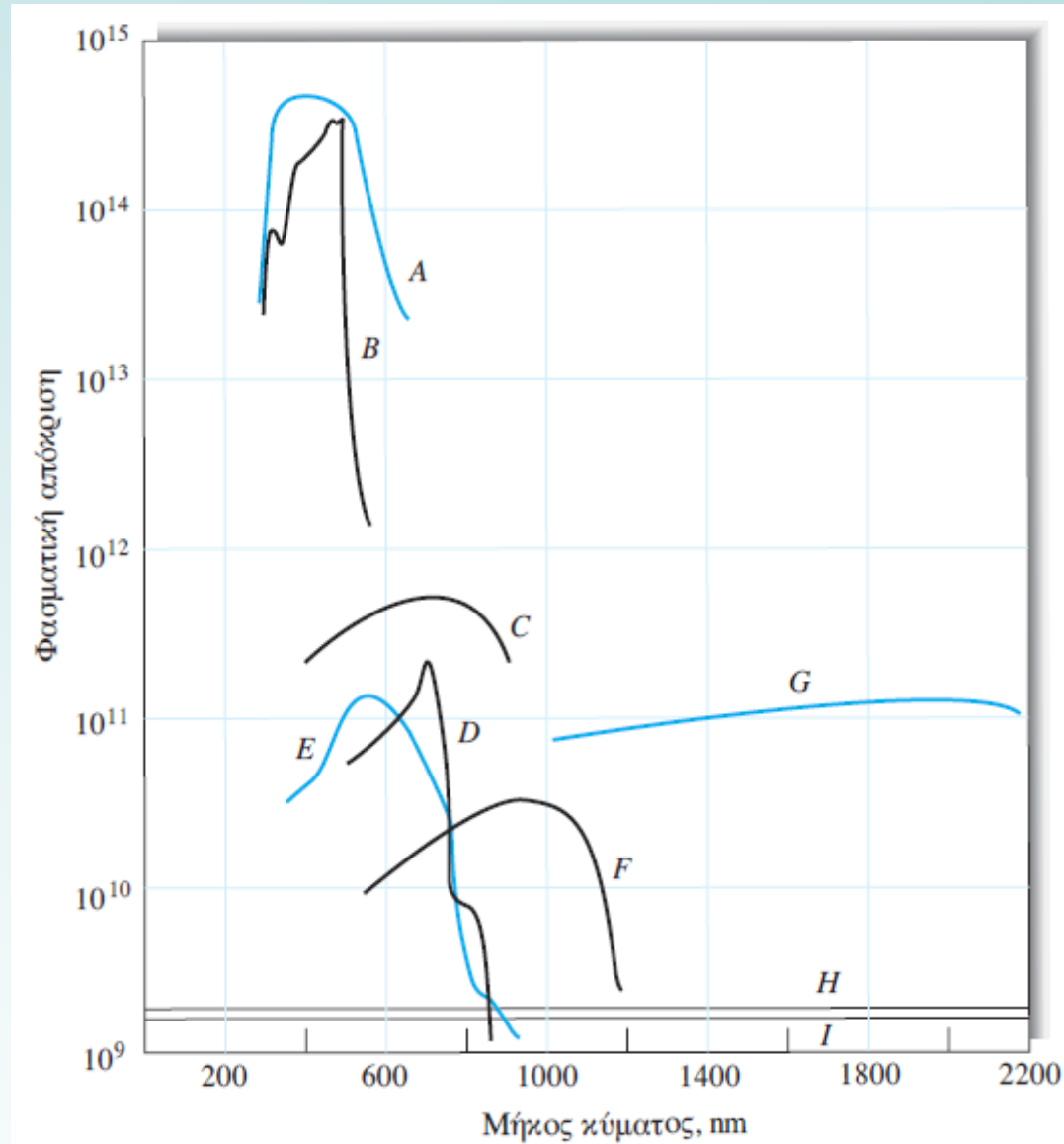
1. αποκρίνονται σε φωτόνια.

Καλούνται επίσης φωτοηλεκτρικοί και έχουν μια δραστική επιφάνεια, που μπορεί να απορροφήσει ακτινοβολία. Η απορροφούμενη ενέργεια προκαλεί εκπομπή ηλεκτρονίων και παραγωγή φωτορρέυματος.

Μειονεκτούν ως προς το ότι η απόκρισή τους εξαρτάται από το μήκος κύματος της ακτινοβολίας.

2. Μεταλλάκτες φωτοαγωγιμότητας. Η ακτινοβολία ανυψώνει ηλεκτρόνια στις ζώνες αγωγιμότητας του υλικού, με αποτέλεσμα την αύξηση της ηλεκτρικής του αγωγιμότητας.

3. Η σχετική ευαισθησία των θερμικών μεταλλακτών είναι ανεξάρτητη του μήκους κύματος αλλά σημαντικά χαμηλότερη από την ευαισθησία των φωτοηλεκτρικών μεταλλακτών.



Σχετική απόκριση διάφορων τύπων φωτοηλεκτρικών μεταλλακτών (A-G) και θερμικών μεταλλακτών (H,I)

Φωτοηλεκτρικοί μεταλλάκτες

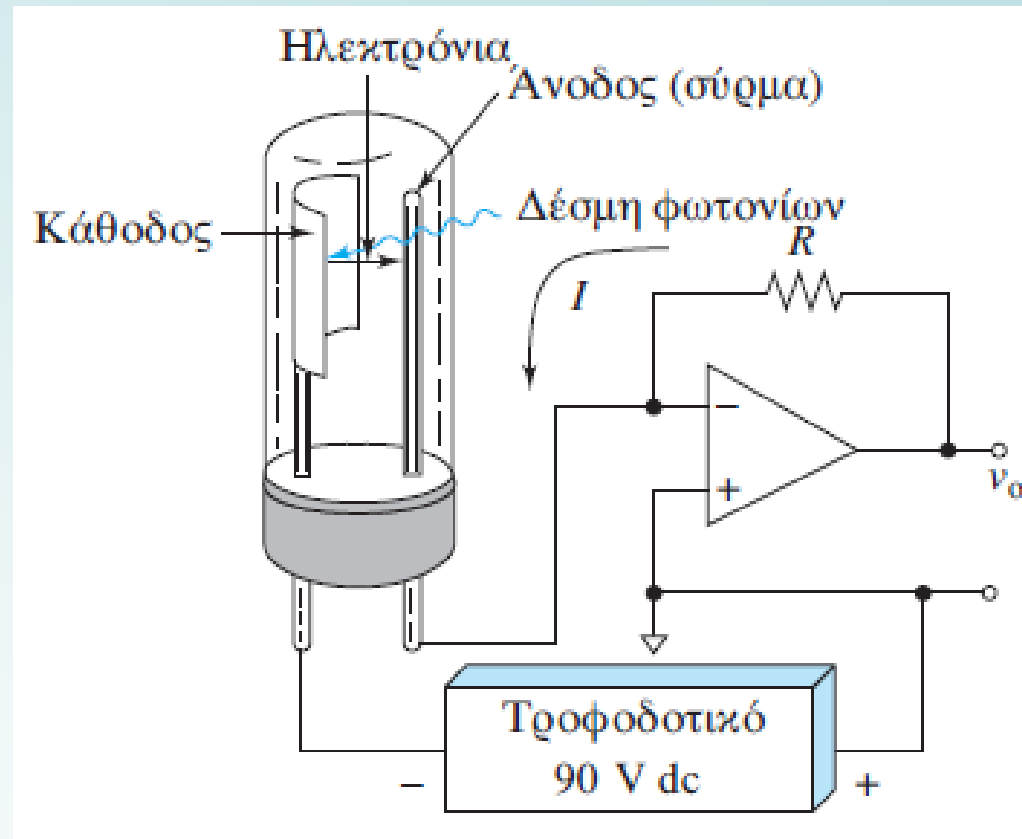
Φωτολυχνία κενού

Αποτελείται από μια ημικυλινδρική κάθοδο και μια άνοδο από σύρμα σφραγισμένα σε διαφανές περίβλημα, όπου υπάρχει κενό αέρα.

Η κοίλη επιφάνεια της (φωτο)καθόδου επικαλύπτεται με στρώμα φωτοευαίσθητου υλικού, το οποίο εκπέμπει ηλεκτρόνια όταν ακτινοβολείται.

Με εφαρμογή μιας διαφοράς δυναμικού μεταξύ των δύο ηλεκτροδίων, τα εκπεμπόμενα ηλεκτρόνια προσανατολίζονται και συλλέγονται στην άνοδο δημιουργώντας ένα φωτόρρευμα. Ο αριθμός των ηλεκτρονίων που εκπέμπονται από τη φωτοευαίσθητη επιφάνεια είναι ανάλογος της ισχύος της προσπίπτουσας δέσμης ακτινοβολίας.

Ποικιλία φωτοευαίσθητων επιφανειών: κράματα Na/K/Cs/Sb), σκευάσματα, Ag/O/Cs, μίγματα Ga/In/As κλπ.

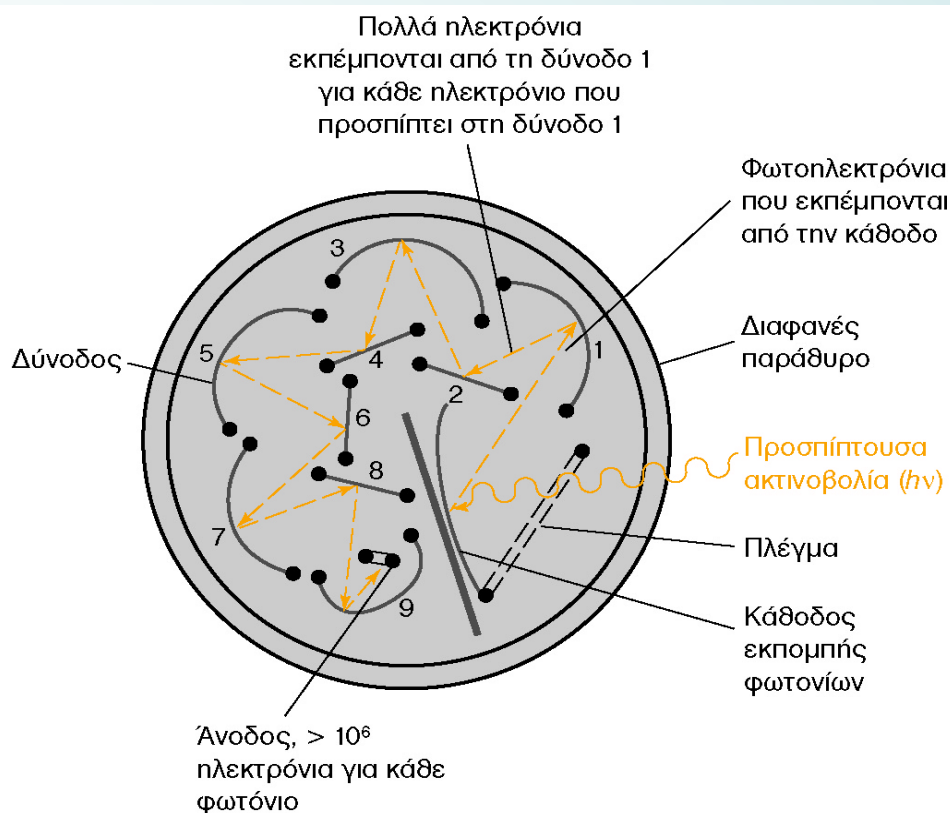


Φωτοπολλαπλασιαστής (photomultiplier tubes, PMTs)

Χρησιμοποιείται για τη μέτρηση ακτινοβολίας χαμηλής ισχύος.

Η σύσταση της φωτοκαθόδου είναι ίδια με αυτή των φωτολυχνιών και εκπέμπει ηλεκτρόνια κατά την ακτινοβόλησή της. Η λυχνία περιλαμβάνει επιπλέον ηλεκτρόδια τα οποία ονομάζονται **δύνοδοι** (BeO και MgO). Η δύνοδος 1 συνδέεται με δυναμικό κατά 90 V θετικότερο του δυναμικού της καθόδου, με συνέπεια τα φωτοηλεκτρόνια να επιταχύνονται προς αυτήν. Ο “καταρράκτης” των ηλεκτρονίων συλλέγεται τελικά από την άνοδο και το προκύπτον ρεύμα ενισχύεται ηλεκτρονικά και μετρείται.

Είναι υπερευαίσθητοι στην υπεριώδη και ορατή ακτινοβολία και επιπλέον, χαρακτηρίζονται από μεγάλη ταχύτητα απόκρισης.



Θερμικοί μεταλλάκτες

Οι οπτικοί μεταλλάκτες, δεν είναι δυνατόν να εφαρμοσθούν, γενικά, στην υπέρυθρη περιοχή,

διότι τα φωτόνια αυτής της περιοχής δεν διαθέτουν την απαιτούμενη ενέργεια για να προκαλέσουν φωτοεκπομπή ηλεκτρονίων.

Για την περιοχή αυτή πρέπει να χρησιμοποιηθούν θερμικοί μεταλλάκτες.

Θερμοστοιχείο

Η ακτινοβολία προσπίπτει και απορροφάται από στρώμα μέλανος σώματος και ακολουθεί μέτρηση της προκαλούμενης ανύψωσης της θερμοκρασίας. Τα επίπεδα ισχύος της ακτινοβολίας μιας τυπικής υπέρυθρης δέσμης είναι χαμηλά και για τον λόγο αυτό η θερμοχωρητικότητα ($C = \Delta Q / \delta T$) του στοιχείου πρέπει να είναι όσο το δυνατόν μικρότερη ώστε να υπάρξει ανιχνεύσιμη μεταβολή θερμοκρασίας.

Στις καλύτερες περιπτώσεις, οι παρατηρούμενες θερμοκρασιακές μεταβολές είναι της τάξης των μερικών χιλιοστών του βαθμού kelvin.

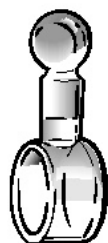
Θερμοζεύγος

Σχηματίζεται από την ένωση με σύντηξη τμημάτων δύο διαφορετικών μετάλλων (Constantan: 55% Cu, 45% Ni). Η ένωση, όταν θερμανθεί, παράγει μία μικρή τάση και ένα σχετικό προς αυτή ρεύμα ανάλογο προς τη θερμοκρασία της ένωσης. Η έξοδος του θερμοζεύγους που λαμβάνεται από τις ελεύθερες του άκρες εφαρμόζεται σε μία ένδειξη όπως ένα μιλιβολτόμετρο.

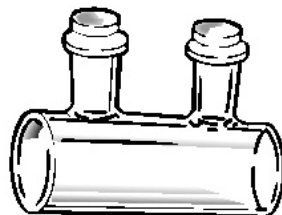
Ένας καλά σχεδιασμένος θερμικός μεταλλάκτης δίνει μετρήσιμο αναλυτικό σήμα ακόμη και για διαφορές θερμοκρασίας της τάξης των 10^{-6} K.

ΥΠΟΔΟΧΕΙΣ ΔΕΙΓΜΑΤΩΝ

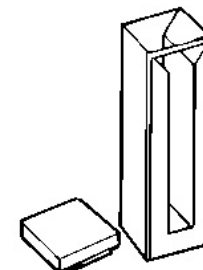
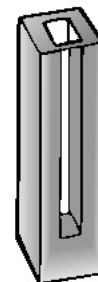
Συνήθως
πάχους
1 cm



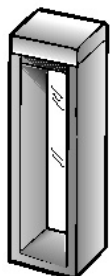
Κυλινδρικές



Μικροκυψελίδες



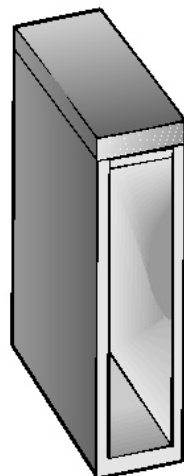
Πάχους
5 mm



Πάχους
1 mm



Πάχους 20 mm



Ροής



Θερμική



ΥΠΟΔΟΧΕΙΣ ΔΕΙΓΜΑΤΩΝ

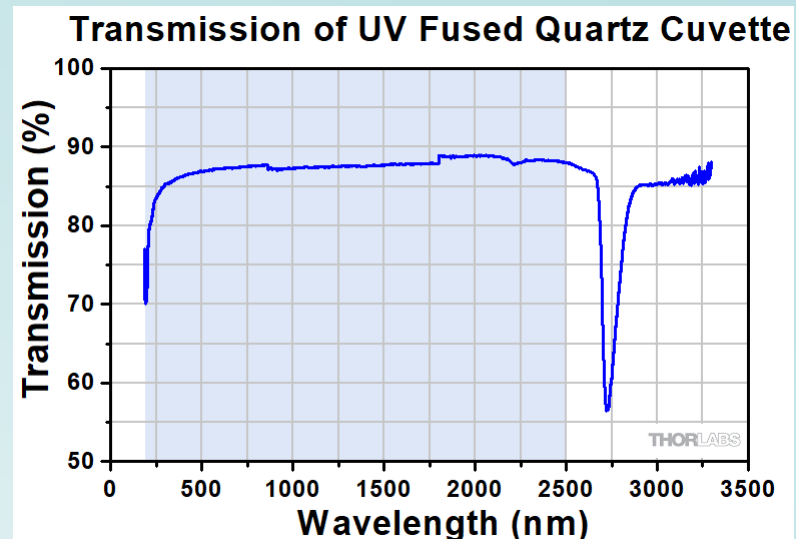
Οι **κυψελίδες** (cuvettes) που περιέχουν το δείγμα ή τον διαλύτη, πρέπει να κατασκευάζονται από υλικό το οποίο επιτρέπει τη διέλευση της ακτινοβολίας της περιοχής εργασίας.

Για εργασία στην υπεριώδη περιοχή (κάτω από τα 350 nm) απαιτούνται κυψελίδες από χαλαζία ή τηγμένη πυριτία. Και τα δύο υλικά είναι διαπερατά από ορατή και υπέρυθη ακτινοβολία μέχρι τα 3 μm .

Για την περιοχή 350 έως 2000 nm μπορεί να χρησιμοποιηθεί και απλή πυριτική ύαλος. Για την ορατή περιοχή έχουν χρησιμοποιηθεί και πλαστικές κυψελίδες.

Οι κυψελίδες πρέπει να έχουν παράθυρα εντελώς κάθετα προς τη διεύθυνση της δέσμης, ώστε να ελαχιστοποιούνται οι απώλειες από ανακλάσεις.

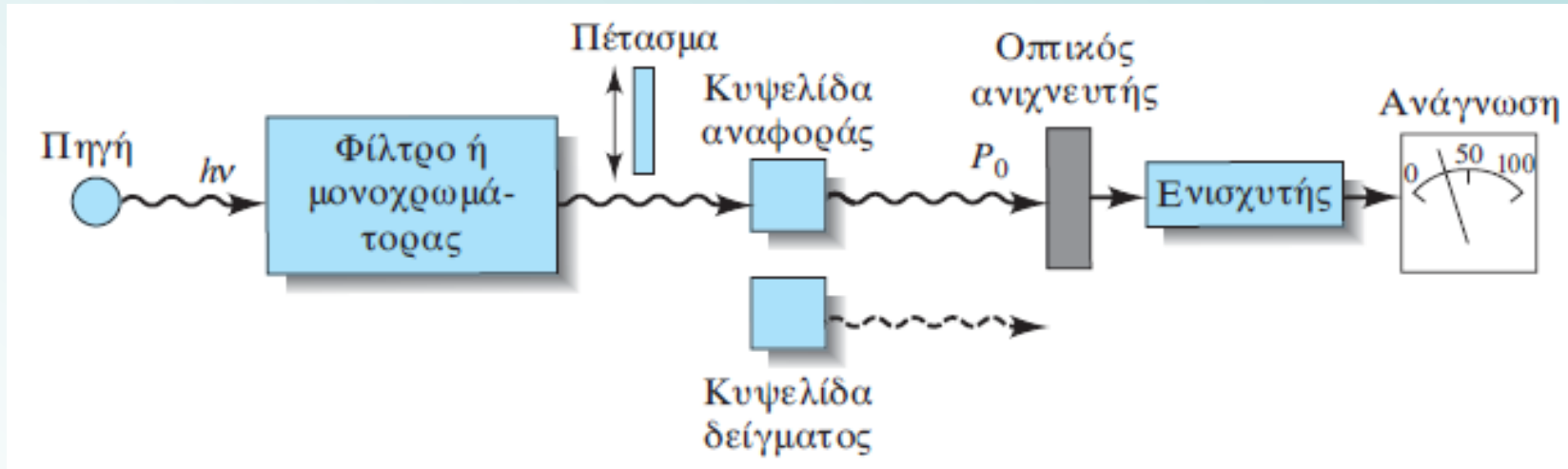
Η συνηθέστερη οπτική διαδρομή για μελέτες στο υπεριώδες και ορατό είναι 1 cm. Άλλες οπτικές διαδρομές, από 0,1 cm (και μικρότερες) μέχρι 10 cm, υπάρχουν στο εμπόριο και διατίθενται ζεύγη από ακριβώς “ταιριασμένες” (matched) κυψελίδες.



Η ποιότητα των πειραματικών δεδομένων εξαρτάται πολύ από τον τρόπο χρήσης και συντήρησης των κυψελίδων:

Προσεκτικός καθαρισμός των κυψελίδων πριν και μετά τη χρήση τους. Δεν πρέπει να στεγνώνονται με θέρμανση σε φούρνο ή σε φλόγα, επειδή υπάρχει κίνδυνος φυσικής τους καταστροφής ή μεταβολής της οπτικής τους διαδρομής.

Όργανα απλής (ή μονής) δέσμης



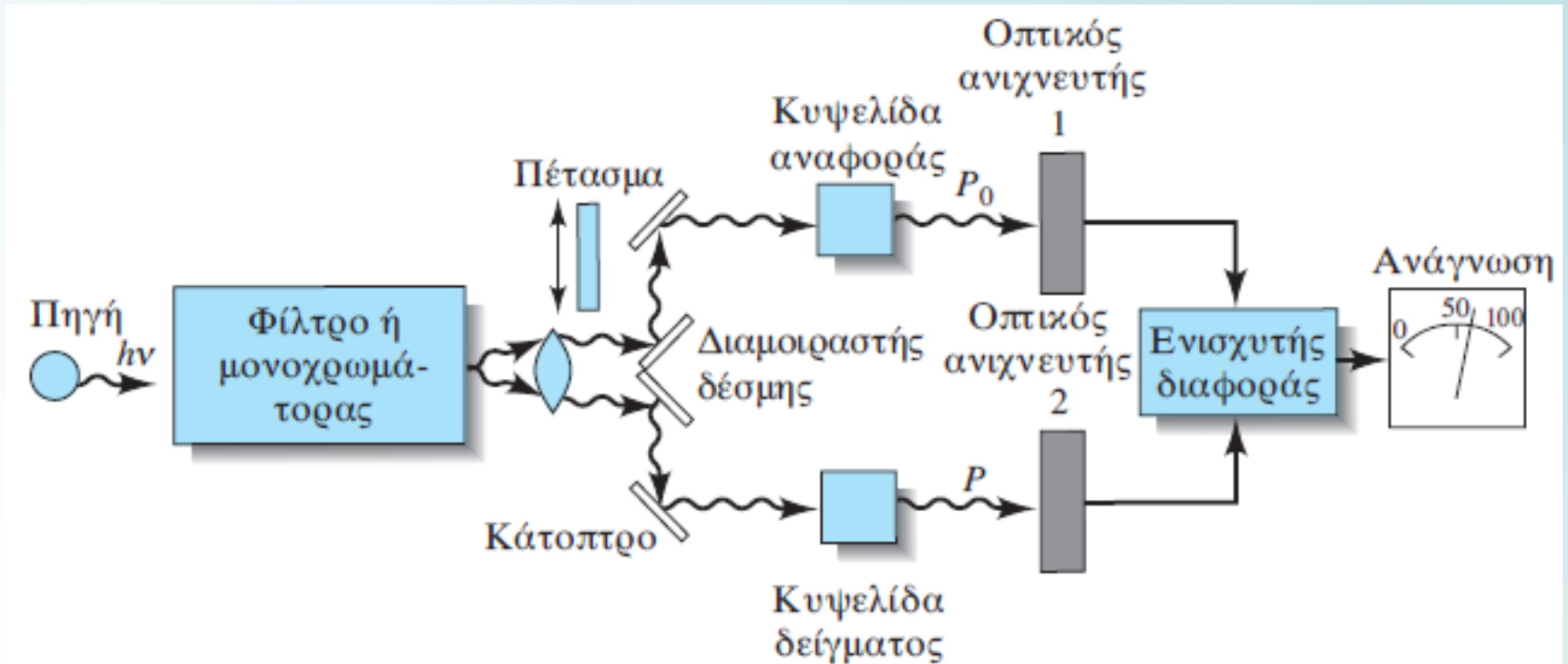
Αποτελούνται από μια πηγή ακτινοβολίας, ένα φίλτρο ή μονοχρωμάτορα για επιλογή του μήκους κύματος, ταιριασμένες κυψελίδες, έναν μεταλλακτή και μία συσκευή ανάγνωσης του αναλυτικού σήματος.

Όργανα διπλής δέσμης

Τα περισσότερα σύγχρονα φωτόμετρα και φασματοφωτόμετρα είναι όργανα **διπλής δέσμης** (double-beam).

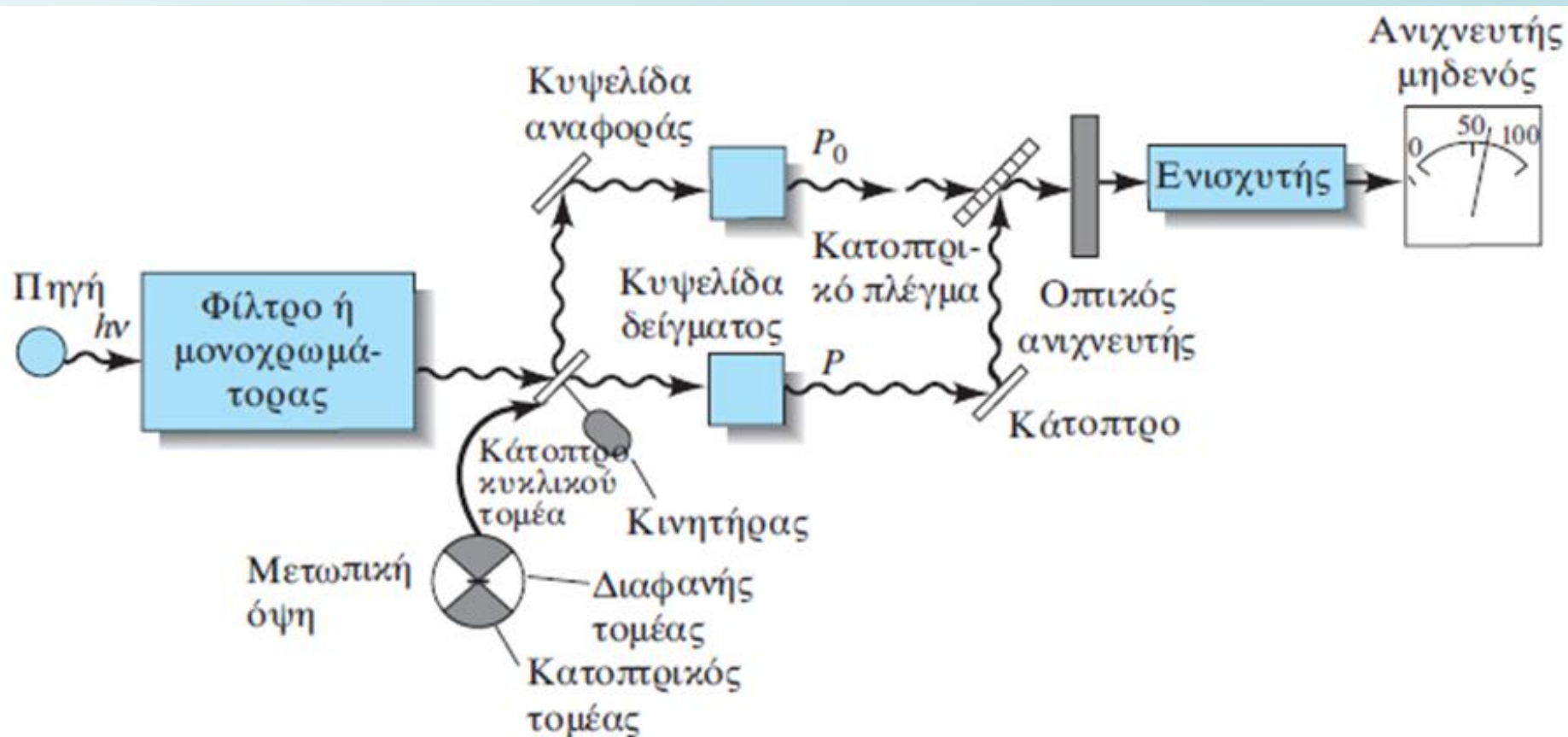
Μία από τις δέσμες διέρχεται από το διάλυμα αναφοράς και φθάνει στον φωτομεταλλάκτη και παράλληλα η δεύτερη περνά από το δείγμα και φθάνει σε έναν δεύτερο φωτομεταλλάκτη ίδιο με τον προηγούμενο.

Τα σήματα από τους φωτομεταλλάκτες ενισχύονται και ο λόγος τους (ή ο λογάριθμος του λόγου τους) προσδιορίζεται με ηλεκτρονικά μέσα και παρουσιάζεται στο όργανο ανάγνωσης.

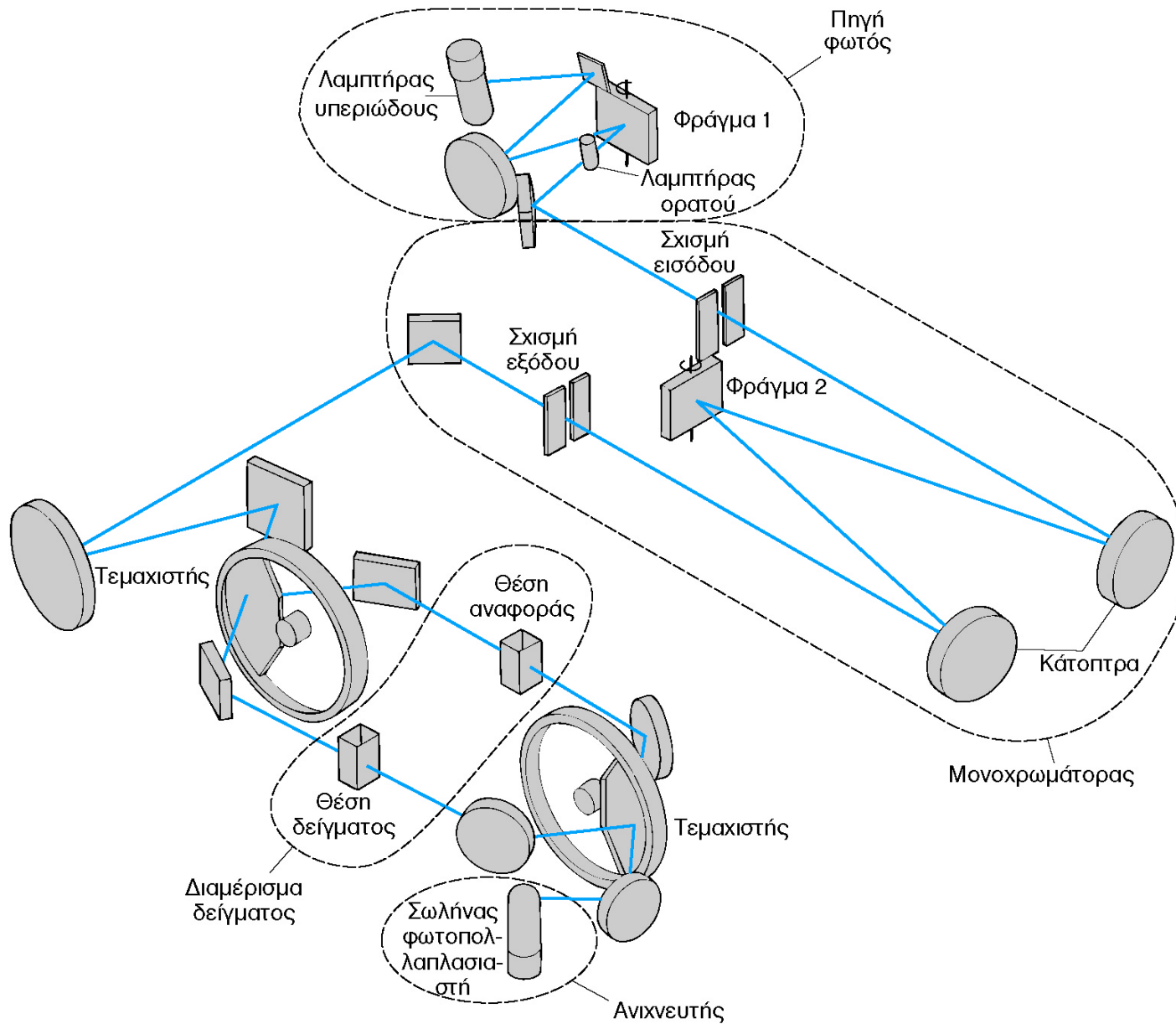


Όργανο διπλής δέσμης-**χώρου**, στο οποίο οι δύο δέσμες σχηματίζονται στον χώρο με ένα κάτοπτρο σχήματος V που ονομάζεται **διαμοιραστής δέσμης** (beam splitter).

Δεύτερος τύπος οργάνου διπλής δέσμης: *Οι δέσμες χωρίζονται χρονικά με ένα περιστρεφόμενο δίσκο με κατοπτρικούς και διαφανείς τομείς.*



Η αρχική δέσμη διέρχεται εναλλάξ από την κυψελίδα δείγματος και την κυψελίδα αναφοράς. Η δέσμη ακτινοβολίας τεμαχίζεται πολλές φορές ανά δευτερόλεπτο κι έτσι στον ανιχνευτή φτάνει ένα οπτικό σήμα με εναλλασσόμενη ισχύ P_0 και P



Φασματοφωτόμετρο Υπεριώδους-Ορατού Varian Cary 3E

Φασματοφωτόμετρο απλής δέσμης vs διπλής δέσμης

Ένα φασματοφωτόμετρο απλής δέσμης δεν είναι εύχρηστο διότι:

- το δείγμα και το διάλυμα αναφοράς (τυφλό) θα πρέπει να τοποθετούνται στο χώρο μέτρησης το ένα μετά το άλλο.
- για μετρήσεις σε πολλά μήκη κύματος το διάλυμα αναφοράς πρέπει να μετριέται σε κάθε μήκος κύματος χωριστά.
- δεν είναι κατάλληλο για τη μέτρηση της απορρόφησης συναρτήσεως του χρόνου (π.χ. κινητικές) καθώς διολισθαίνουν τόσο η ένταση της πηγής όσο και η απόκριση του ανιχνευτή.

Μεθοδολογικές λεπτομέρειες στη φασματομετρική ανάλυση

Στα πρώτα βήματα μιας φωτομετρικής (ή φασματοφωτομετρικής ανάλυσης) περιλαμβάνεται ο καθορισμός των βέλτιστων συνθηκών και η κατασκευή μιας καμπύλης αναφοράς, η οποία συνδέει την απορρόφηση με τη συγκέντρωση.

1. Επιλογή μήκους κύματος

Οι φασματοφωτομετρικές μετρήσεις πραγματοποιούνται συνήθως σε μήκος κύματος, το οποίο αντιστοιχεί σε μια κορυφή απορρόφησης, επειδή

- εκεί η μεταβολή της απορρόφησης ανά μονάδα συγκέντρωσης είναι μεγαλύτερη, με αποτέλεσμα να έχουμε τη μεγαλύτερη ευαισθησία.
- στην περιοχή του μεγίστου, η καμπύλη απορρόφησης μπορεί να θεωρηθεί ως πρακτικά ανεξάρτητη από το μήκος κύματος και επομένως αναμένονται μικρότερες αποκλίσεις από τον νόμο του Beer.
- οι μετρήσεις στο μέγιστο είναι λιγότερο ευαίσθητες σε τυχαία σφάλματα που μπορεί να προκύψουν από την αδυναμία ακριβούς αναπαραγωγής του ίδιου μήκους κύματος.

2. Παράμετροι που επηρεάζουν την απορρόφηση

Το φάσμα απορρόφησης μιας ουσίας επηρεάζεται από τη φύση του διαλύτη, το pH του διαλύματος, τη θερμοκρασία, τις συγκεντρώσεις των ηλεκτρολυτών και των παρεμποδιστών. Οι τιμές των παραπάνω πρέπει να ρυθμίζονται έτσι ώστε μικρές μεταβολές στην τιμή τους να μην επηρεάζουν τη μετρούμενη απορρόφηση.

3. Καθαρισμός και χρήση των κυψελίδων

Για ακριβείς φασματοφωτομετρικές αναλύσεις απαιτούνται αντικρυσμένες (ταιριασμένες) κυψελίδες, υψηλής ποιότητας. Σημαντική είναι η χρησιμοποίηση ενδεδειγμένων τρόπων καθαρισμού και στεγνώματος των κυψελίδων.

4. Καθορισμός της σχέσης μεταξύ απορρόφησης και συγκέντρωσης

Θα πρέπει να κατασκευασθεί μια καμπύλη αναφοράς με πρότυπα διαλύματα γνωστών συγκεντρώσεων, που περιβάλλουν τις αναμενόμενες συγκεντρώσεις των αγνώστων δειγμάτων. Σε κάποιες περιπτώσεις, μπορούμε να υποθέσουμε ότι η απορρόφηση υπακούει στο νόμο Beer και να χρησιμοποιήσουμε μόνο ένα πρότυπο για τον υπολογισμό της συγκέντρωσης και του συντελεστή γραμμομοριακής απορροφητικότητας.

Οι αναλυτικοί υπολογισμοί **δεν πρέπει ποτέ** να βασίζονται σε τιμές γραμμομοριακής απορροφητικότητας από τη βιβλιογραφία.

ΦΩΤΑΥΓΕΙΑ

Είναι η εκπομπή φωτός λόγω της διεγερμένης κατάστασης ενός μορίου (φθορισμός, φωσφορισμός, χημειοφωταύγεια).

Παράγοντες που επηρεάζουν τον φθορισμό και τον φωσφορισμό

Η μοριακή δομή και το χημικό περιβάλλον.

Καθορίζουν και την ένταση της εκπομπής.

Κβαντική απόδοση (quantum yield): ο λόγος του αριθμού των μορίων τα οποία φωταυγάζουν προς τον ολικό αριθμό των διεγερμένων μορίων.

Για μόρια που έχουν υψηλά επίπεδα φθορισμού (π.χ. η φλουορεσκεΐνη), η κβαντική απόδοση πλησιάζει, υπό ορισμένες συνθήκες, τη μονάδα.

Ουσίες που δεν φθορίζουν αισθητά, έχουν τιμές κβαντικής απόδοσης που πλησιάζουν το μηδέν.

Αποδιέγερση με φθορισμό και φωσφορισμό

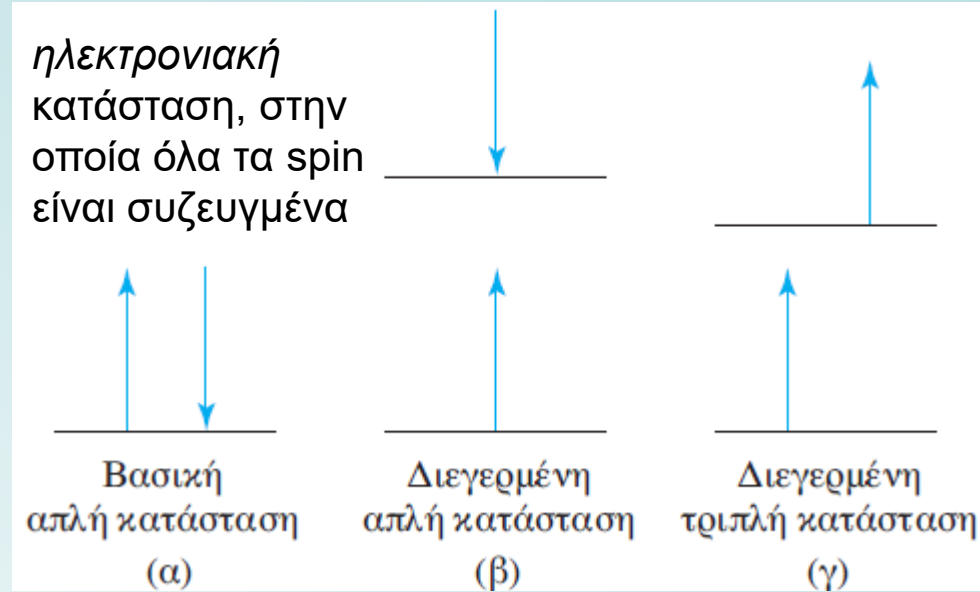
Εκπομπή φθορισμού και φωσφορισμού: τα μόρια διεγείρονται με απορρόφηση δέσμης ηλεκτρομαγνητικής ακτινοβολίας και επιστρέφουν στη θεμελιώδη κατάσταση με εκπομπή ακτινοβολίας.

Η **απορρόφηση** ενός φωτονίου είναι ταχύτατη. Ο μηχανισμός απαιτεί χρόνο της τάξης του 10^{-14} έως 10^{-15} s.

Αντίθετα, η **εκπομπή** συμβαίνει με σημαντικά βραδύτερο ρυθμό.

Ο μέσος ρυθμός μετάπτωσης από τριπλή σε απλή είναι μικρότερος (10^{-4} s έως s) του αντίστοιχου απλής-απλής μετάπτωσης ($\sim 10^{-8}$ s).

φθορισμός: συμπληρώνεται μέσα σε 10^{-5} s από τη διέγερση.



Στην απλή βασική ηλεκτρονιακή κατάσταση (α) μορίου, οι στροφορμές είναι πάντα συζευγμένες. Αν οι στροφορμές στις διεγερμένες καταστάσεις παραμένουν συζευγμένες (β), το μόριο βρίσκεται σε απλή διεγερμένη κατάσταση. Αν οι στροφορμές αποσυζευχθούν (γ), το μόριο βρίσκεται σε τριπλή διεγερμένη κατάσταση.

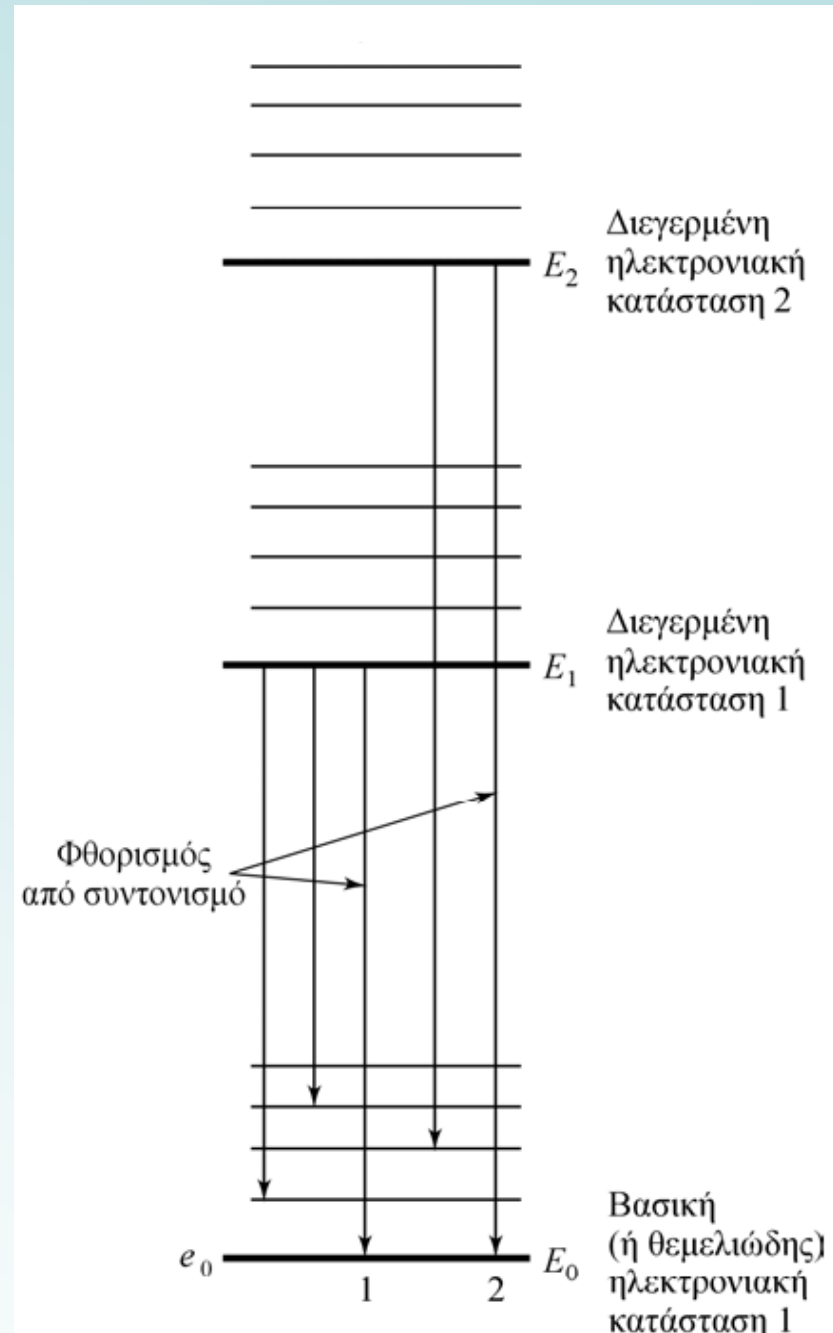
φωσφορισμός: χρόνους μεγαλύτερους από 10^{-5} s έως λεπτά ή ώρες μετά τη διακοπή της ακτινοβολίας.

Μηχανισμοί αποδιέγερσης

φθορισμός συντονισμού: η εκπεμπόμενη ακτινοβολία έχει ακριβώς την ίδια συχνότητα με την ακτινοβολία διέγερσης. Το σωματίδιο διεγείρεται στις ενεργειακές καταστάσεις E_1 ή E_2 με ακτινοβολία ενέργειας ($E_1 - E_0$) ή ($E_2 - E_0$). Σε σύντομο διάστημα, εκπέμπεται ακτινοβολία ίσης ενέργειας (συχνότητας).

Μπορεί να παραχθεί από **άτομα στην αέρια κατάσταση**, που δεν διαθέτουν δονητικές ενεργειακές καταστάσεις.

Μη-συντονισμένος φθορισμός: Η διάρκεια ζωής των διεγερμένων δονητικών καταστάσεων (**μορίων σε διάλυμα ή αέρια**) είναι 10^{-15} s, δηλ. πολύ μικρότερη από τη διάρκεια ζωής των διεγερμένων ηλεκτρονικών καταστάσεων (10^{-8} s). Η δονητική αποδιέγερση πραγματοποιείται πριν από την ηλεκτρονική. Η ενέργεια της εκπεμπόμενης ακτινοβολίας είναι μικρότερη από την απορροφούμενη ίση με την ενέργεια της δονητικής διέγερσης (**μετατόπιση Stokes, μήκους κύματος**).

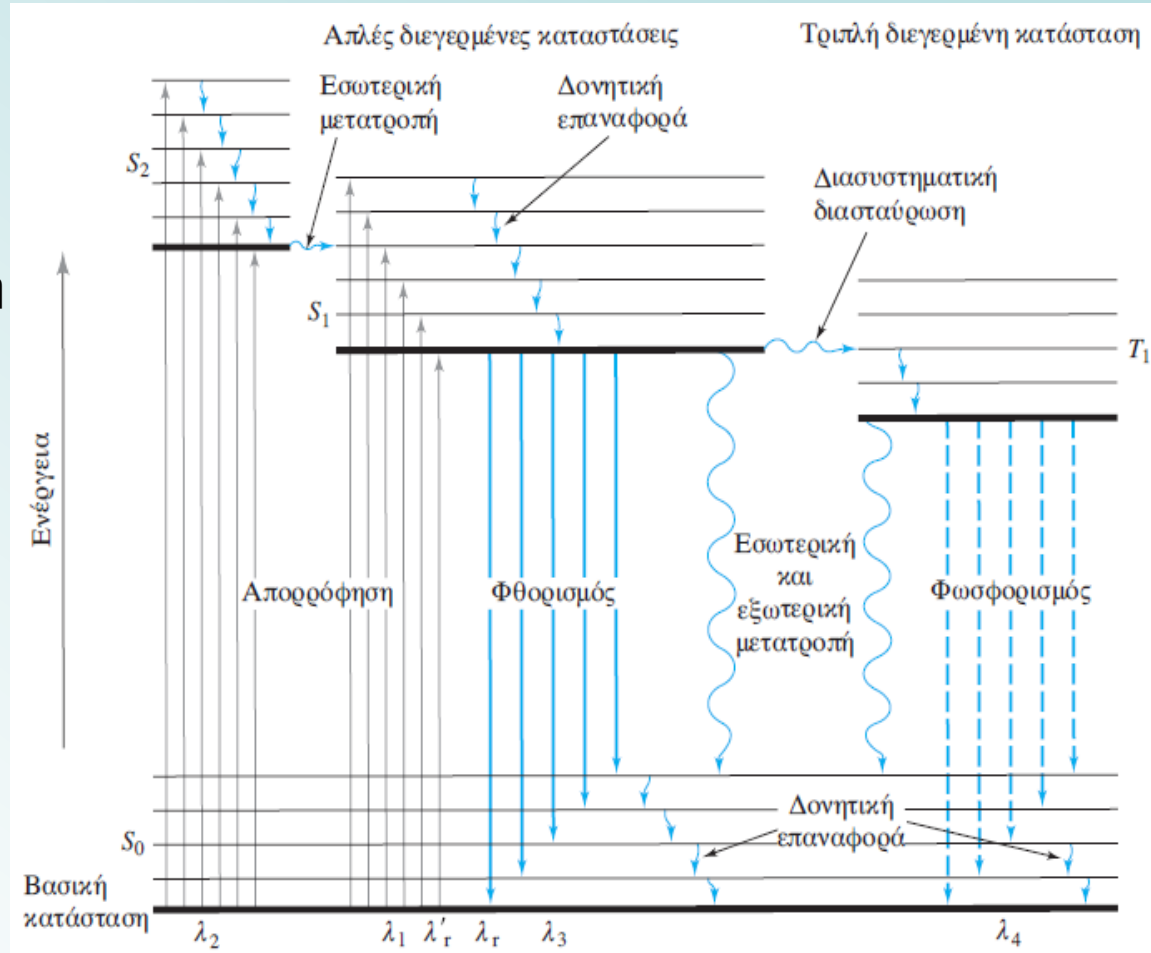


Μηχανισμοί αποδιέγερσης

Εσωτερική μετατροπή: Ενδομοριακοί μηχανισμοί που **δεν οδηγούν** σε εκπομπή ακτινοβολίας.

Εξωτερική μετατροπή: Η αποδιέγερση μιας διηγερμένης ηλεκτρονιακής κατάστασης μπορεί να περιλαμβάνει μεταφορά ενέργειας μεταξύ διηγερμένου μορίου και μορίων του διαλύτη.

Διασυστηματική διασταύρωση: Η διασταύρωση μεταξύ ηλεκτρονιακών καταστάσεων διαφορετικής πολλαπλότητας. Παράδειγμα, η μετάβαση από τη διηγερμένη απλή στη διηγερμένη τριπλή.



Ενεργειακό διάγραμμα τυπικού φωτοφωταυγάζοντος μορίου (διάγραμμα Jablonski)

Φθορισμός και δομή

Ο φθορισμός σπάνια είναι αποτέλεσμα απορρόφησης υπεριώδους ακτινοβολίας με μήκος κύματος μικρότερο από 250 nm. Ως αποτέλεσμα, πολύ σπάνια παρατηρείται φθορισμός που οφείλεται σε μεταπτώσεις $\sigma^* \rightarrow \sigma$. Αντίθετα, οι εκπομπές αυτές περιορίζονται σε λιγότερο ενεργητικούς μηχανισμούς, όπως είναι οι $\pi^* \rightarrow \pi$ και $\pi^* \rightarrow n$.

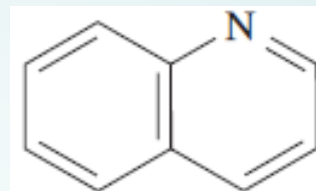
Εντονότερος φθορισμός παρατηρείται σε ενώσεις που περιέχουν:

- αρωματικές δραστικές ομάδες με χαμηλά ενεργειακά επίπεδα μεταπτώσεων $\pi \rightarrow \pi^*$.
- αλειφατικές και αλεικυκλικές δομές διπλών δεσμών υψηλής συζυγίας (ο αριθμός τους είναι μικρός σε σύγκριση με τον μεγάλο αριθμό των αρωματικών συστημάτων).

Οι περισσότεροι μη υποκατεστημένοι αρωματικοί υδρογονάνθρακες φθορίζουν σε διαλύματα. Οι κβαντικές αποδόσεις συνήθως αυξάνουν με τον αριθμό των δακτυλίων και τον βαθμό συμπύκνωσής τους.

Οι απλές ετεροκυκλικές ενώσεις, όπως η πυριδίνη, πυρρόλιο, το φουράνιο και το θειοφαίνιο δεν φθορίζουν.

Συμπύκνωση βενζολικών δακτυλίων οδηγεί σε φθορισμό σε ενώσεις όπως είναι η κινολίνη.



Φθορισμός και δομή

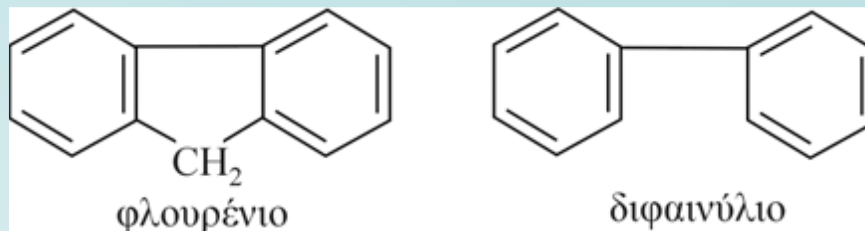
Υποκατάσταση στον βενζολικό δακτύλιο προκαλεί μετατοπίσεις στο μήκος κύματος των κορυφών απορρόφησης και αντίστοιχες αλλαγές στις κορυφές φθορισμού. Επιπλέον, η υποκατάσταση επηρεάζει συχνά την απόδοση φθορισμού.

Επίδραση υποκατάστασης στον φθορισμό του βενζολίου

Ένωση	Χημικός τύπος	Μήκος κύματος φθορισμού, nm	Σχετική ένταση φθορισμού
Βενζόλιο	C_6H_6	270-310	10
Τολουόλιο	$C_6H_5CH_3$	270-320	17
Προπυλοβενζόλιο	$C_6H_5C_3H_7$	270-320	17
Φθοροβενζόλιο	C_6H_5F	270-320	10
Χλωροβενζόλιο	C_6H_5Cl	275-345	7
Βρωμοβενζόλιο	C_6H_5Br	290-380	5
Ιωδοβενζόλιο	C_6H_5I	-	0
Φαινόλη	C_6H_5OH	285-365	18
Φαινολικό ιόν	$C_6H_5O^-$	310-400	10
Ανισόλη	$C_6H_5OCH_3$	285-345	20
Ανιλίνη	$C_6H_5NH_2$	310-405	20
Ανιλίνιο (ιόν)	$C_6H_5NH_3^+$	-	0
Βενζοϊκό οξύ	C_6H_5COOH	310-390	3
Βενζονιτρίλιο	C_6H_5CN	280-360	20
Νιτροβενζόλιο	$C_6H_5NO_2$	-	0

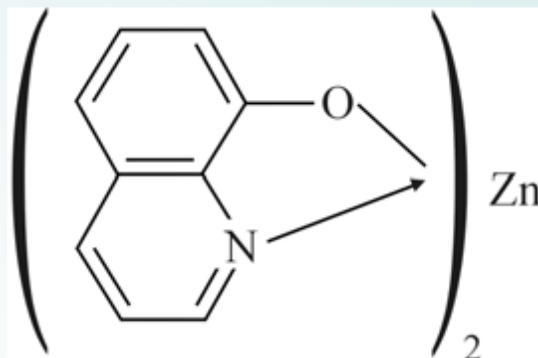
Ο φθορισμός
ευνοείται σε μόρια με άκαμπτη δομή.

Οι κβαντικές αποδόσεις του φλουρενίου
και του διφαινυλίου στις ίδιες συνθήκες
μέτρησης είναι περίπου 1,0 και 0,2,
αντίστοιχα.



Γεφύρωση με τη μεθυλενική ομάδα.

Η επίδραση της ακαμψίας θεωρείται υπεύθυνη και για την αύξηση του φθορισμού ορισμένων οργανικών συμπλεκτικών αντιδραστηρίων, όταν αυτά συνδέονται με ένα μεταλλικό ιόν.



8-Υδροξυκινολίνη

Επίδραση της θερμοκρασίας και του διαλύτη

Αύξηση του ρυθμού συγκρούσεων στις υψηλές θερμοκρασίες αυξάνει και την πιθανότητα αποδιέγερσης με **εξωτερική μετατροπή**.

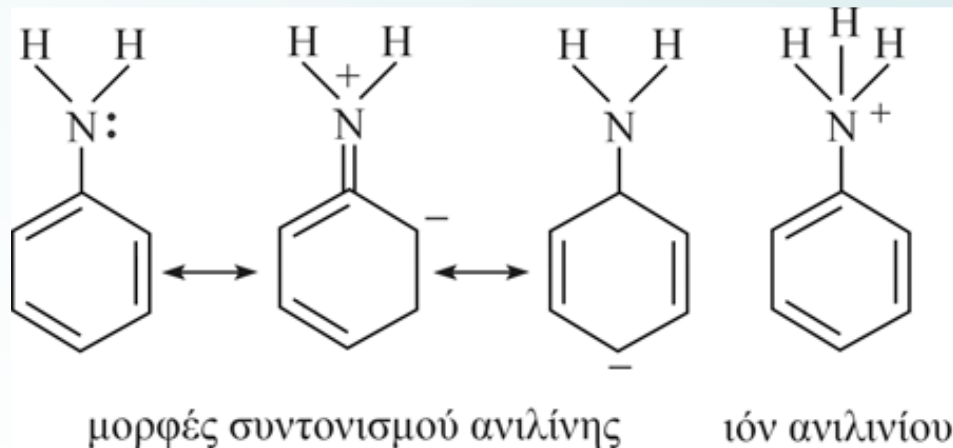
Μείωση του ιξώδους του διαλύτη οδηγεί στο ίδιο αποτέλεσμα (αυξάνει την πιθανότητα εμφάνισης εξωτερικής μετατροπής).

Άρα, **συνθήκες που ευνοούν τη μείωση του αριθμού κρούσεων μεταξύ των σωματιδίων (χαμηλή θερμοκρασία και υψηλό ιξώδες) οδηγούν σε ενίσχυση του φθορισμού**.

Επίδραση του pH στο φθορισμό

Ο φθορισμός μιας αρωματικής ένωσης με όξινους ή βασικούς υποκαταστάτες συνήθως εξαρτάται από το pH. Τόσο το μήκος κύματος όσο και η ένταση της εκπομπής μπορεί να είναι διαφορετικά για τον ιοντισμένο και μη ιοντισμένο τύπο της ένωσης. Οι αλλαγές στην εκπομπή αυτών των ενώσεων οφείλονται στον διαφορετικό αριθμό μορφών συντονισμού, τα οποία συνδέονται με την όξινη και βασική μορφή των μορίων.

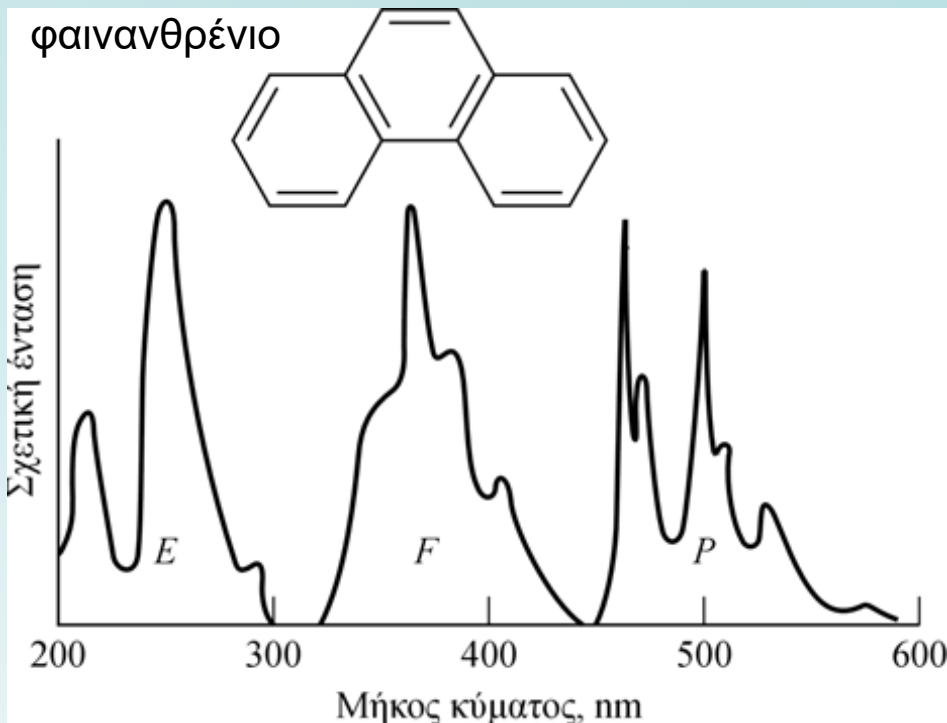
Η ανιλίνη παρουσιάζει διάφορες μορφές συντονισμού (οδηγούν σε σταθερότερη διηγερμένη απλή κατάσταση), ενώ το ιόν του ανιλινίου έχει μόνο μία.



Φάσματα διέγερσης και εκπομπής

Το **φάσμα διέγερσης (E)** λαμβάνεται με καταγραφή της έντασης της φωταύγειας σε καθορισμένο μήκος κύματος, ενώ μεταβάλλεται το μήκος κύματος της ακτινοβολίας διέγερσης. Είναι παρόμοιο με ένα φάσμα απορρόφησης το οποίο λαμβάνεται με τις ίδιες συνθήκες.

Τα **φάσματα φθορισμού και φωσφορισμού (F και P αντίστοιχα)**, λαμβάνονται με διέγερση σε καθορισμένο μήκος κύματος και καταγραφή της έντασης εκπομπής ως συνάρτηση του λ .



Η φωταύγεια εμφανίζεται σε μήκη κύματος μεγαλύτερα από αυτό της διέγερσης.

Επιπλέον,

οι κορυφές του φάσματος φωσφορισμού βρίσκονται, γενικά, σε μεγαλύτερα μήκη κύματος απ' ό,τι αυτές του φάσματος φθορισμού (η διεγερμένη τριπλή κατάσταση, στις περισσότερες περιπτώσεις, βρίσκεται ενεργειακά χαμηλότερα απ' ό,τι η απλή).

Επίδραση της συγκέντρωσης στην ένταση φθορισμού

Η ισχύς F της εκπομπής φθορισμού είναι ανάλογη προς την ισχύ ακτινοβολίας της δέσμης διέγερσης η οποία απορροφάται από το σύστημα. Δηλαδή είναι

$$F = K' (P_0 - P)$$

όπου P_0 είναι η ισχύς της δέσμης που προσπίπτει στο δείγμα και P η ισχύς της μετά από διαδρομή μήκους b μέσα στο υλικό. Η σταθερά K' εξαρτάται από την κβαντική απόδοση του μηχανισμού φθορισμού.

Για τη συσχέτιση του F με τη συγκέντρωση c της φθορίζουσας ουσίας, γράφουμε τον νόμο του Beer στη μορφή

$$\frac{P}{P_0} = 10^{-\epsilon bc}$$

όπου ϵbc είναι η απορρόφηση A του δείγματος

Επίδραση της συγκέντρωσης στην ένταση φθορισμού

Αντικαθιστώντας λαμβάνουμε $F = K' P_0 (1 - 10^{-\epsilon bc})$

Ισχύει: $10^{-\epsilon bc} = 10^{-A} = (e^{\ln 10})^{-A} = e^{-\epsilon bc \ln 10}$ και $e^x = 1 + \frac{x^1}{1!} + \frac{x^2}{2!} + \frac{x^3}{3!} + \dots$ (σειρά MacLaurin)

Ο εκθετικός όρος μπορεί να αναπτυχθεί, οπότε

$$F = K' P_0 \left[2,303 \epsilon bc - \frac{(2,303 \epsilon bc)^2}{2!} + \frac{(2,303 \epsilon bc)^3}{3!} - \dots \right]$$

Εφόσον, $\epsilon bc = A$ και εάν $A < 0,05$, όλοι οι όροι, μετά τον πρώτο, στις αγκύλες μπορούν να παραληφθούν ως πολύ μικροί (σφάλμα μικρότερο του 0,13%). Έτσι,

$$F = 2,303 K' \epsilon bc P_0$$

και για σταθερή τιμή P_0 $F = K c$

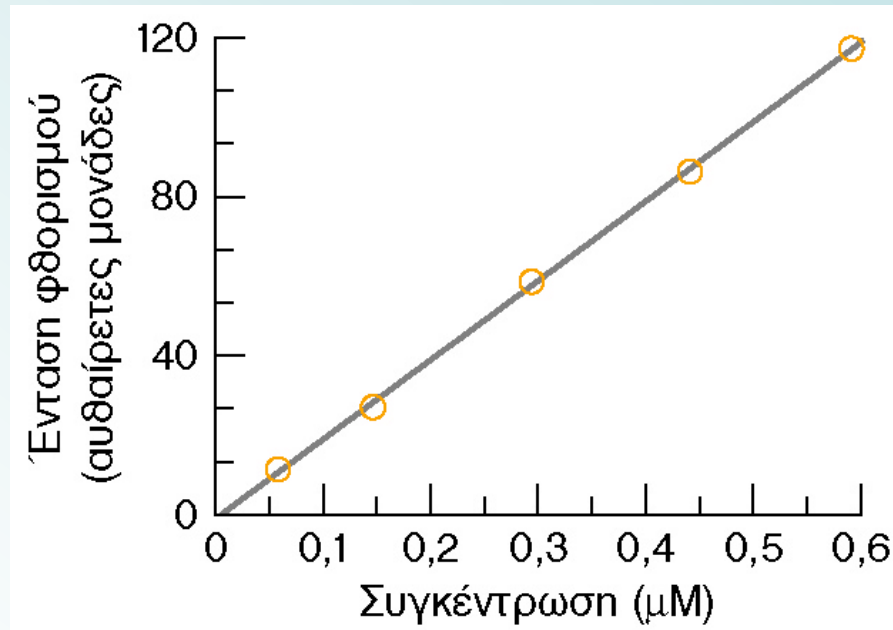
Απόσβεση: η διαδικασία κατά την οποία η εκπομπή από ένα διεγερμένο μόριο μειώνεται μέσω της μεταφοράς ενέργειας σε κάποιο άλλο μόριο, τον αποσβέστη (π.χ. το μήκος κύματος εκπομπής επικαλύπτει μια κορυφή απορρόφησης άλλων μορίων κι επαναπορροφάται).

Αυτοαπόσβεση: οφείλεται σε συγκρούσεις μεταξύ των διεγερμένων μορίων, οπότε μεταφέρεται ενέργεια στα μόρια του διαλύτη χωρίς εκπομπή ακτινοβολίας. Αυξάνει με τη συγκέντρωση επειδή αυξάνει η πιθανότητα συγκρούσεων.

Αυτοαπορρόφηση: απορρόφηση της ενέργειας εκπομπής από τα μόρια του ίδιου του αναλύτη.

Φθορισμομετρικός προσδιορισμός οργανικών ενώσεων

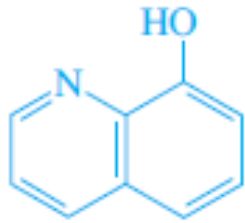
Οι φθορισμομετρικές μέθοδοι, γενικά, είναι κατά μία έως τρεις τάξεις μεγέθους πιο ευαίσθητες από τις αντίστοιχες μεθόδους μοριακής απορρόφησης.



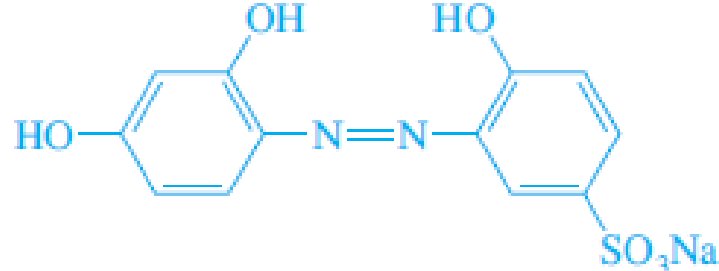
Γραμμική καμπύλη βαθμονόμησης για τον φθορισμό του ανδρακενίου, μετρούμενη στο μήκος κύματος μέγιστου φθορισμού

Φθορισμομετρικός προσδιορισμός ανόργανων ενώσεων

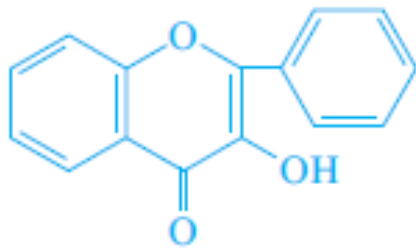
άμεσες μέθοδοι: περιλαμβάνουν τον σχηματισμό μιας φθορίζουσας χηλικής ένωσης και τη μέτρηση της εκπομπής της.



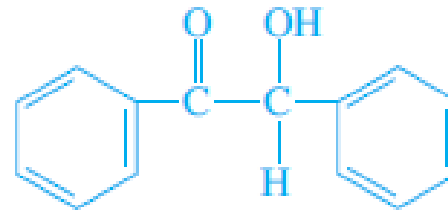
8-υδροξυκινολίνη
(αντιδραστήριο για Al, Be
και άλλα μεταλλικά ιόντα)



γρανάτης (garnet) αλιζαρίνης R
(αντιδραστήριο για Al, F⁻)



φλαβανόλη
(αντιδραστήριο για Zr και Sn)



βενζοΐνη
(αντιδραστήριο για B, Zn, Ge, και Si)

Έχουν αρωματική δομή με δύο ή και περισσότερες δραστικές ομάδες-δότες, οι οποίες επιτρέπουν τον σχηματισμό χηλικών ενώσεων με μεταλλικά ιόντα.

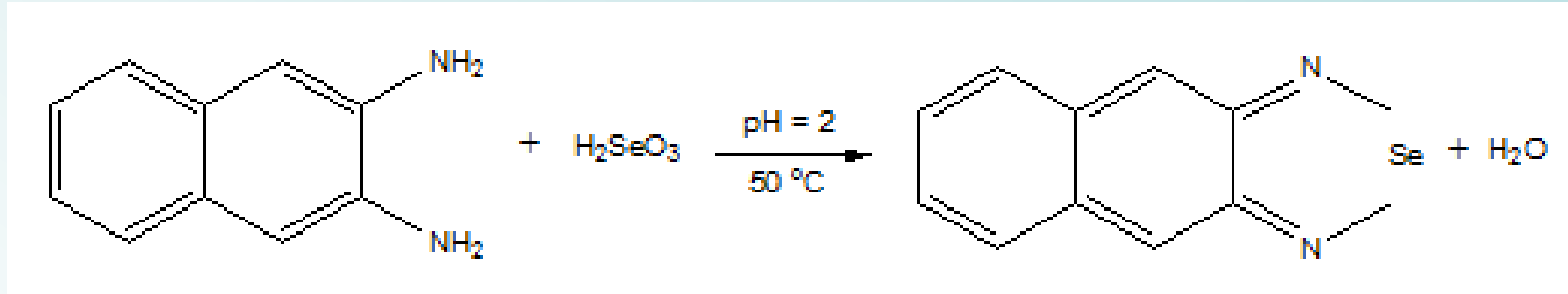
έμμεσες μέθοδοι: βασίζονται στη μείωση φθορισμού οφειλόμενη στην **απόσβεση** που ασκεί μία προσδιοριζόμενη ουσία.

Φθορισμομετρικός προσδιορισμός ανόργανων ενώσεων

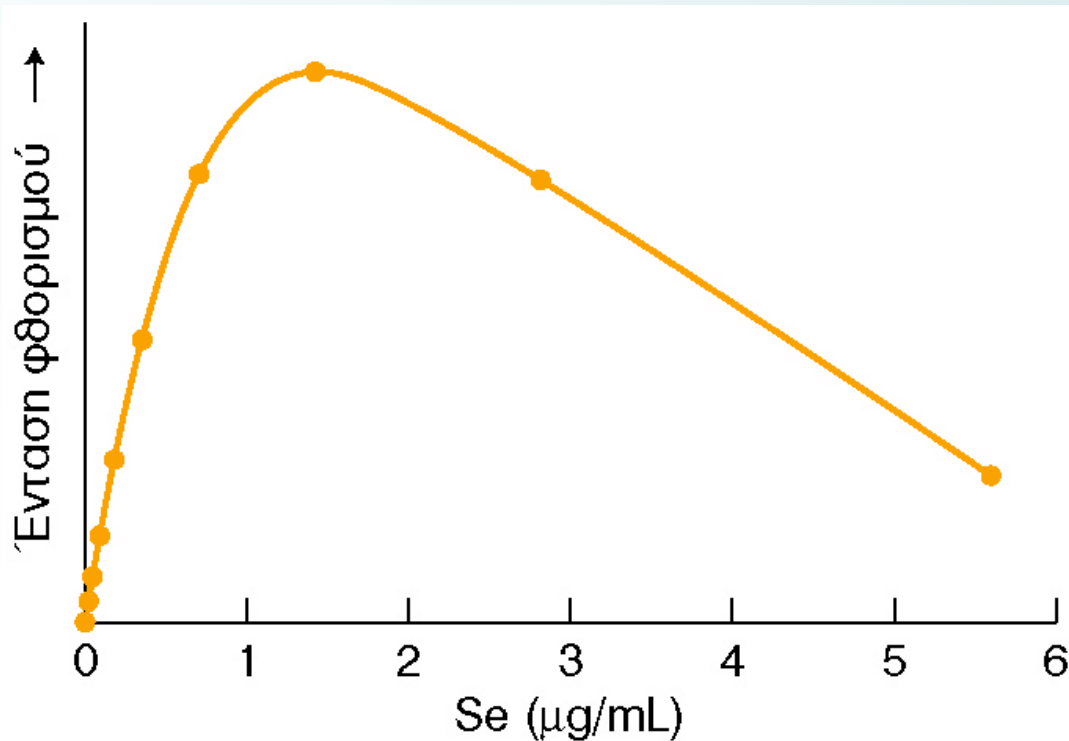
Ιόν	Αντιδραστήριο	Μήκος κύματος, nm		LOD, $\mu\text{g/mL}$	Παρεμπόδιση
		Απορρόφηση	Φθορισμός		
Al^{3+}	Αλιζαρίνη R	470	500	0,007	Be, Co, Cr, Cu, F^- , NO_3^- , Ni, PO_4^{3-} , Th, Zr
F^-	Σύμπλοκο Al-αλιζαρίνης R (απόσβεση φθορισμού)	470	500	0,001	Be, Co, Cr, Cu, Fe, Ni, PO_4^{3-} , Th, Zr
$\text{B}_4\text{O}_7^{2-}$	Βενζοΐνη	370	450	0,04	Be, Sb
Cd^{2+}	2-(ο-υδροξυφαινυλοβεν- ζοξαζόλιο)	365	Κυανός	2	NH_3
Li^+	8-υδροξικινολίνη	370	580	0,2	Mg
Sn^{4+}	Φλαβανόλη	400	470	0,1	F^- , PO_4^{3-} , Zr
Zn^{2+}	Βενζοΐνη	–	Πράσινος	10	B, Be, Sb, έγχρωμα ιόντα

Φθορισμομετρικός προσδιορισμός σεληνίου

Το σεληνικό οξύ (H_2SeO_4) ανάγεται σε σεληνιώδες (H_2SeO_3) με υδροξυλαμίνη (NH_2OH). Το σεληνιώδες οξύ **παραγωγοποιείται** σε προϊόν που φθορίζει και εκχυλίζεται σε κυκλοεξάνιο.



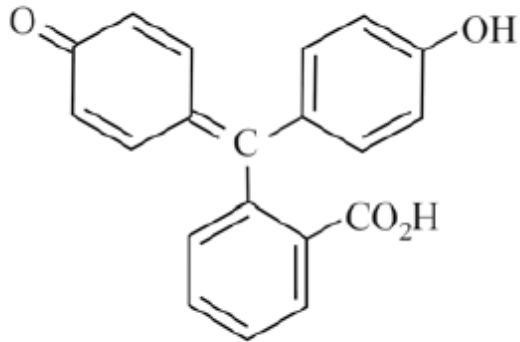
Φθορίζον προϊόν: λ_{ex} : 378 nm, λ_{em} : 518 nm. Περιορισμένη γραμμικότητα.



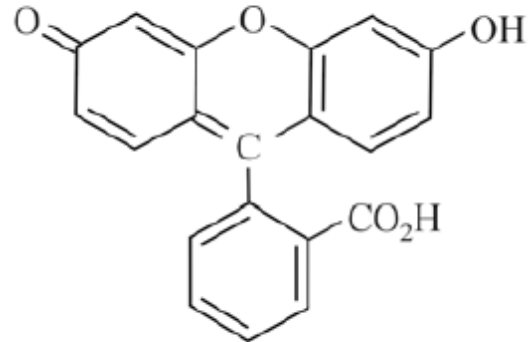
Καμπύλη βαθμονόμησης φθορισμού για το προϊόν που περιέχει σελήνιο. Η καμπυλότητα και το μέγιστο οφείλονται στην αυτοαπορρόφηση.

Ερώτηση

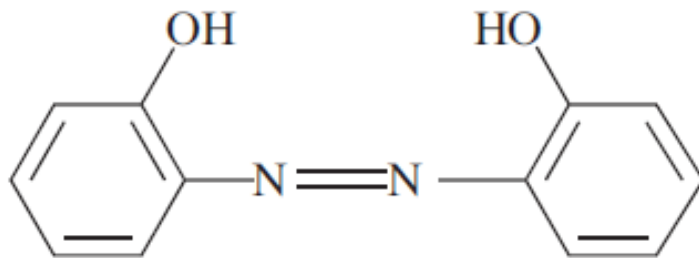
Ποια από τις παρακάτω ενώσεις είναι πιθανότερο να έχει μεγαλύτερη κβαντική απόδοση φθορισμού; Να δοθεί ερμηνεία.



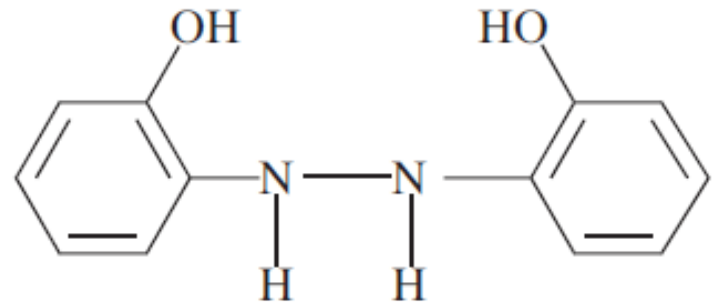
φαινολοφθαλεΐνη



φλουοροσκεΐνη



ο,ο'διυδροόξυ-αζωβενζόλιο



δι(ο-υδροξυφαινυλο) υδραζίνη

Φθορισμομετρία vs Φασματομετρία μοριακής απορρόφησης

Που οφείλεται η αυξημένη ευαισθησία της φθορισμομετρίας?

Στην παράμετρο F που είναι ευθέως ανάλογη με την ισχύ P_0 της ακτινοβολίας της πηγής.

$$F = 2,3K' \epsilon bcP_0$$

Η ευαισθησία μιας φθορισμομετρικής μεθόδου **μπορεί να βελτιωθεί με αύξηση του P_0 .**

Αντίθετα, μια μέτρηση απορρόφησης απαιτεί τη μέτρηση τόσο της P_0 όσο και της P , επειδή η απορρόφηση, που είναι ανάλογη της συγκέντρωσης, εξαρτάται από τον λόγο αυτών των δύο ποσοτήτων.

Οι φθορισμομετρικές μέθοδοι δείχνουν αυξημένη εκλεκτικότητα έναντι των μεθόδων μοριακής απορρόφησης. Δεν υπάρχουν τόσα πολλά μόρια που να εκπέμπουν σημαντική φωταύγεια σε σχέση με αυτά που απορροφούν ακτινοβολία.

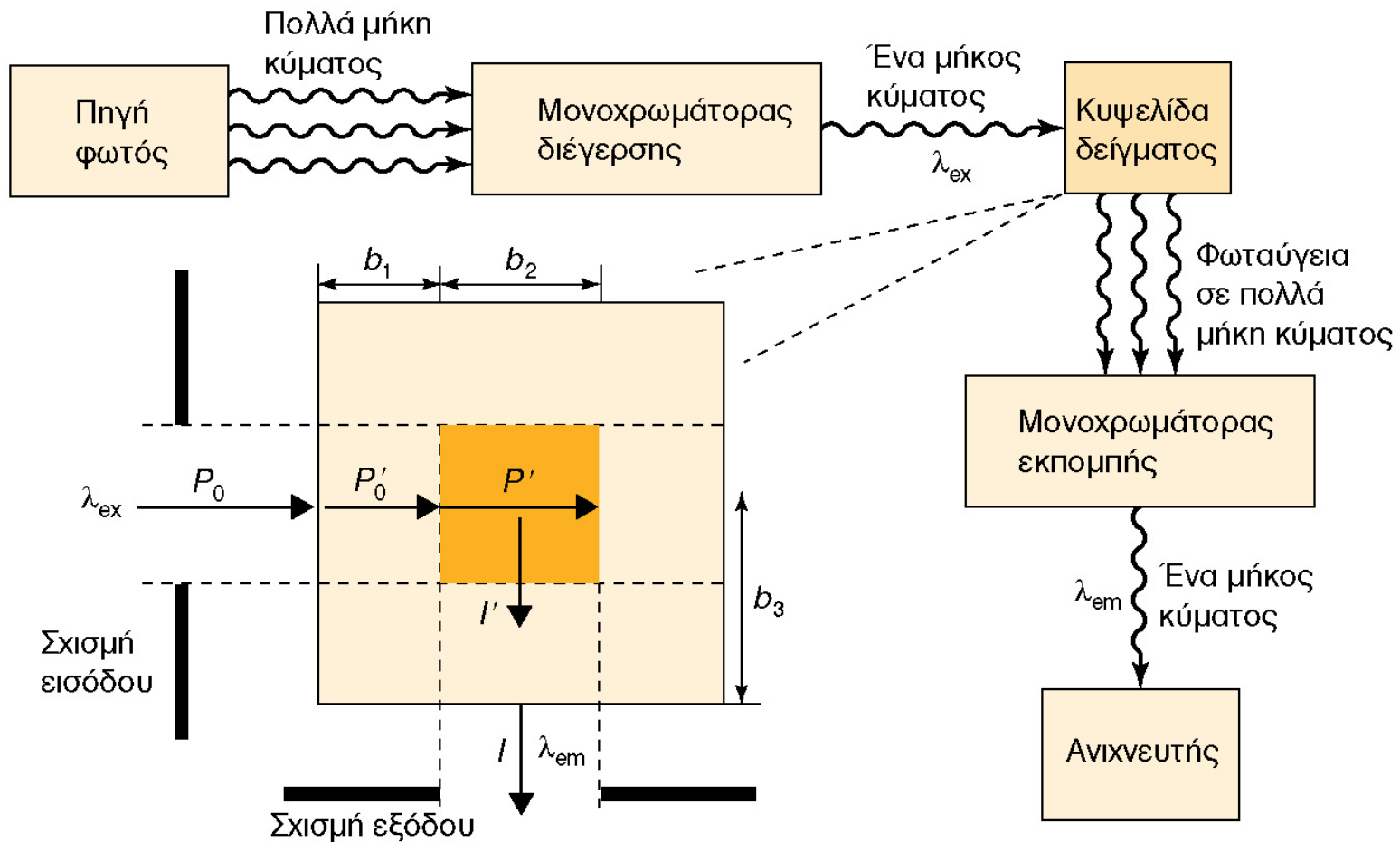
Επίσης, κατά τις μετρήσεις, μπορούν να μεταβληθούν τα μήκη κύματος τόσο της ακτινοβολίας διέγερσης όσο και της εκπομπής.

ΟΡΓΑΝΑ ΓΙΑ ΤΗ ΜΕΤΡΗΣΗ ΤΟΥ ΦΘΟΡΙΣΜΟΥ ΚΑΙ ΤΟΥ ΦΩΣΦΟΡΙΣΜΟΥ

Ο φθορισμός εκπέμπεται από το δείγμα προς όλες τις κατευθύνσεις αλλά παρατηρείται σε γωνία 90° ως προς την ακτινοβολία διέγερσης, διότι **σε άλλες γωνίες παρουσιάζεται αυξημένη σκέδαση από το διάλυμα και τα τοιχώματα της κυψελίδας καθώς και ακτινοβολία από την πηγή.**

Η σκέδαση μπορεί να προκαλέσει μεγάλα σφάλματα στη μέτρηση της έντασης.

Η εκπεμπόμενη ακτινοβολία φθάνει στον φωτομεταλλάκτη μετά τη διέλευσής της από ένα δεύτερο φίλτρο ή μονοχρωμάτορα, ο οποίος απομονώνει τον μετρούμενο φθορισμό.



Τμήματα των φθορισμομέτρων και των φασματοφθορισμομέτρων

Τα τμήματα των φθορισμομέτρων και φασματοφθορισμομέτρων διαφέρουν από αυτά των φωτομέτρων και φασματοφωτομέτρων μόνο στις λεπτομέρειες.

Πηγές

Στις περισσότερες εφαρμογές, απαιτείται πηγή μεγαλύτερης έντασης από αυτήν που παρέχεται από τις λυχνίες βολφραμίου ή υδρογόνου των φασματοφωτομέτρων. Διότι,

$$F = 2,3K' \varepsilon bcP_0$$

όπου P_0 η ισχύς της πηγής

Λυχνίες. Λυχνία ατμών υδραργύρου χαμηλής πίεσης με παράθυρο χαλαζία. Η πηγή αυτή παράγει χρήσιμες γραμμές διέγερσης φθορισμού στα 254, 302, 313, 546, 578, 691 και 773 nm. (Μεμονωμένες γραμμές μπορούν να επιλεγούν με κατάλληλα φίλτρα συμβολής).

Στα φασματοφθορισμόμετρα, όπου απαιτείται συνεχής ακτινοβολία, χρησιμοποιείται λυχνία εκκένωσης που περιέχει, αέριο Xe σε υψηλή πίεση και λειτουργεί σε ισχύ 75-450 W. Το φάσμα τη λυχνίας εκκένωσης Xe είναι συνεχές στην περιοχή 300 έως 1300 nm.

Οι *πηγές λέιζερ* προσφέρουν σημαντικά πλεονεκτήματα σε ορισμένες περιπτώσεις:

- (1) όταν τα δείγματα είναι πολύ μικρά, όπως στη χρωματογραφία στήλης μικρής διαμέτρου και στην τριχοειδή ηλεκτροφόρηση, όπου ο όγκος του δείγματος είναι ένα μικρόλιτρο ή και λιγότερο
- (2) στις μετρήσεις από απόσταση, όπως στη φθορισμομετρική ανίχνευση ριζών υδροξυλίου στην ατμόσφαιρα ή χλωροφύλλης σε υδάτινες μάζες, όπου σημασία έχει η ικανότητα κατεύθυνσης των δεσμών λέιζερ και
- (3) όταν απαιτείται υψηλός βαθμός μονοχρωματικότητας για περιορισμό των παρεμποδίσεων από άλλες φθορίζουσες ενώσεις.

Φίλτρα και μονοχρωμάτορες

Για την επιλογή του μήκους κύματος της ακτινοβολίας διέγερσης και της ακτινοβολίας εκπομπής φθορισμού έχουν χρησιμοποιηθεί φίλτρα απορρόφησης και φίλτρα συμβολής. Πολλά φασματοφθορισμόμετρα είναι εφοδιασμένα με έναν τουλάχιστον και τις περισσότερες φορές με δύο μονοχρωμάτορες φράγματος.

Μεταλλάκτες

Ένα τυπικό σήμα φθορισμού είναι συνήθως χαμηλής έντασης και για τον λόγο αυτό οι συνηθέστεροι τύποι μεταλλακτών στα ευαίσθητα φθορισμόμετρα είναι οι φωτοπολλαπλασιαστές.

Κυψελίδες και διαμερίσματα κυψελίδων

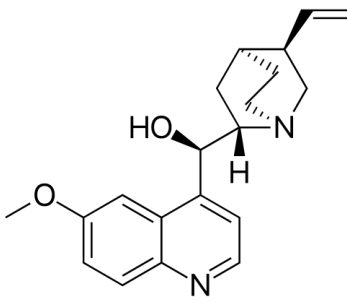
Για τη μέτρηση του φθορισμού χρησιμοποιούνται κυλινδρικές ή τετραγωνικής τομής κυψελίδες, που κατασκευάζονται από ύαλο ή χαλαζία.

Ιδιαίτερη προσοχή απαιτείται κατά τον σχεδιασμό των διαμερισμάτων κυψελίδων, ώστε να μειώνεται το ποσοστό της σκεδαζόμενης ακτινοβολίας που φθάνει στον ανιχνευτή.

ΠΑΡΑΔΕΙΓΜΑ

Για τη μέτρηση της συγκέντρωσης της κινίνης σε ένα εμπορικά διαθέσιμο ποτό, επιλέγεται η φθορισμομετρική μέθοδος. Το μήκος κύματος διέγερσής της είναι 350 nm και το μήκος κύματος για τη λήψη των μετρήσεων είναι 450 nm. Από ένα διάλυμα κινίνης A, συγκέντρωσης 0,1 mg/L, παρασκευάζεται μια σειρά προτύπων διαλυμάτων τελικού όγκου 20 mL σε 0,05 M H_2SO_4 , για τη χάραξη μιας καμπύλης βαθμονόμησης.

Solution	Volume of A	Fluorescence (arb. units)	H_2SO_4 0.05 M
Standard 1	20	182	0
Standard 2	16	138.8	4
Standard 3	12	109.2	8
Standard 4	8	75.8	12
Standard 5	4	39.5	16
Blank	0	0	20



The chemical structure of quinine is shown, featuring a quinoline ring system with a methoxy group at the 6-position, a hydroxyl group at the 4-position, and a quinuclidine ring system at the 8-position. The quinuclidine ring has a vinyl group at the 8-position and a hydrogen atom at the 1-position.

Λαμβάνονται 0,1 mL από το αρχικό δείγμα (ποτό) κι αραιώνονται στα 100 mL με 0,05 M H_2SO_4 . Η τιμή του σήματος αυτού του διαλύματος είναι 113.

(α) Χρησιμοποιώντας τα ελάχιστα τετράγωνα, να υπολογιστεί η εξίσωση της καμπύλης βαθμονόμησης.

(β) Ποια είναι η συγκέντρωση της κινίνης σε g/L και ppm;

(γ) Γιατί μπορεί να χρησιμοποιηθεί ένα φθορισμόμετρο αντί για ένα φασματοφθορισμόμετρο στην ανάλυση;

ΑΠΑΝΤΗΣΗ

(α) Τα πέντε πρότυπα (1 έως 5) αντιστοιχούν στις ακόλουθες συγκεντρώσεις C (σε mg/L):

(1) = 0,1, (2) = 0,08, (3) = 0,06, (4) = 0,04, (5) = 0,02.

Από αυτές τις τιμές προσδιορίζεται, με τη μέθοδο ελαχίστων τετραγώνων, η εξίσωση της καμπύλης βαθμονόμησης:

$$F = 1773 C + 2,22$$

(β) Το δείγμα ποτού του οποίου ο φθορισμός είναι 113, μετά από αραίωση με έναν παράγοντα 1000 αντιστοιχεί σε μια υπολογισμένη συγκέντρωση $6,25 \times 10^{-5}$ g/L. Το μη-αραιωθέν ποτό, έχει συγκέντρωση $6,25 \times 10^{-2}$ g/L που είναι (περίπου) 62,5 ppm.

(γ) Όταν ακολουθούμε κάποιο πρωτόκολλο, πραγματοποιούμε τις μετρήσεις του φθορισμού σε ένα σταθερό μήκος κύματος που καθιστά τη λήψη του φάσματος περιττή.

Το φαινόμενο της χημειοφωταύγειας

Πυγολαμπίδες, μέδουσες που λάμπουν και φωτεινές ράβδοι. Το ένα πετάει, το άλλο ζει στο βυθό των ωκεανών και το τελευταίο προσφέρει διασκέδαση στα νυχτερινά κέντρα. Πώς σχετίζονται μεταξύ τους; Η απάντηση βρίσκεται σε κάποιες (περίεργες!) χημικές αντιδράσεις που παράγουν φως.



Τι είναι η Χημειοφωταύγεια?

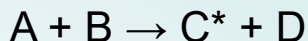
παράγεται όταν μια χημική αντίδραση παράγει ένα **ηλεκτρονικά διεγερμένο σωματίδιο** το οποίο εκπέμπει φως κατά την επιστροφή του στη βασική κατάσταση ή όταν μεταφέρει την ενέργειά του σε ένα άλλο σωματίδιο, το οποίο παράγει εκπομπή φωτός.

Αντιδράσεις φωταύγειας συναντώνται σε μεγάλο αριθμό βιολογικών συστημάτων, όπου το φαινόμενο καλείται **βιοφωταύγεια** (bioluminescence).

Χημειοφωταύγεια

Αρκετές και σχετικά απλές οργανικές ενώσεις παρουσιάζουν χημειοφωταύγεια.

Παραγωγή χημειοφωταύγειας:



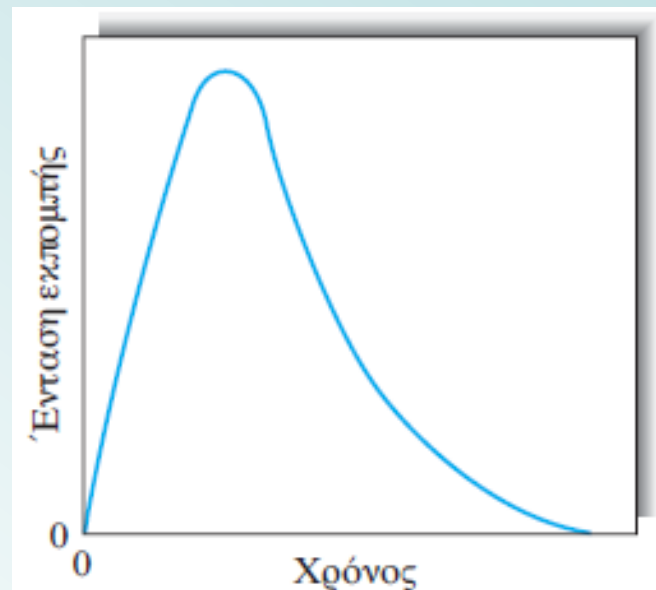
C^* : διεγερμένη κατάσταση του σωματιδίου C. Το φάσμα φωταύγειας είναι αυτό του προϊόντος της αντίδρασης C.

Μέτρηση της χημειοφωταύγειας

Είναι απλή, μπορεί να αποτελείται μόνο από ένα κατάλληλο δοχείο αντίδρασης κι έναν φωτοπολλαπλασιαστή. Δεν απαιτείται κανένα σύστημα επιλογής μήκους κύματος επειδή η μόνη πηγή ακτινοβολίας είναι η χημική αντίδραση μεταξύ του αναλύτη και του αντιδραστήριου.

Το σήμα συνήθως ολοκληρώνεται μεταξύ καθορισμένων χρονικών ορίων και συγκρίνεται με αυτό που λαμβάνεται με πρότυπα, τα οποία υφίστανται ανάλογη επεξεργασία.

Πολύ συχνά παρατηρείται γραμμική σχέση μεταξύ του σήματος και της συγκέντρωσης για περιοχή μερικών τάξεων μεγέθους.

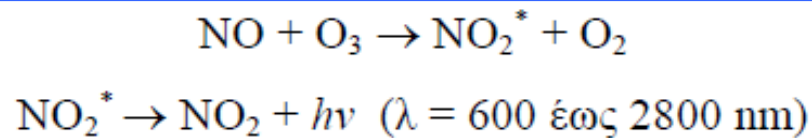


Τυπικό αναλυτικό σήμα. Ανυψώνεται ταχύτατα και φθάνει ένα μέγιστο, ενώ συμπληρώνεται η ανάμιξη του αντιδραστήριου με τον αναλύτη.

Εφαρμογές Χημειοφωταύγειας

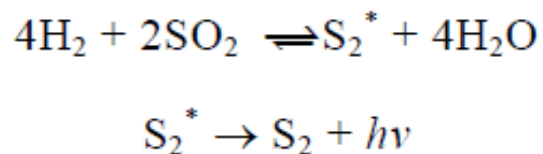
- Προσδιορισμός μονοξειδίου του αζώτου, σύμφωνα με την αντίδραση:

Η μέθοδος έχει εξελιχθεί στη σπουδαιότερη τεχνική για τον έλεγχο της συγκέντρωσης αυτού του σημαντικού ατμοσφαιρικού ρύπου.



- Προσδιορισμός ατμοσφαιρικών θειούχων ενώσεων όπως το υδρόθειο, το διοξείδιο του θείου και οι μερκαπτάνες.

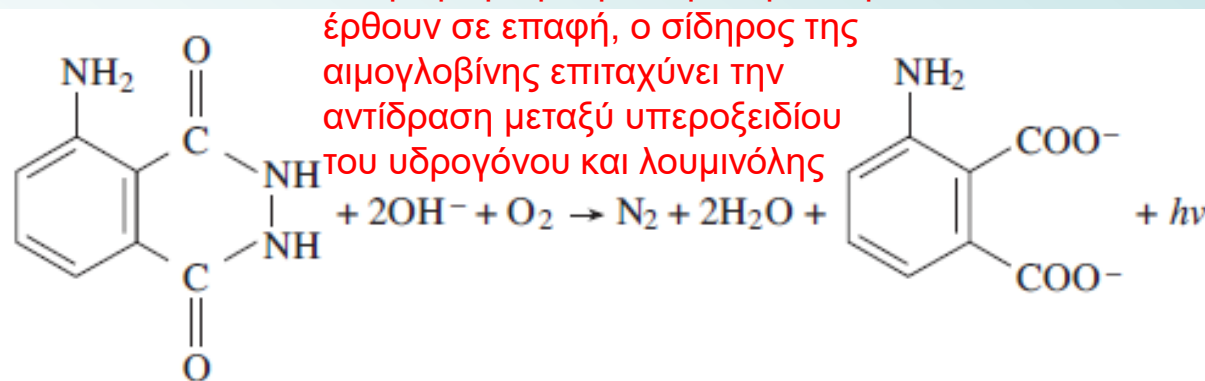
Το δείγμα καίγεται σε φλόγα υδρογόνου και σχηματίζεται διμερές θείο, το οποίο αποδιεγείρεται με σύγχρονη εκπομπή φωτός.



Εκπομπή ακτινοβολίας στην κυανή περιοχή με κορυφές στα 384 και 394 nm.

- Λουμινόλη: αντιδρά με οξυγόνο, υπεροξειδίο του υδρογόνου και πολλά άλλα ισχυρά οξειδωτικά αντιδραστήρια και παράγονται χημειοφωταυγάζοντα προϊόντα οξείδωσης.

Συχνά απαιτείται καταλύτης. Η παραγόμενη εκπομπή αντιστοιχεί στο φάσμα εκπομπής του 3-αμινο-φθαλικού οξέος, με κεντρική κορυφή στα 425 nm.

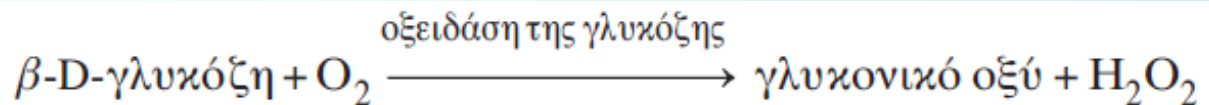
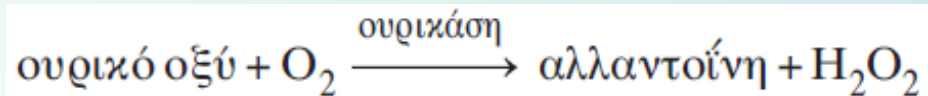


Προσδιορισμοί οργανικών ουσιών

Για την αύξηση της εκλεκτικότητας της αντίδρασης χημειοφωταύγειας και την επέκταση της εφαρμογής της τεχνικής σε αναλύτες που δεν εμπλέκονται άμεσα σε αντιδράσεις χημειοφωταύγειας,

προηγείται μια ενζυματική αντίδραση, στην οποία συμμετέχει ο αναλύτης κι ένα από τα προϊόντα της είναι ανιχνεύσιμο με χημειοφωταύγεια.

Στο αρχικό στάδιο χρησιμοποιούνται οξειδάσες που παράγουν H_2O_2 . Το H_2O_2 μπορεί να προσδιορισθεί με διάφορα χημειοφωταυγάζοντα συστήματα.



Η λουμινόλη με μια υπεροξειδάση ως καταλύτη, φαίνεται να είναι το καλύτερο σύστημα για τον προσδιορισμό του H_2O_2 .

Σε 100 ms επιτυγχάνεται το μέγιστο της έντασης της χημειοφωταύγειας σε υδατικό διάλυμα.

ΟΠΤΙΚΗ ΑΤΟΜΙΚΗ ΦΑΣΜΑΤΟΜΕΤΡΙΑ

- θεωρητική συζήτηση των πηγών και των ιδιοτήτων των οπτικών ατομικών φασμάτων.
- τεχνικές ατομοποίησης δειγμάτων για στοιχειακή ανάλυση.
- τεχνικές εισαγωγής δειγμάτων στους ατομοποιητές, που χρησιμοποιούνται στη φασματομετρία οπτικής απορρόφησης και εκπομπής.

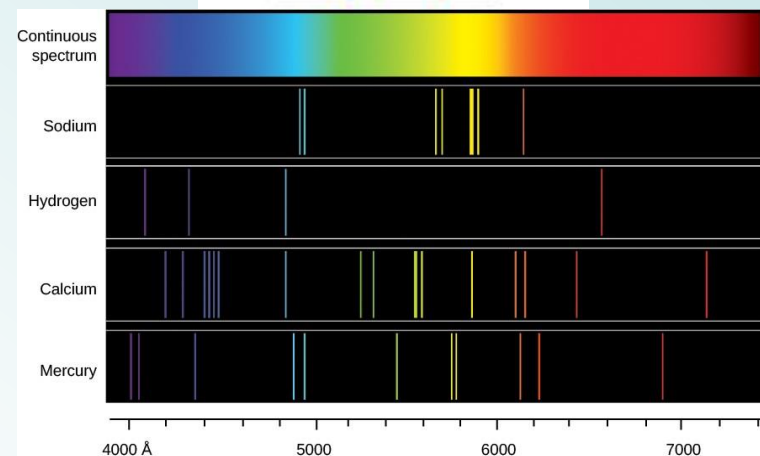
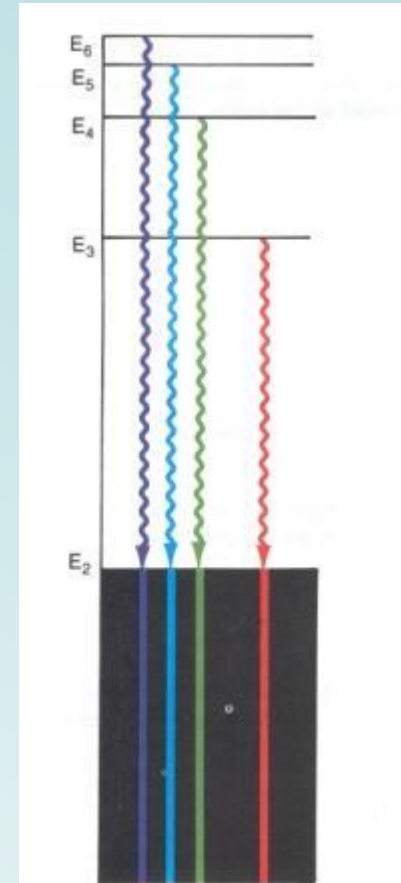
Ατομικά φάσματα

Όταν εφαρμόσουμε ορισμένη τάση σε γυάλινο σωλήνα που περιέχει αέριο σε χαμηλή πίεση (όπως στις διαφημιστικές λυχνίες νέου), τότε θα παρατηρήσουμε ότι το αέριο εκπέμπει φως. Αν το φως αυτό αναλυθεί (όταν, για παράδειγμα, περάσει μέσα από ένα πρίσμα), τότε θα παρατηρήσουμε μια σειρά από φωτεινές γραμμές. Κάθε γραμμή αντιστοιχεί σε ένα διαφορετικό μήκος κύματος ή χρώμα.

Η σειρά των γραμμών που παρατηρούνται ονομάζεται **γραμμωτό φάσμα** εκπομπής του αερίου. Τα μήκη κύματος που περιέχει το γραμμωτό φάσμα εκπομπής είναι χαρακτηριστικά του στοιχείου που εκπέμπει το φως.

Το σύνολο των μηκών κύματος που εκπέμπουν τα άτομα ενός αερίου ονομάζεται **φάσμα εκπομπής**. Μπορούμε να αναγκάσουμε τα άτομα ενός αερίου να εκπέμψουν τα χαρακτηριστικά τους χρώματα.

Δεν υπάρχουν δύο διαφορετικά στοιχεία που να έχουν το ίδιο φάσμα εκπομπής. Το δεδομένο αυτό μπορεί να χρησιμοποιηθεί για τον προσδιορισμό των στοιχείων που περιέχονται σε μια ουσία. Δηλαδή, **το γραμμωτό φάσμα παίζει το ρόλο του δακτυλικού αποτυπώματος.**



Ατομικά φάσματα εκπομπής

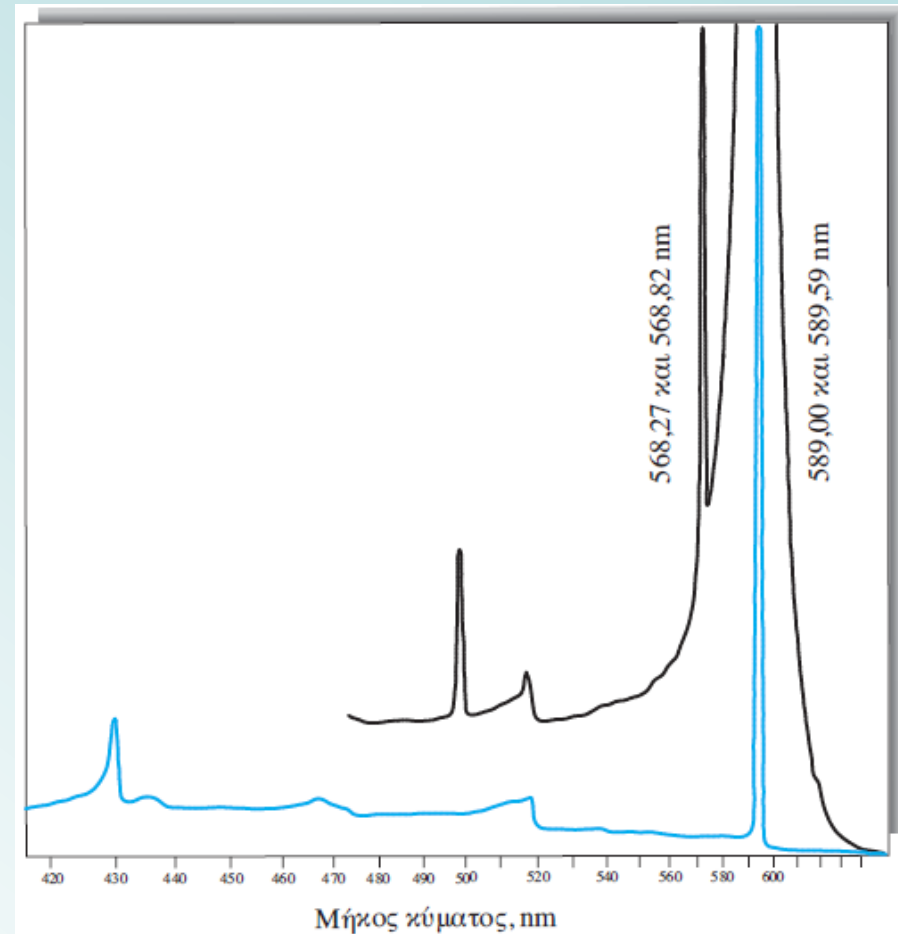
Στη θερμοκρασία δωματίου, όλα τα άτομα μιας ουσίας βρίσκονται στη βασική κατάσταση.

Το μονήρες εξωτερικό ηλεκτρόνιο του ατόμου νατρίου καταλαμβάνει στις συνθήκες αυτές το τροχιακό 3s.

Είναι δυνατόν το ηλεκτρόνιο αυτό να διεγερθεί σε υψηλότερα τροχιακά (Ωστόσο, ο χρόνος ζωής του διεγερμένου ατόμου είναι μικρός και αυτό επιστρέφει στη βασική κατάσταση με εκπομπή ενός φωτονίου ακτινοβολίας).

Οι δυο γραμμές στα 5890 και 5896 Å είναι από τις πλέον έντονες και ευθύνονται για το **κίτρινο χρώμα** που παρατηρείται όταν σε μια φλόγα εισαχθούν άλατα νατρίου.

Η διακριτική ικανότητα του μονοχρωμάτορα που χρησιμοποιήθηκε για τη λήψη του φάσματος, δεν επαρκεί για τον διαχωρισμό αυτών των κορυφών. Οι δύο γραμμές οφείλονται σε **μεταπτώσεις μεταξύ διεγερμένων ηλεκτρονιακών καταστάσεων και της βασικής**.

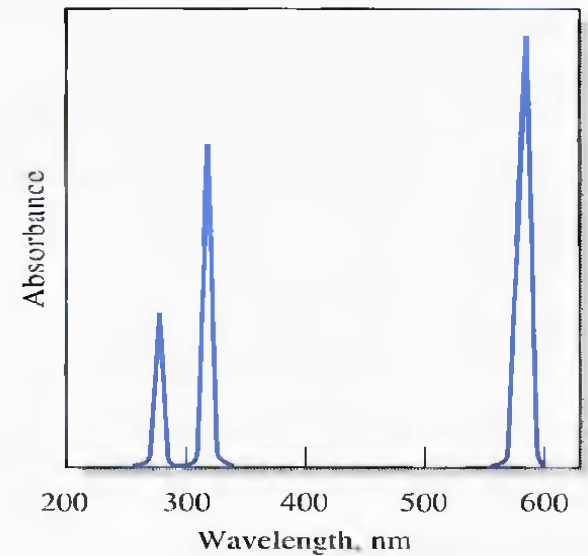


Τμήμα φάσματος εκπομπής φλόγας για το νάτριο.

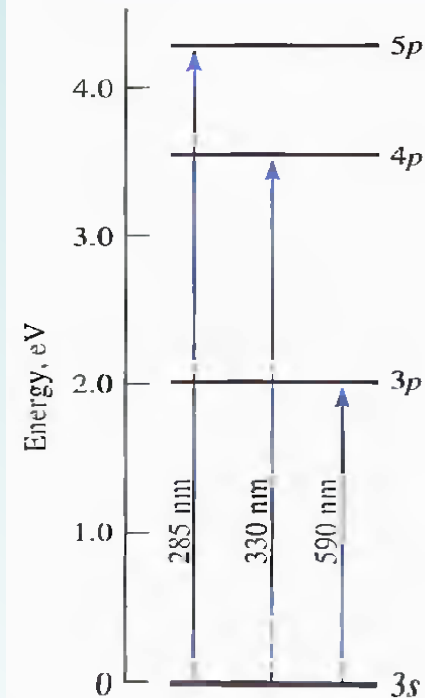
Φάσματα ατομικής απορρόφησης

Σε θερμή αέρια κατάσταση, τα άτομα του νατρίου είναι ικανά να **απορροφούν** ακτινοβολία μηκών κύματος χαρακτηριστικών των ηλεκτρονιακών μεταπτώσεων από την κατάσταση $3s$ σε υψηλότερα διεγερμένες καταστάσεις.

Έτσι, παρατηρούνται οξείες κορυφές απορρόφησης στα 590, 330 και 285 nm.



(a)



(b)

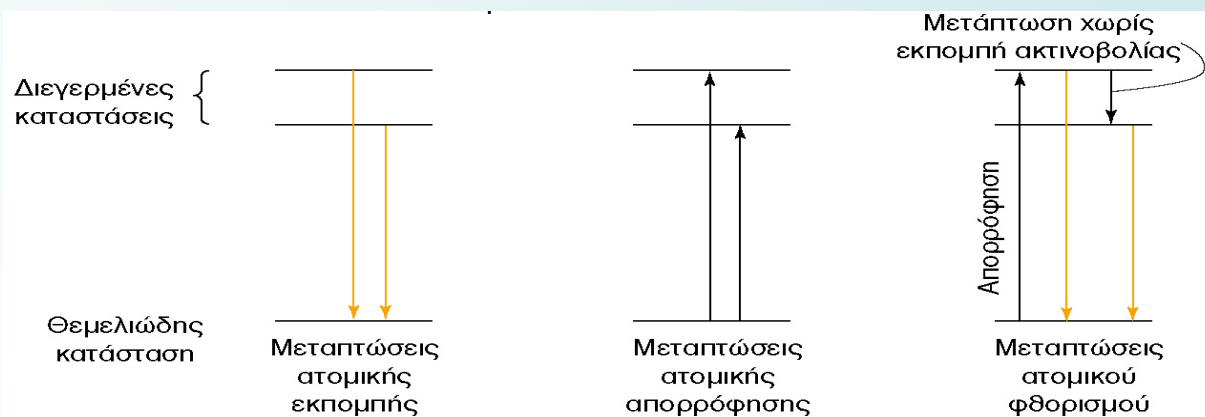
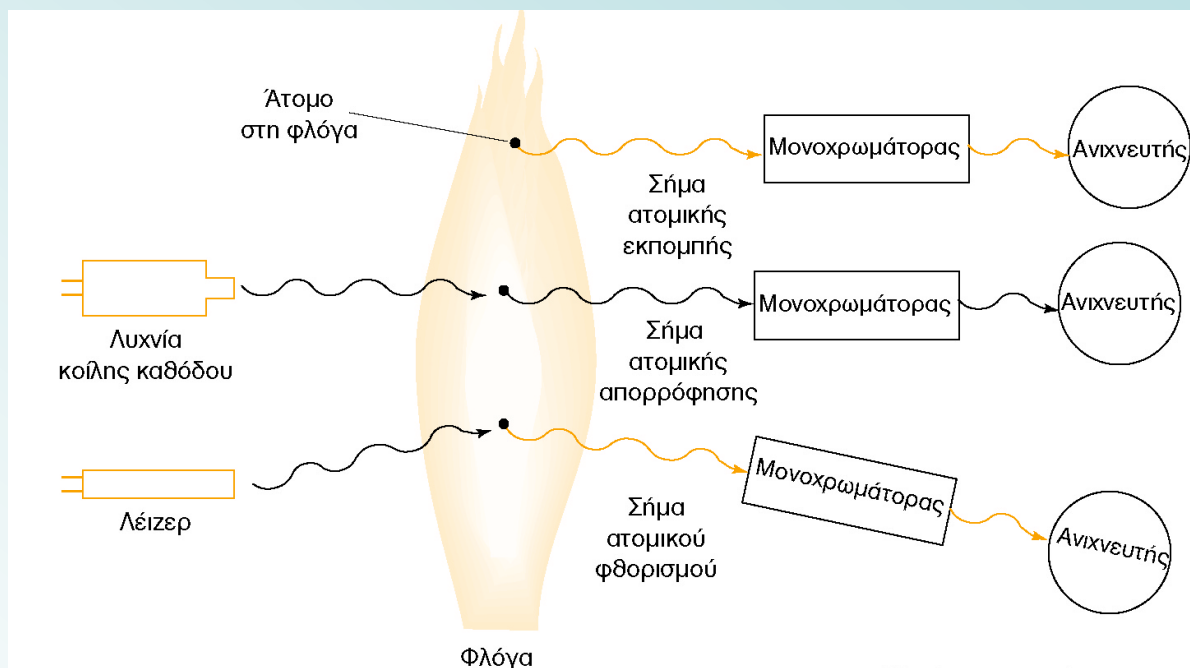
Στην ατομική φασματοσκοπία, τα δείγματα εξαερώνονται στους 2000-8000 K και σχηματίζονται άτομα. Η συγκέντρωση των ατόμων στην αέρια φάση μετράται με εκπομπή ή απορρόφηση ακτινοβολίας χαρακτηριστικών μηκών κύματος.

Λόγω της μεγάλης ευαισθησίας και της ικανότητας διάκρισης μεταξύ των στοιχείων σε πολύπλοκα δείγματα, της δυνατότητας ταυτόχρονης πολυστοιχειακής ανάλυσης και της αυτοματοποιημένης μέτρησης πολλών δειγμάτων, η ατομική φασματοσκοπία είναι βασικό εργαλείο στην ανάλυση.

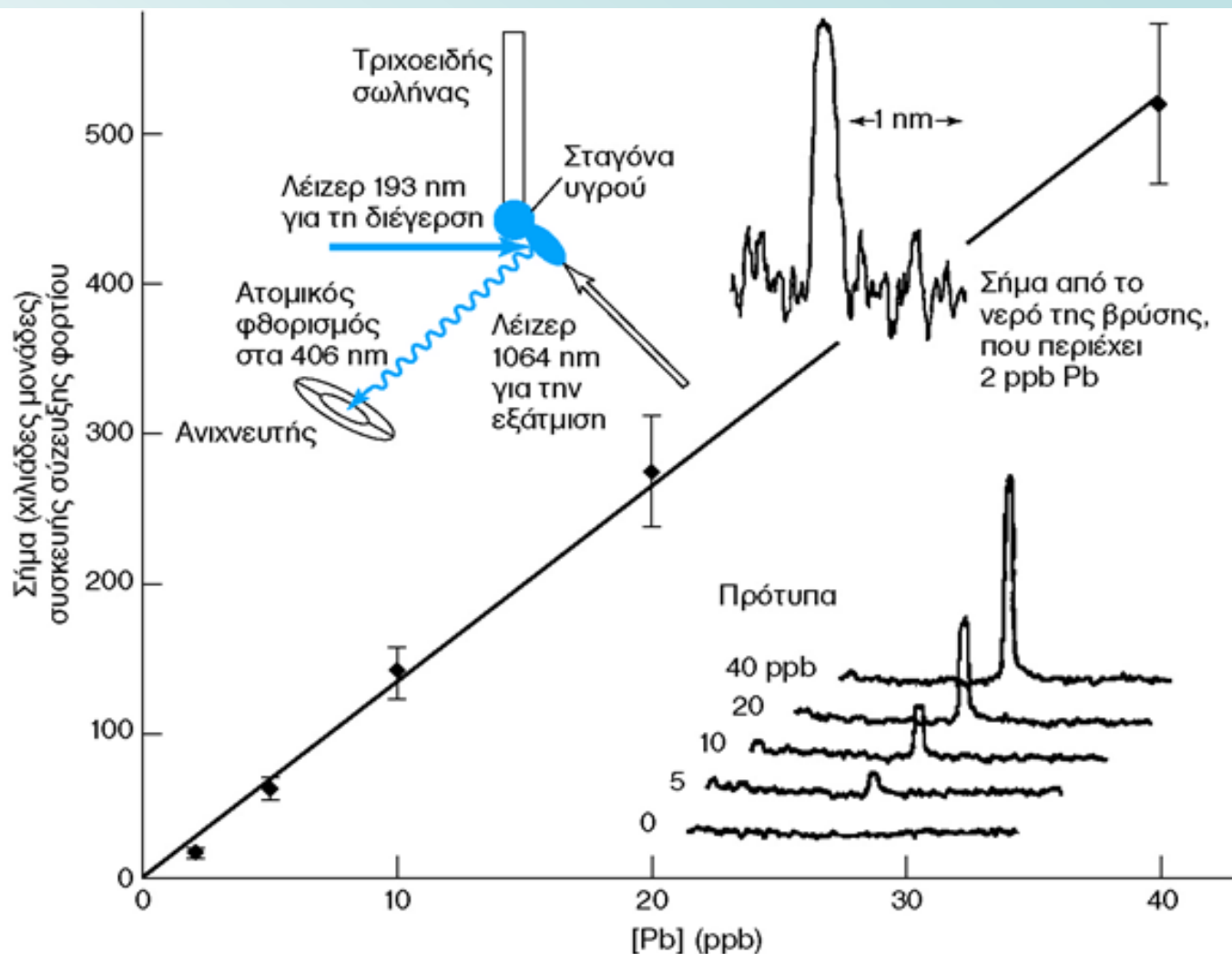
Φλογοφωτομετρία (εκπομπή) – Ατομική Απορρόφηση

Φλογοφωτομετρία: Μέτρηση της ακτινοβολίας που εκπέμπεται από τα άτομα όταν βρίσκονται σε διεγερμένες ενεργειακές καταστάσεις

Ατομική απορρόφηση: Μέτρηση της απορρόφησης της ακτινοβολίας από τα άτομα που βρίσκονται στη θεμελιώδη ενεργειακή κατάσταση.



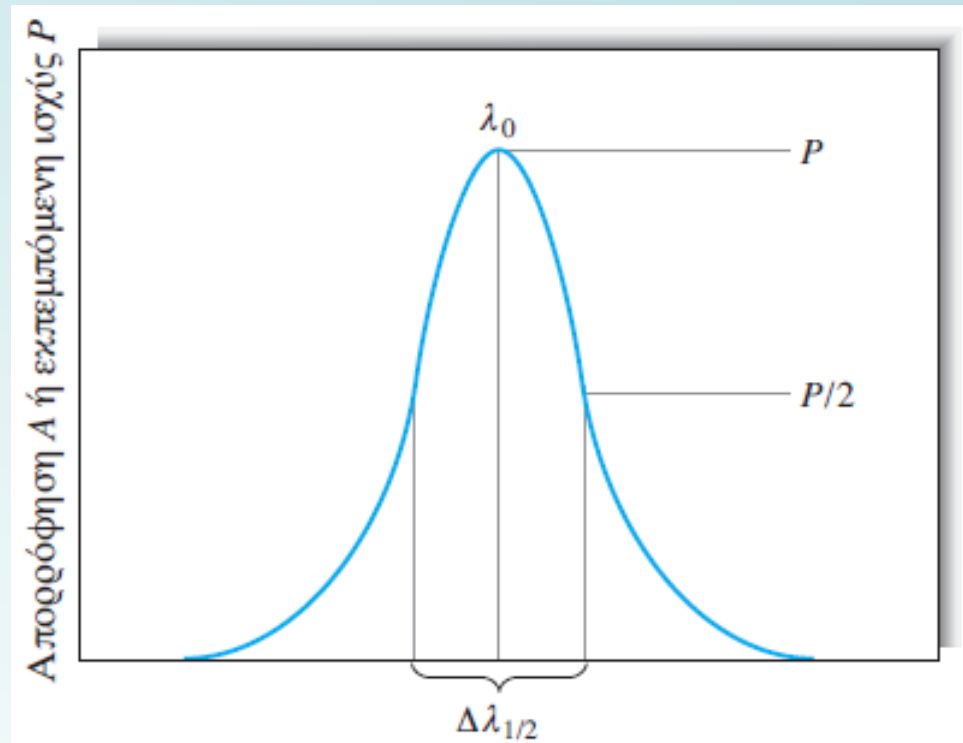
Ατομικός φθορισμός



Ατομικός φθορισμός από Pb στα 405,8 nm. Νερό που περιέχει μέρη στο δισεκατομμύριο (ppb) κολλοειδούς $PbCO_3$ εξέρχεται από τριχοειδή στήλη και εκτίθεται σε παλμό λέιζερ 6 ns, με ακτίνα στα 1064 nm εστιασμένη στη σταγόνα. Αυτός ο παλμός δημιουργεί ένα νέφος ατμού που κινείται προς το λέιζερ. Μετά από 2,5 μs , το νέφος εκτίθεται σε παλμό λέιζερ στα 193 nm, παράγοντας διεγερμένα άτομα Pb που ο φθορισμός τους μετρείται επί 0,1 μs με οπτικό σύστημα

Εύρος ατομικών γραμμών

Είναι εξαιρετικά επιθυμητές στενές γραμμές, τόσο για μετρήσεις απορρόφησης, όσο και εκπομπής. Μειώνεται η πιθανότητα παρεμποδίσεων από επικαλύψεις φασμάτων.



Κατατομή (profile) μιας ατομικής γραμμής, στην οποία δείχνεται πώς ορίζεται το δραστικό εύρος της γραμμής $\Delta\lambda_{1/2}$.

Επίδραση της θερμοκρασίας στα ατομικά φάσματα

Η θερμοκρασία του ατομοποιητή καθορίζει το ποσοστό του δείγματος που διασπάται σε άτομα στη θεμελιώδη κατάσταση, στη διεγερμένη κατάσταση και σε μορφή ιόντων. Κάθε μια από αυτές τις παραμέτρους επηρεάζει την ένταση του παρατηρούμενου σήματος.

Εξίσωση Boltzmann (περιγράφει τους σχετικούς πληθυσμούς διαφορετικών καταστάσεων σε κατάσταση ισορροπίας)

$$\frac{N_j}{N_0} = \frac{g_j}{g_0} \exp\left(-\frac{E_j}{kT}\right)$$

όπου

N_j και N_0 , ο αριθμός των ατόμων σε μια διεγερμένη και στη βασική κατάσταση αντίστοιχα

k , η σταθερά Boltzmann ($1,28 \times 10^{-23}$ J/K)

T , η θερμοκρασία σε βαθμούς kelvin και

E_j είναι η διαφορά ενεργειών μεταξύ της διεγερμένης και της βασικής κατάστασης σε joule.

Οι ποσότητες g_j και g_0 είναι στατιστικοί παράγοντες που σχετίζονται με τα κβαντικά επίπεδα.

ΠΑΡΑΔΕΙΓΜΑ

Να υπολογισθεί ο λόγος του αριθμού των ατόμων νατρίου στη διεγερμένη κατάσταση $3p$ προς τον αριθμό αυτών που βρίσκονται στη βασική κατάσταση, στους 2500 και 2510 K.

Για να υπολογίσουμε το E_j χρησιμοποιούμε τη μέση τιμή μήκους κύματος 5893 Å των δύο γραμμών εκπομπής του νατρίου, που αφορούν στις μεταπτώσεις $3p \rightarrow 3s$.

$$\text{κυματαριθμός} = \frac{1}{589,3 \text{ nm} \times 10^{-7} \text{ cm/nm}} = 1,697 \times 10^4 \text{ cm}^{-1}$$

$$1 \text{ cm}^{-1} = 1,986 \times 10^{-23} \text{ J}$$

$$E_j = 1,697 \times 10^4 \text{ cm}^{-1} \times 1,986 \times 10^{-23} \text{ J cm}^{-1} = 3,37 \times 10^{-19}$$

Υπάρχουν 2 κβαντικές καταστάσεις στο επίπεδο $3s$ και 6 στο επίπεδο $3p$, οπότε

$$\frac{g_j}{g_0} = \frac{6}{2} = 3$$

Για $T = 2500 \text{ K}$ προκύπτει

$$\frac{N_j}{N_0} = 3 \exp\left(\frac{-3,37 \times 10^{-19} \text{ J}}{1,38 \times 10^{-23} \text{ J K}^{-1} \times 2500 \text{ K}}\right) = 3 \times 5,725 \times 10^{-5} = 1,72 \times 10^{-4}$$

Ενώ, για $T = 2510 \text{ K}$ προκύπτει

$$\frac{N_j}{N_0} = 1,79 \times 10^{-4}$$

Μια διακύμανση της θερμοκρασίας μόλις 10 K έχει ως αποτέλεσμα την αύξηση του αριθμού των διεγερμένων ατόμων νατρίου κατά 4% ($100 \times (1,79 - 1,72) / 1,72 = 4\%$)

Σε αντίστοιχο ποσοστό αυξάνει και η ένταση της εκπεμπόμενης ακτινοβολίας από τις δύο γραμμές.

Άρα

σε μια αναλυτική τεχνική που βασίζεται σε μέτρηση της εκπομπής ακτινοβολίας απαιτείται αυστηρός έλεγχος της θερμοκρασίας ατομοποίησης.

Ατομική απορρόφηση – ατομική εκπομπή σε σχέση με τη θερμοκρασία

- ✓ Για να παραχθεί το αναλυτικό σήμα στην **ατομική απορρόφηση**, χρησιμοποιείται ~ το 99,98% (100 - 0,0179) των ατόμων του αναλύτη που βρίσκονται σε μη διεγερμένη κατάσταση.
- ✓ Επειδή η ατομική απορρόφηση βασίζεται στον πολύ μεγαλύτερο πληθυσμό μη διεγερμένων ατόμων, αναμένεται η τεχνική να είναι πιο ευαίσθητη από την τεχνική της εκπομπής.
- ✓ Η τεχνική της ατομικής απορρόφησης εξαρτάται λιγότερο από τη θερμοκρασία, επειδή η μέτρηση βασίζεται στα **μη διεγερμένα** άτομα κι όχι στα θερμικώς διεγερμένα.
- ✓ Μικρές διακυμάνσεις της θερμοκρασίας στην πράξη δεν έχουν άμεση επίδραση στις μετρήσεις ατομικής απορρόφησης.

ΑΤΟΜΟΠΟΙΗΣΗ

Προκειμένου να ληφθούν τα οπτικά ατομικά φάσματα, τα συστατικά του δείγματος πρέπει να μετατραπούν σε αέρια άτομα τα οποία στη συνέχεια μπορούν να προσδιορισθούν με φασματικές μετρήσεις απορρόφησης ή εκπομπής.

Η διεργασία με την οποία το δείγμα μετατρέπεται σε άτομα σε αεριώδη κατάσταση λέγεται *ατομοποίηση (atomization)*.

Η επαναληψιμότητα και η ακρίβεια των ατομικών τεχνικών εξαρτώνται από το στάδιο της ατομοποίησης και τον τρόπο εισαγωγής του δείγματος στο χώρο του ατομοποιητή.

ΜΕΘΟΔΟΙ ΕΙΣΑΓΩΓΗΣ ΔΕΙΓΜΑΤΟΣ

Η *εισαγωγή του δείγματος* είναι η "Αχίλλειος πτέρνα" της ατομικής φασματοσκοπίας, επειδή σε πολλές περιπτώσεις το στάδιο αυτό περιορίζει την ακρίβεια, την επαναληψιμότητα και τα όρια ανίχνευσης των μετρήσεων ατομικής φασματομετρίας.

Η ευκολία με την οποία πραγματοποιείται ο στόχος αυτός εξαρτάται πολύ από τη φυσική και χημική κατάσταση του αναλύτη και τη μήτρα του δείγματος. Για στερεά δείγματα δύστηκτων υλικών, η εισαγωγή του δείγματος αποτελεί συνήθως ένα μεγάλο πρόβλημα, ενώ για διαλύματα και αέρια δείγματα, το στάδιο της εισαγωγής είναι συχνά μια συνηθισμένη διαδικασία.

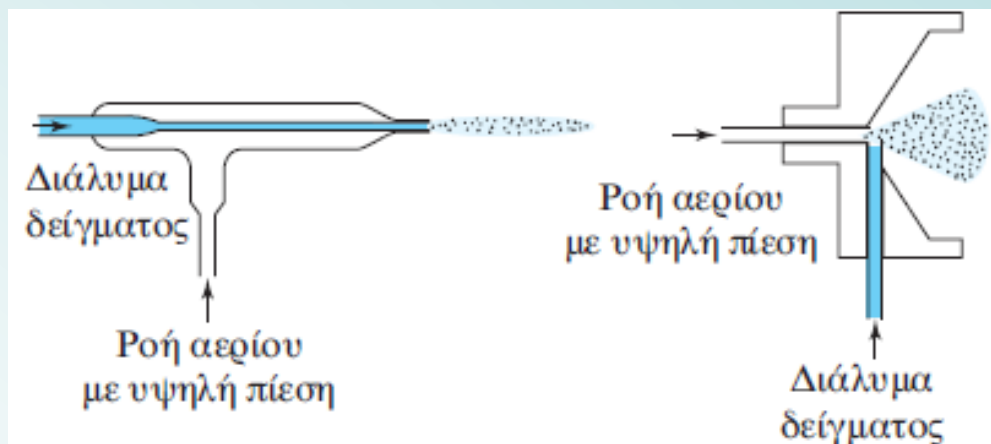
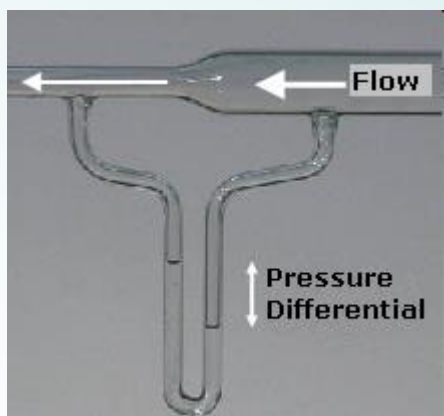
Για το λόγο αυτό οι περισσότερες μελέτες με ατομική φασματοσκοπία αναφέρονται σε διαλύματα.

Γενικότερα, οι τεχνικές εισαγωγής στερεών δειγμάτων είναι λιγότερο επαναλήψιμες και υπεύθυνες για διάφορα σφάλματα και για τον λόγο αυτό δεν έχουν ευρεία εφαρμογή, όσο αυτές που βασίζονται σε υδατικά διαλύματα.

Πνευματικοί εκνεφωτές

Τα δείγματα για ατομική φασματομετρική ανάλυση, συνήθως, διαλυτοποιούνται σε ένα υδατικό μέσο και στη συνέχεια εισάγονται στον ατομοποιητή με τη βοήθεια ενός **εκνεφωτή** (nebulizer), ο οποίος μετατρέπει το υγρό σε ένα λεπτό νέφος ή **αερόλυμα** (aerosol).

Ο συνηθέστερος τύπος εκνεφωτή αποτελείται από ένα συγκεκριμένο σωλήνα πνευματικού τύπου, στον οποίο το υγρό δείγμα απορροφάται μέσω τριχοειδούς σωλήνα με ένα ρεύμα αερίου υψηλής ταχύτητας γύρω από το άκρο του σωλήνα (φαινόμενο Bernoulli).



Το αέριο εκνέφωσης ρέει μέσω ενός ανοίγματος, που περιβάλλει ομόκεντρα το τριχοειδές. Αυτό προκαλεί μείωση στην πίεση στο ακροφύσιο και αναρρόφηση του δείγματος. Το αέριο υψηλής ταχύτητας διασπά το υγρό σε λεπτές σταγόνες διαφόρων μεγεθών, οι οποίες μεταφέρονται στον ατομοποιητή.

Επίσης, εφαρμόζονται εκνεφωτές διασταυρούμενης ροής στους οποίους το αέριο υψηλής πίεσης ρέει κατά μήκος του τριχοειδούς άκρου σε ορθή γωνία.

Ηλεκτροθερμικοί εξαερωτές

Ηλεκτροθερμικός εξαερωτής (electrothermal vaporizer, ETV): εξαερωτής τοποθετημένος σε ένα κλειστό θάλαμο μέσω του οποίου διαβιβάζεται αδρανές αέριο, όπως το αργό, που μεταφέρει το δείγμα στον ατομοποιητή. Ένα μικρό δείγμα, στερεό ή υγρό, τοποθετείται σε αγωγό, ο οποίος είναι μια ράβδος άνθρακα ή νήμα τανταλίου.

Το δείγμα εξαερώνεται γρήγορα με ηλεκτρικό ρεύμα.

Σε αντίθεση με τους εκνεφωτές, το ηλεκτροθερμικό σύστημα παράγει ένα διακριτό σήμα παρά ένα συνεχές. (Δηλαδή, το σήμα από το ατομοποιημένο δείγμα αυξάνει μέχρι ένα μέγιστο και μετά μειώνεται στο μηδέν)

Η ποσοτικοποίηση της ανάλυσης γίνεται με το ύψος ή την επιφάνεια της κορυφής.

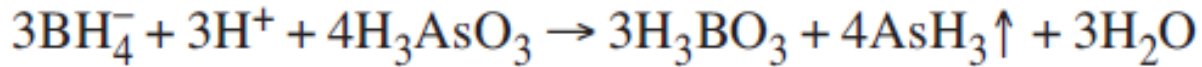
Τεχνική παραγωγής υδριδίων

Για δείγματα, που περιέχουν αρσενικό, αντιμόνιο, κασσίτερο, σελήνιο και βισμούθιο, τα οποία μετατρέπονται σε αέριες ενώσεις.

Βελτιώνουν τα όρια ανίχνευσης για τα στοιχεία αυτά (είναι πολύ τοξικά) κατά ένα παράγοντα 10 έως 100.

Προσθήκη ενός οξιτισμένου υδατικού διαλύματος του δείγματος σε ένα μικρό όγκο 1% υδατικού διαλύματος τετραϋδροβορικού νατρίου.

Για την περίπτωση του As(III), η αντίδραση που πραγματοποιείται περιγράφεται από τη χημική εξίσωση



Το πτητικό υδρίδιο - αρσίνη στην περίπτωση αυτή - παραλαμβάνεται προς το θάλαμο του ατομοποιητή με ένα αδρανές αέριο.

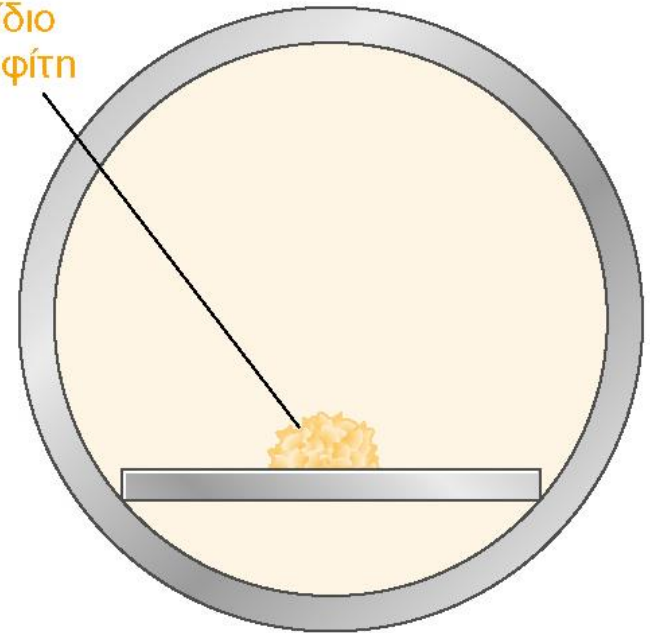
Το υδρίδιο διασπάται με αποτέλεσμα τον σχηματισμό ατόμων του αναλύτη η συγκέντρωση του οποίου προσδιορίζεται με μέτρηση απορρόφησης ή εκπομπής.

Εισαγωγή στερεών δειγμάτων

Η εισαγωγή στερεών, σε μορφή κόνεων, μετάλλων ή σωματιδίων, έχει σημαντικά πλεονεκτήματα διότι συχνά με τον τρόπο αυτό αποφεύγονται επίπονα και χρονοβόρα στάδια αποσύνθεσης και διαλυτοποίησης του δείγματος.

Εντούτοις, οι διαδικασίες αυτές συχνά παρουσιάζουν σοβαρές δυσκολίες στη βαθμονόμηση, στην προσαρμογή του δείγματος, την επαναληψιμότητα και την ακρίβεια.

Στερεό δείγμα που ζυγίζεται σε πλακίδιο από γραφίτη



ΤΕΧΝΙΚΕΣ ΑΤΟΜΟΠΟΙΗΣΗΣ ΔΕΙΓΜΑΤΟΣ

Μέθοδοι ατομοποίησης του δείγματος, τις οποίες συναντάμε στις φασματομετρίες ατομικής απορρόφησης και εκπομπής:

- ατομοποίηση με φλόγα
- ηλεκτροθερμική ατομοποίηση
- πλάσμα

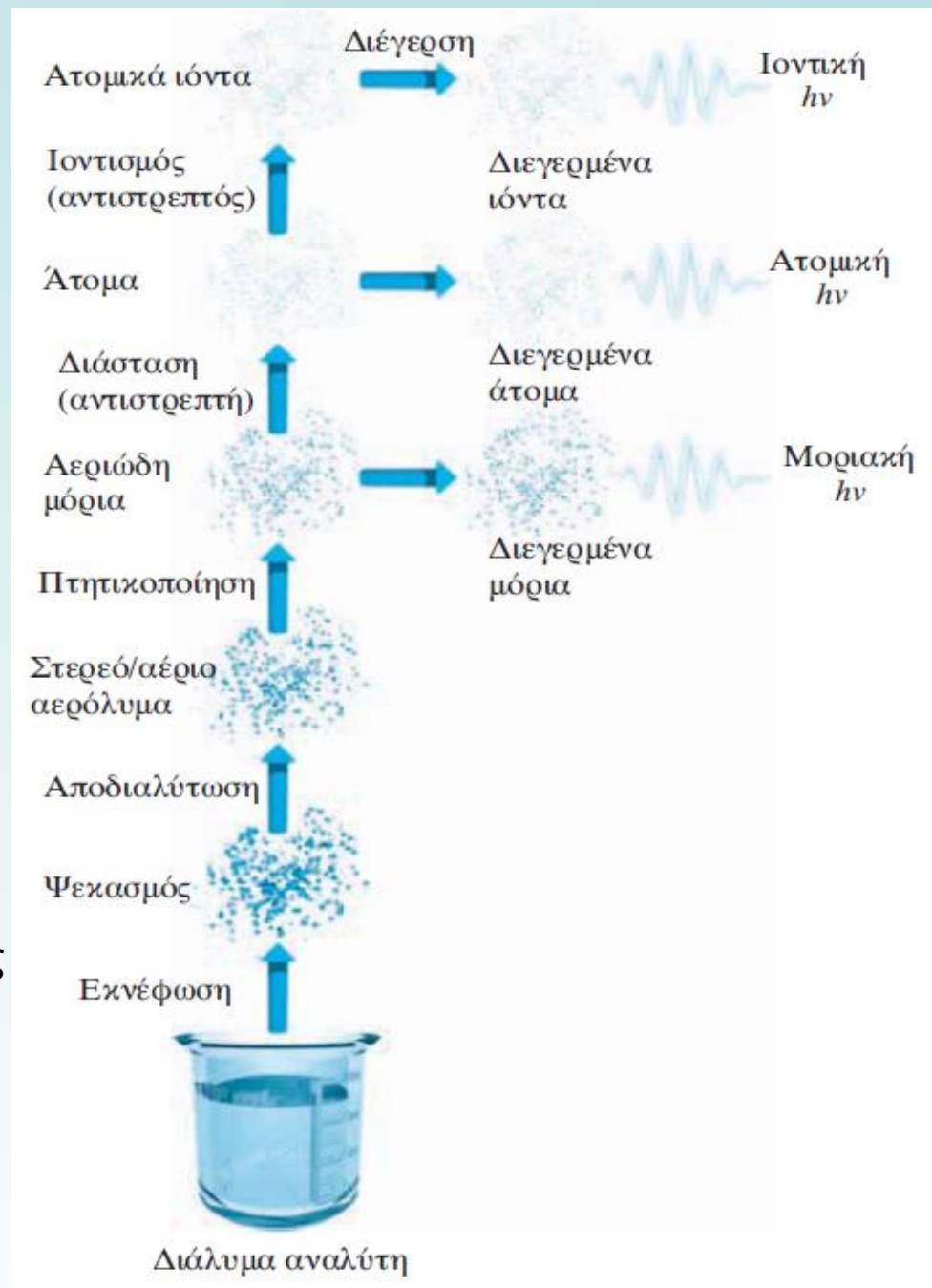
Ατομοποίηση με φλόγα

Στους ατομοποιητές φλόγας, ένα διάλυμα του δείγματος εκνεφώνεται σε μια ροή οξειδωτικού αερίου, το οποίο αναμιγνύεται με ένα καύσιμο αέριο και μεταφέρεται στη φλόγα, όπου συμβαίνει ατομοποίηση.

Στη φλόγα πραγματοποιείται μια πολύπλοκη σειρά αλληλοσυνδεόμενων διαδικασιών.

Η ατομοποίηση είναι το κρίσιμότερο στάδιο στη φασματοσκοπία φλόγας και το στάδιο εκείνο που καθορίζει την επαναληψιμότητα των μεθόδων αυτών.

Είναι σημαντικό να κατανοηθούν τα χαρακτηριστικά των φλογών και οι μεταβλητές που επηρεάζουν τα χαρακτηριστικά αυτά.



Όταν χρησιμοποιείται αέρας ως οξειδωτικό, οι θερμοκρασίες που επιτυγχάνονται με τα διάφορα καύσιμα βρίσκονται στην περιοχή 1700-2400 °C. *Στις θερμοκρασίες αυτές ατομοποιούνται μόνο τα εύκολα διασπώμενα δείγματα.*

Για θερμοανθεκτικότερα δείγματα χρησιμοποιείται ως οξειδωτικό, οξυγόνο ή υποοξείδιο του αζώτου (N₂O). Με τα συνήθη καύσιμα τα οξειδωτικά αυτά αέρια παράγουν θερμοκρασίες 1700-3100 °C.

Ιδιότητες των φλογών

Καύσιμο	Οξειδωτικό	Θερμοκρασία, °C	Μέγιστη ταχύτητα καύσης (cm s ⁻¹)
Φυσικό αέριο	Αέρας	1700-1900	39-43
Φυσικό αέριο	Οξυγόνο	2700-2800	370-390
Υδρογόνο	Αέρας	2000-2100	300-440
Υδρογόνο	Οξυγόνο	2550-2700	900-1400
Ακετυλένιο	Αέρας	2100-2400	158-266
Ακετυλένιο	Οξυγόνο	3050-3150	1100-2480
Ακετυλένιο	Υποοξείδιο αζώτου (N ₂ O)	2600-2800	285

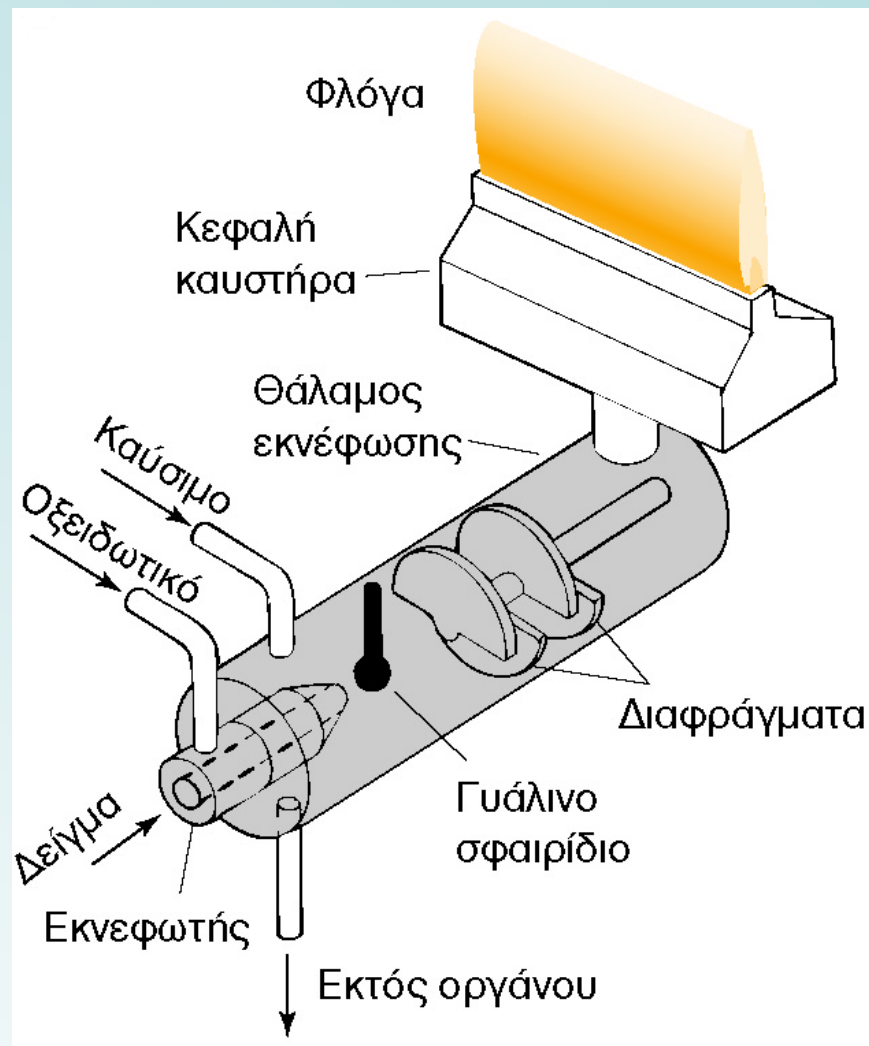
Ατομοποιητές φλόγας

Οι **ατομοποιητές φλόγας** (flame atomizers) χρησιμοποιούνται στην ατομική απορρόφηση και την ατομική εκπομπή.

Το σχηματιζόμενο αερόλυμα από τη ροή του οξειδωτικού αναμιγνύεται με το καύσιμο και διέρχεται από μια σειρά διαφραγμάτων ελέγχου ροής, τα οποία αφήνουν να περάσουν μόνο οι πολύ μικρές σταγόνες του διαλύματος.

Το αερόλυμα, το οξειδωτικό και το καύσιμο στη συνέχεια καίγονται σε έναν καυστήρα σχισμής, ο οποίος παρέχει φλόγα μήκους συνήθως 5 ή 10 cm.

Καυστήρες **νηματικής (στρωτής) ροής** (laminar flow) παρέχουν φλόγες σχετικά ήρεμες και μεγάλου μήκους. Οι ιδιότητες αυτές τείνουν να ενισχύσουν την ευαισθησία και την αναπαραγωγιμότητα των μετρήσεων.



Καυστήρας νηματικής ροής.

Δομή της φλόγας

Περιοχές φλόγας: *ζώνη πρωταρχικής καύσης*, *διαζωνική περιοχή* και *δευτερεύουσα ζώνη καύσης*.

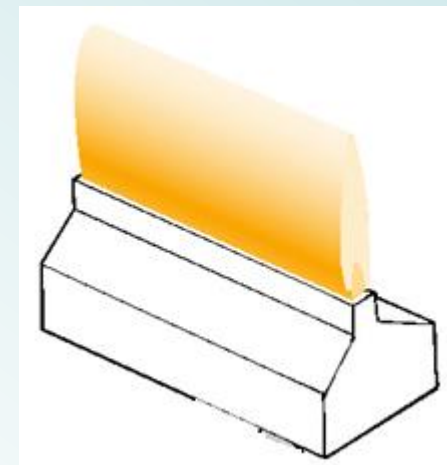
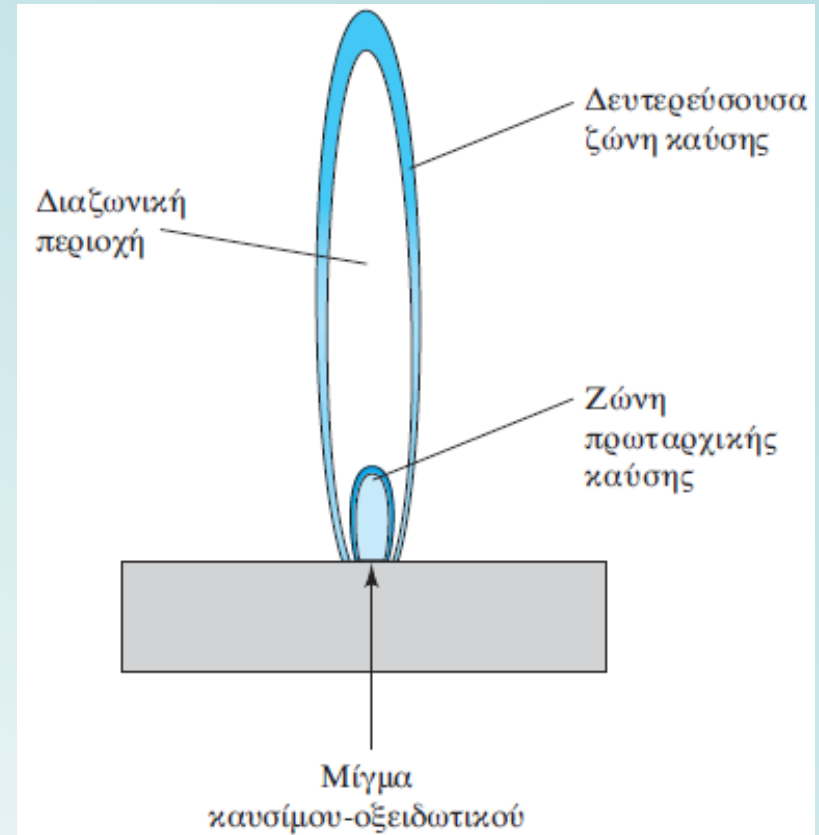
Η εμφάνιση και το σχετικό μέγεθος των περιοχών αυτών ποικίλλουν σημαντικά και εξαρτώνται από τον λόγο καυσίμου προς οξειδωτικό καθώς και από το είδος τους. Η ζώνη πρωταρχικής καύσης σε φλόγα υδρογονάνθρακα αναγνωρίζεται από την κυανή χρώση, η οποία προέρχεται από τις φασματικές ταινίες των C, CH και άλλων ριζών.

Δεν χρησιμοποιείται στη φασματοσκοπία φλόγας.

Η διαζωνική περιοχή, η οποία είναι σχετικά στενή στις φλόγες υδρογονανθράκων, μπορεί να φθάσει πολλά εκατοστά σε ύψος.

Η ζώνη είναι συχνά πλούσια σε ελεύθερα άτομα και είναι το περισσότερο χρησιμοποιούμενο τμήμα φλόγας στη φασματοσκοπία.

Στη δευτερεύουσα ζώνη αντιδράσεων τα προϊόντα του εσωτερικού πυρήνα της μετατρέπονται σε σταθερά οξείδια, τα οποία στη συνέχεια διασκορπίζονται στον περιβάλλοντα χώρο.



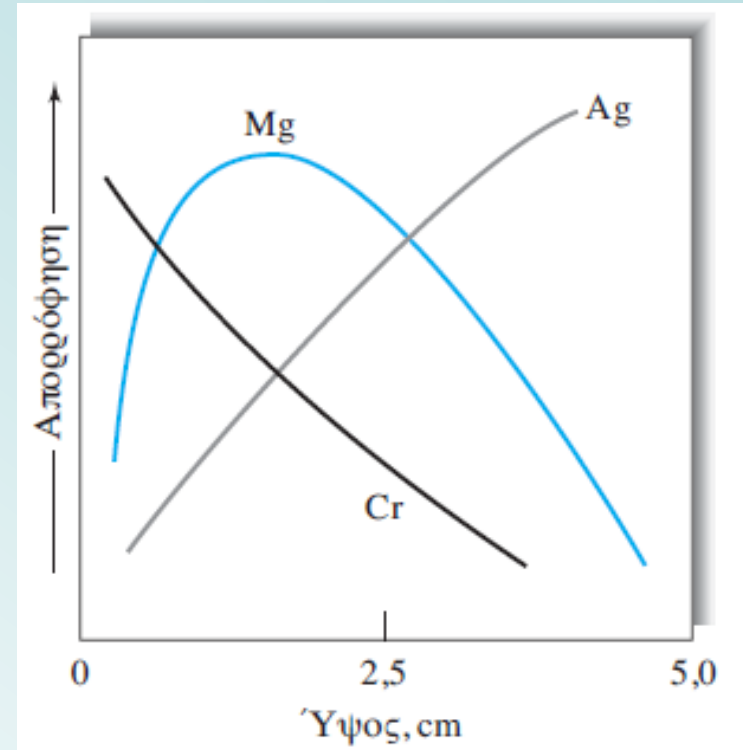
Κατατομές απορρόφησης στη φλόγα

Το **μαγνήσιο** εμφανίζει μέγιστη απορρόφηση περίπου στο μέσο της φλόγας. 1. Αυξημένος αριθμός ατόμων μαγνησίου παράγονται λόγω του μεγαλύτερου χρόνου έκθεσής τους στη θερμότητα της φλόγας. 2. Στη δευτερεύουσα ζώνη καύσης αρχίζει ένας σημαντικός βαθμός οξειδωσης του μαγνησίου. Η διαδικασία αυτή οδηγεί σε μείωση της απορρόφησης, επειδή τα σωματίδια του οξειδίου του μαγνησίου που σχηματίζονται δεν απορροφούν στο ίδιο μήκος κύματος.

Ο **άργυρος** οξειδώνεται δυσκολότερα. Παρατηρείται μια συνεχής αύξηση του αριθμού των ατόμων, επομένως και της απορρόφησης, από τη βάση προς την περιφέρεια της φλόγας.

Το **χρώμιο** σχηματίζει πολύ σταθερά οξείδια. Εμφανίζει μια συνεχή μείωση της απορρόφησης αρχίζοντας από το ακροφύσιο του καυστήρα. Ο σχηματισμός των οξειδίων κυριαρχεί από την αρχή της φλόγας.

Για τον λόγο αυτό η ρύθμιση της θέσης της φλόγας σε σχέση με τη σχισμή εισόδου του μονοχρωμάτορα είναι κρίσιμη.



Κατατομή απορρόφησης από τη βάση της φλόγας-καυστήρα για τρία στοιχεία.

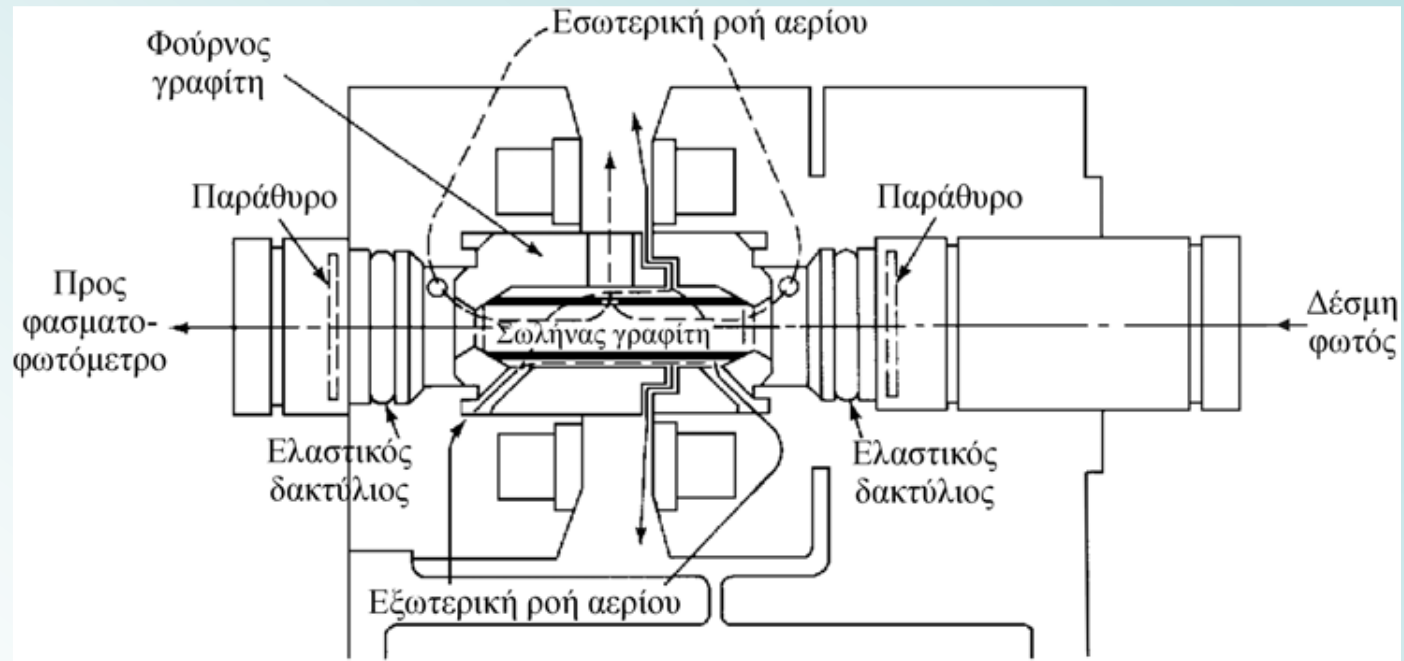
Χαρακτηριστικά απόδοσης ενός ατομοποιητή φλόγας

Από άποψη συμπεριφοράς ως προς την αναπαραγωγιμότητα, η ατομοποίηση με φλόγα φαίνεται να είναι ανώτερη από όλες τις μεθόδους οι οποίες έχουν αναπτυχθεί μέχρι τώρα για εισαγωγή υγρών δειγμάτων στη φασματομετρία ατομικής απορρόφησης.

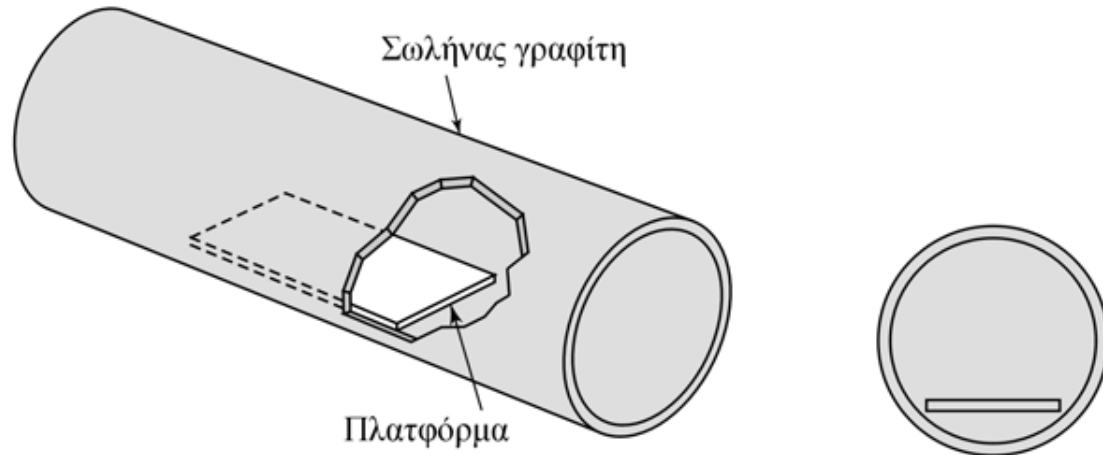
Από άποψη απόδοσης δειγματοληψίας και επομένως ευαισθησίας, άλλες μέθοδοι ατομοποίησης υπερέχουν σημαντικά διότι στην ατομοποίηση με φλόγα

- I. ένα μεγάλο μέρος του δείγματος οδηγείται προς την αποχέτευση.
- II. ο χρόνος παραμονής κάθε ατόμου στο σημείο που συναντά η οπτική διαδρομή τη φλόγα είναι πάρα πολύ μικρός ($\approx 10^{-4}$ s)

Ηλεκτροθερμικός ατομοποιητής

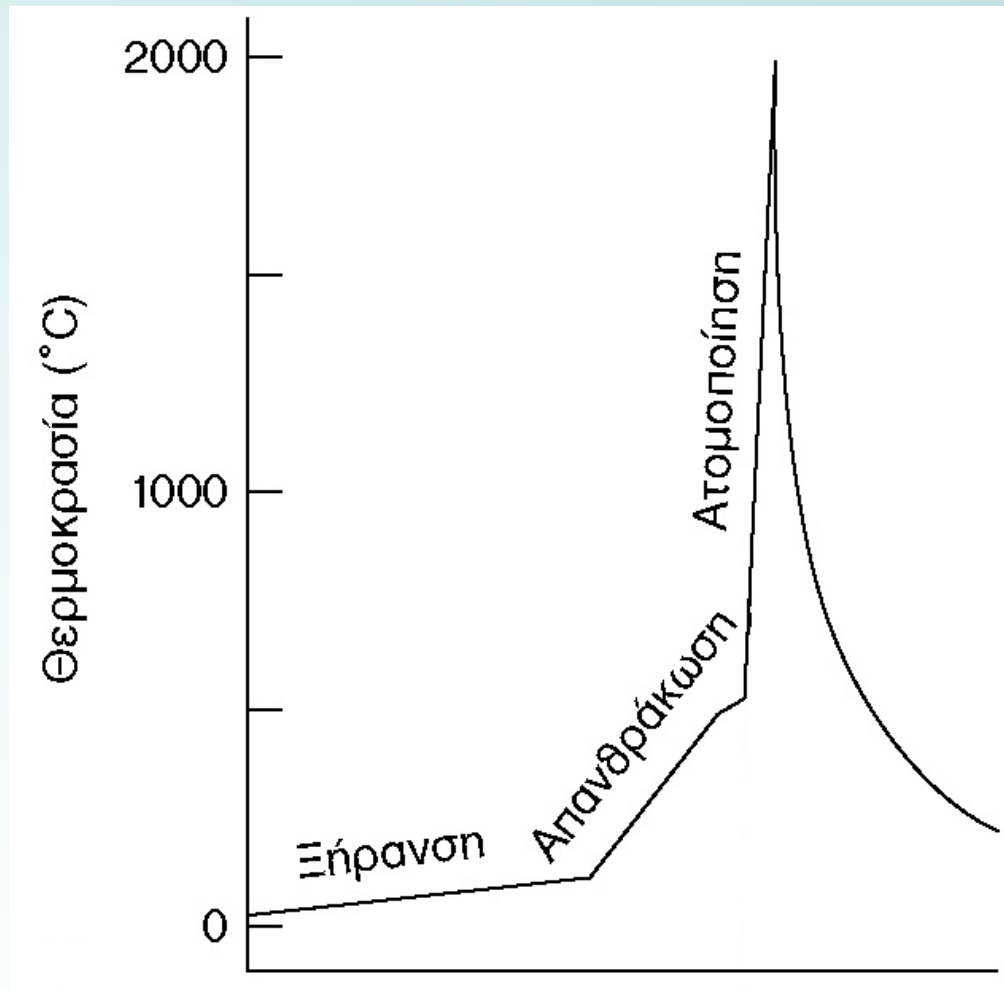


(α)



(β)

Στάδια μέτρησης στην ηλεκτροθερμική ατομοποίηση



Ο διαλύτης αρχικά εξατμίζεται σε σχετικά χαμηλή θερμοκρασία και ακολουθεί αποτέφρωση σε υψηλότερη θερμοκρασία. Η διεργασία αυτή πραγματοποιείται σε ηλεκτρικά θερμαινόμενο σωλήνα γραφίτη.

Χαρακτηριστικά ηλεκτροθερμικής ατομοποίησης

- Οι ηλεκτροθερμικοί ατομοποιητές *παρέχουν αυξημένη ευαισθησία*, επειδή ολόκληρο το δείγμα ατομοποιείται σε σύντομο χρονικό διάστημα και ο μέσος χρόνος παραμονής των ατόμων στην οπτική διαδρομή είναι μεγαλύτερος από 1 sec.
- Οι ηλεκτροθερμικοί ατομοποιητές χρησιμοποιούνται για μετρήσεις στην ατομική απορρόφηση και στον ατομικό φθορισμό.
- Στους ηλεκτροθερμικούς ατομοποιητές εισάγεται δείγμα μερικών μL .

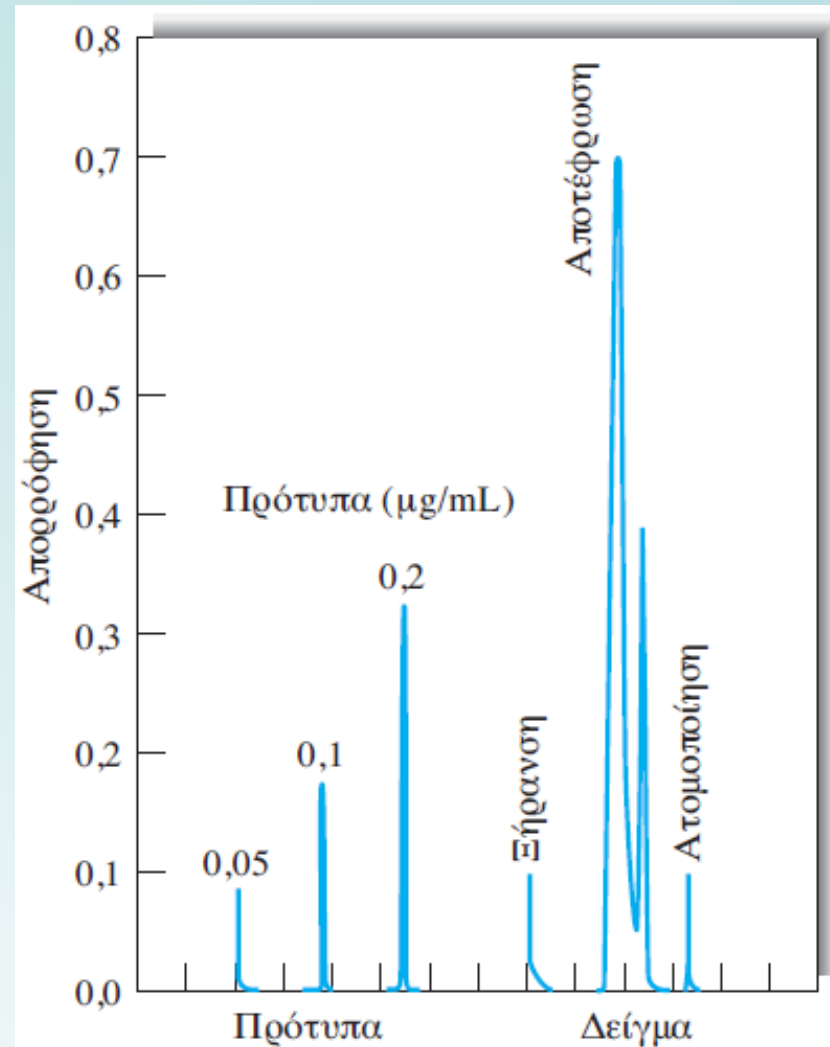
Σήμα εξόδου

Στο μήκος κύματος απορρόφησης, το σήμα εξόδου του μεταλλάκτη φθάνει σε ένα μέγιστο λίγα δευτερόλεπτα μετά την πυράκτωση και υποχωρεί απότομα πίσω στο μηδέν, ενώ τα προϊόντα ατομοποίησης αποβάλλονται στο περιβάλλον.

Η μεταβολή είναι ταχεία (συχνά < 1 s), γι αυτό και απαιτείται ταχύτατο σύστημα συλλογής δεδομένων.

Η ποσοτικοποίηση της ανάλυσης βασίζεται στη μέτρηση του ύψους της κορυφής ή στο εμβαδό της επιφάνειάς της.

Κατά τη διάρκεια της ξήρανσης και της απανθράκωσης-αποτέφρωσης του δείγματος παράγονται κορυφές, οι οποίες πιθανώς οφείλονται σε μοριακά προϊόντα και σωματιδιακά προϊόντα πυράκτωσης.



Σήματα εξόδου ενός φασματοφωτόμετρου εξοπλισμένου με ηλεκτροθερμικό ατομοποιητή. Οι τρεις κορυφές στο αριστερό μέρος οφείλονται σε πρότυπα διαλύματα μολύβδου, που χρησιμοποιήθηκαν για τη βαθμονόμηση.

Χαρακτηριστικά απόδοσης των ηλεκτροθερμικών ατομοποιητών

Οι ηλεκτροθερμικοί ατομοποιητές προσφέρουν το πλεονέκτημα μιας **υψηλής ευαισθησίας** για μικρούς όγκους δείγματος.

Οι απόλυτες τιμές των ορίων ανίχνευσης βρίσκονται στην περιοχή των 10^{-10} έως 10^{-13} g αναλύτη.

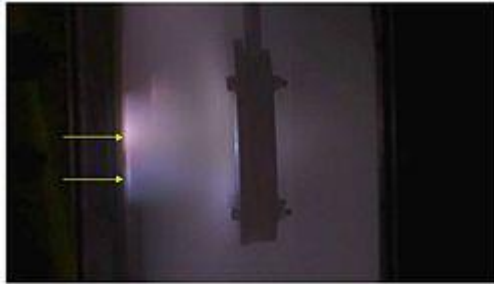
Η σχετική επαναληψιμότητα των άφλογων τεχνικών βρίσκεται στην περιοχή 5 έως 10% σε σύγκριση με αυτήν του 1% ή και καλύτερη, σε περιπτώσεις χρήσης της φλόγας.

Οι τεχνικές φούρνου είναι αργές με τυπικούς χρόνους μερικών λεπτών για κάθε στοιχείο.

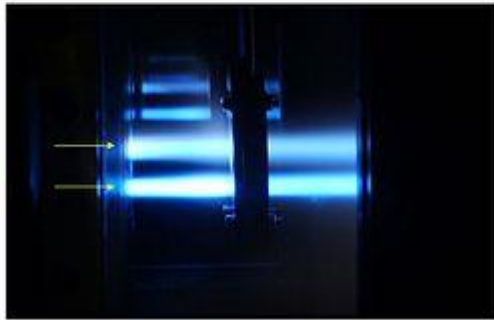
Μειονέκτημά τους είναι και η στενή αναλυτική περιοχή, που συνήθως είναι μικρότερη από δύο τάξεις μεγέθους συγκέντρωσης.

Ατομοποίηση με επαγωγικά συζευγμένο πλάσμα (ICP)

Πλάσμα: μοιάζει με αέριο, αρκετά θερμό ώστε να περιέχει ιόντα και ελεύθερα ηλεκτρόνια. Είναι ηλεκτρικά ουδέτερο. Η παρουσία σημαντικού αριθμού φορτίων το καθιστά ηλεκτρικά αγώγιμο ώστε να αποκρίνεται ισχυρά σε ηλεκτρομαγνητικά πεδία.

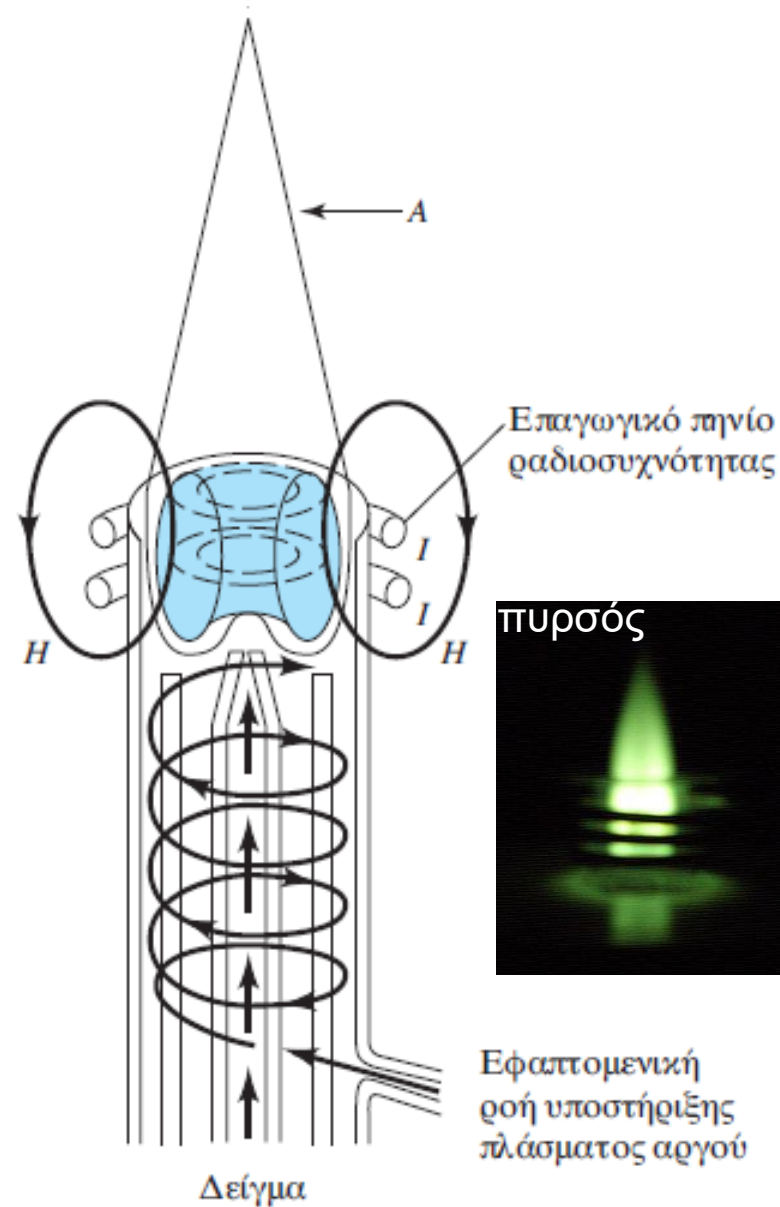


Ροή πλάσματος χωρίς μαγνητικό πεδίο



Ροή πλάσματος με μαγνητικό πεδίο.

Επαγωγικά συζευγμένο πλάσμα: Αέριο Ar υψηλής καθαρότητας εισάγεται στο πλάσμα. Σπινθήρας (από πηνίο Tesla) ιοντίζει το Ar και τα ηλεκτρόνια επιταχύνονται από μαγνητικό πεδίο ραδιοσυχνότητας. Τα ηλεκτρόνια συγκρούονται με τα άτομα και μεταφέρουν την ενέργειά τους σε όλο το αέριο διατηρώντας τη θερμοκρασία (ωμική θέρμανση).

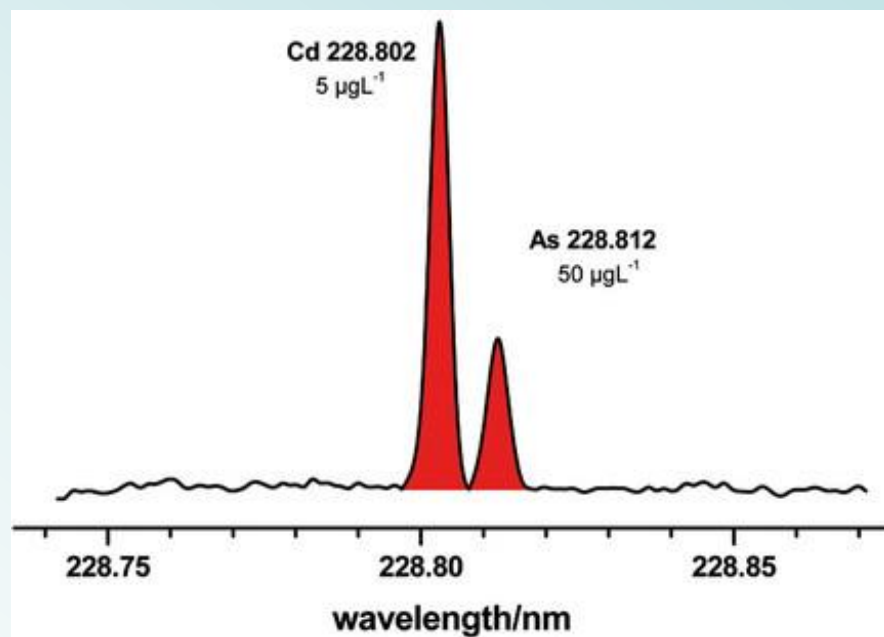
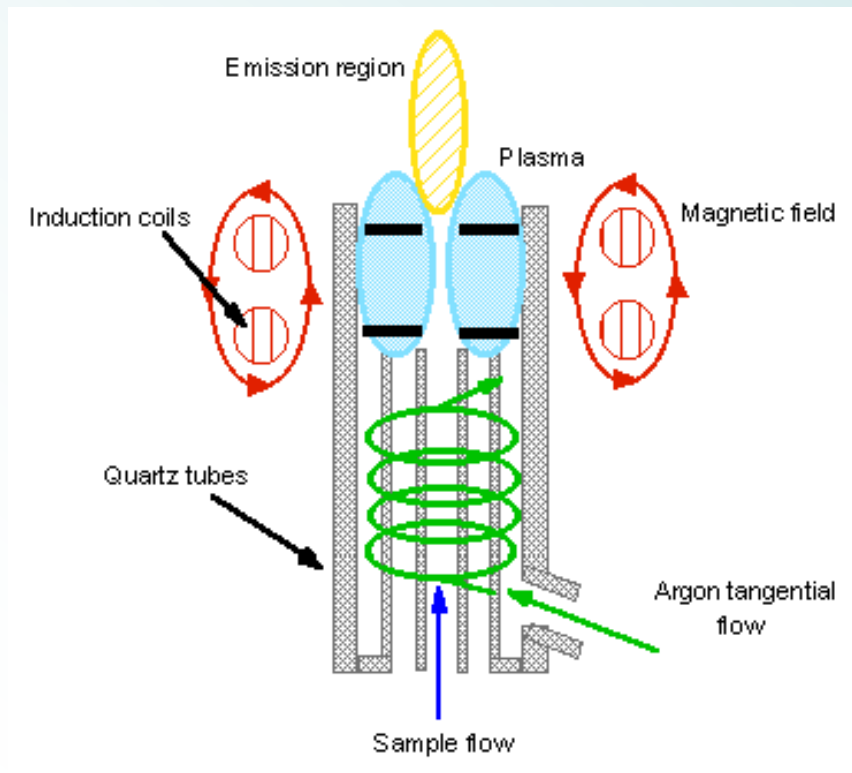


Τυπική πηγή επαγωγικά συζευγμένου πλάσματος.

Επαγωγικά συζευγμένο πλάσμα με ανιχνευτή οπτικής εκπομπής (optical emission)

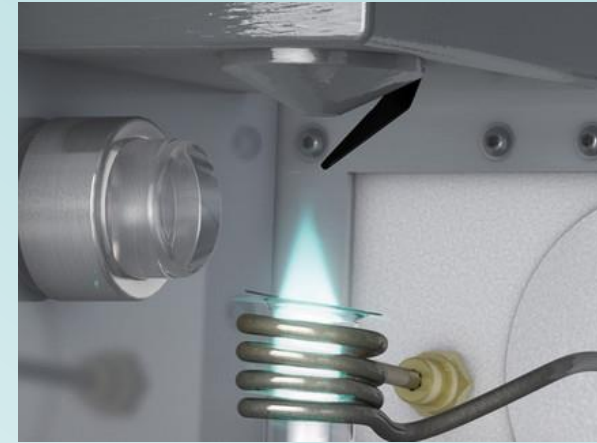
Τα φάσματα εκπομπής από πηγές πλάσματος είναι πολύπλοκα (αποτελούνται από εκατοντάδες ή ακόμα και χιλιάδες γραμμές).

Η πληθώρα των γραμμών, αν και αποτελεί πλεονέκτημα για την ποιοτική ανάλυση, αυξάνει την πιθανότητα φασματικών παρεμβολών στην ποσοτική ανάλυση.

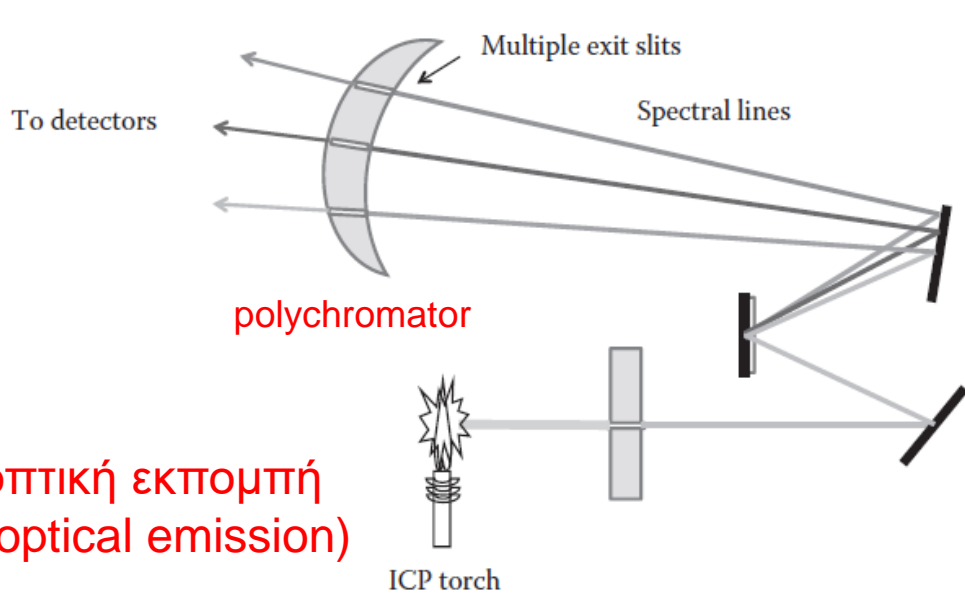


Οι γραμμές του Cd και του As διαφέρουν μερικά μόνο picometers

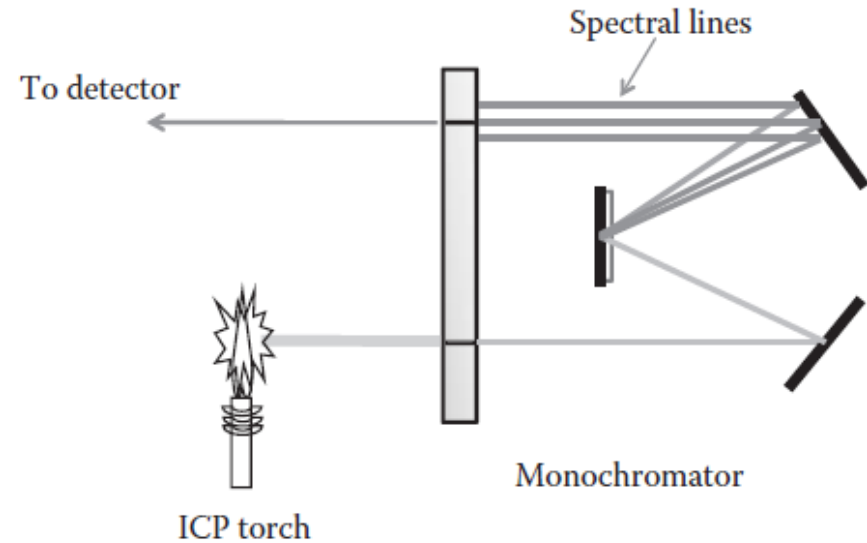
Επαγωγικά συζευγμένο πλάσμα



Πυρσός (torch)



ΟΠΤΙΚΗ ΕΚΠΟΜΠΗ
(optical emission)



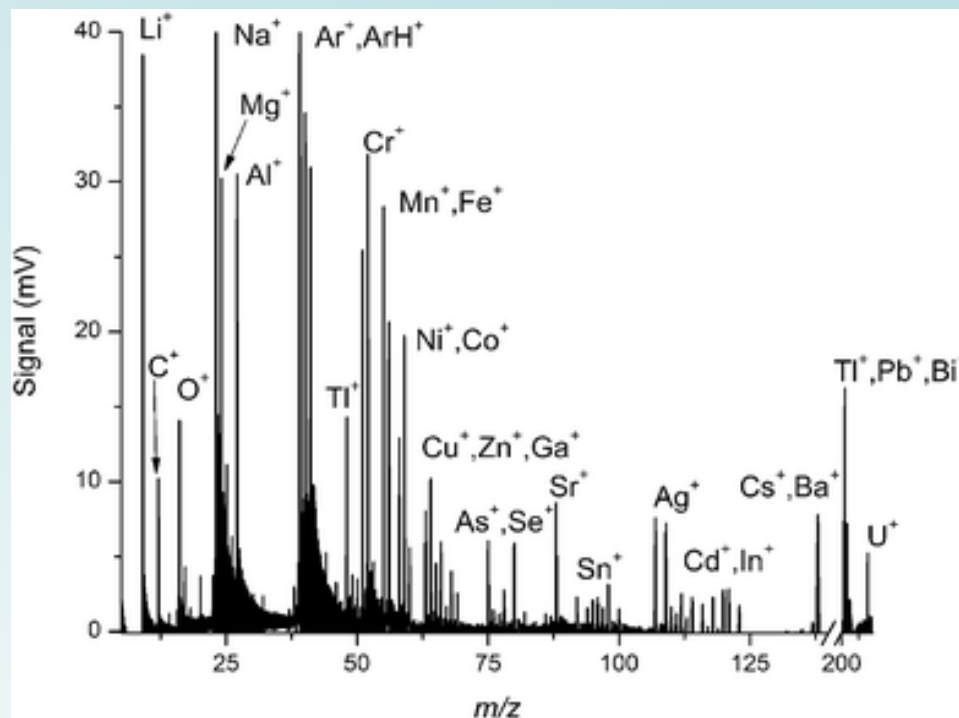
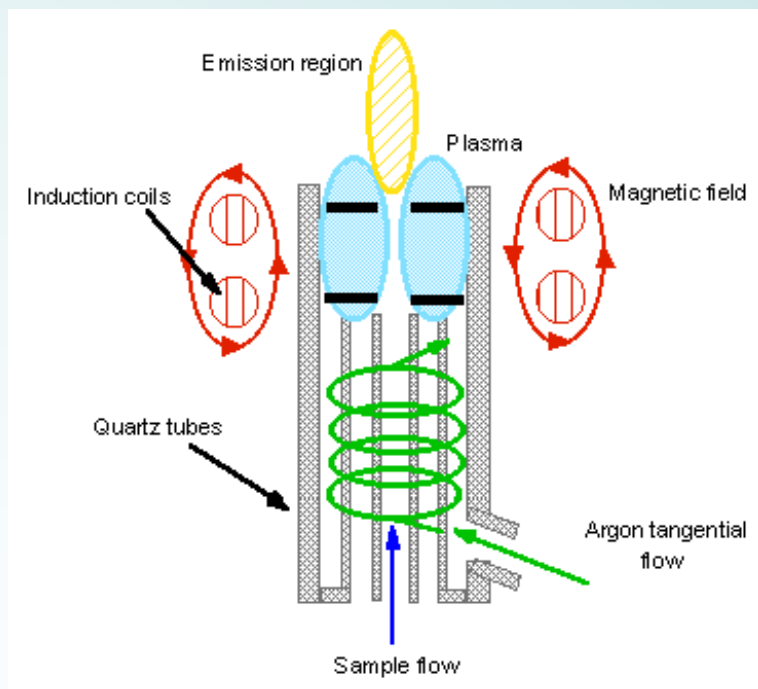
Επαγωγικά συζευγμένο πλάσμα

Σημαντικότερες ιδιότητες των ιδανικών οργάνων φασματομετρίας οπτικής εκπομπής πλάσματος:

- Υψηλή διακριτική ικανότητα ($0,01 \text{ nm}$ ή $\lambda/\Delta\lambda > 100.000$)
- Ταχεία συλλογή και επεξεργασία δεδομένων και ανάκτησή τους
- Χαμηλή ακτινοβολία υποβάθρου
- Μεγάλη δυναμική περιοχή (συγκεντρώσεων)
- Ακριβής και επαναλήψιμη αναγνώριση και επιλογή μήκους κύματος
- Επαναλήψιμες αναγνώσεις εντάσεων ($<1\% \text{ RSD}$)
- Σταθερότητα ως προς τις περιβαλλοντικές μεταβολές
- Λειτουργία με ηλεκτρονικό υπολογιστή

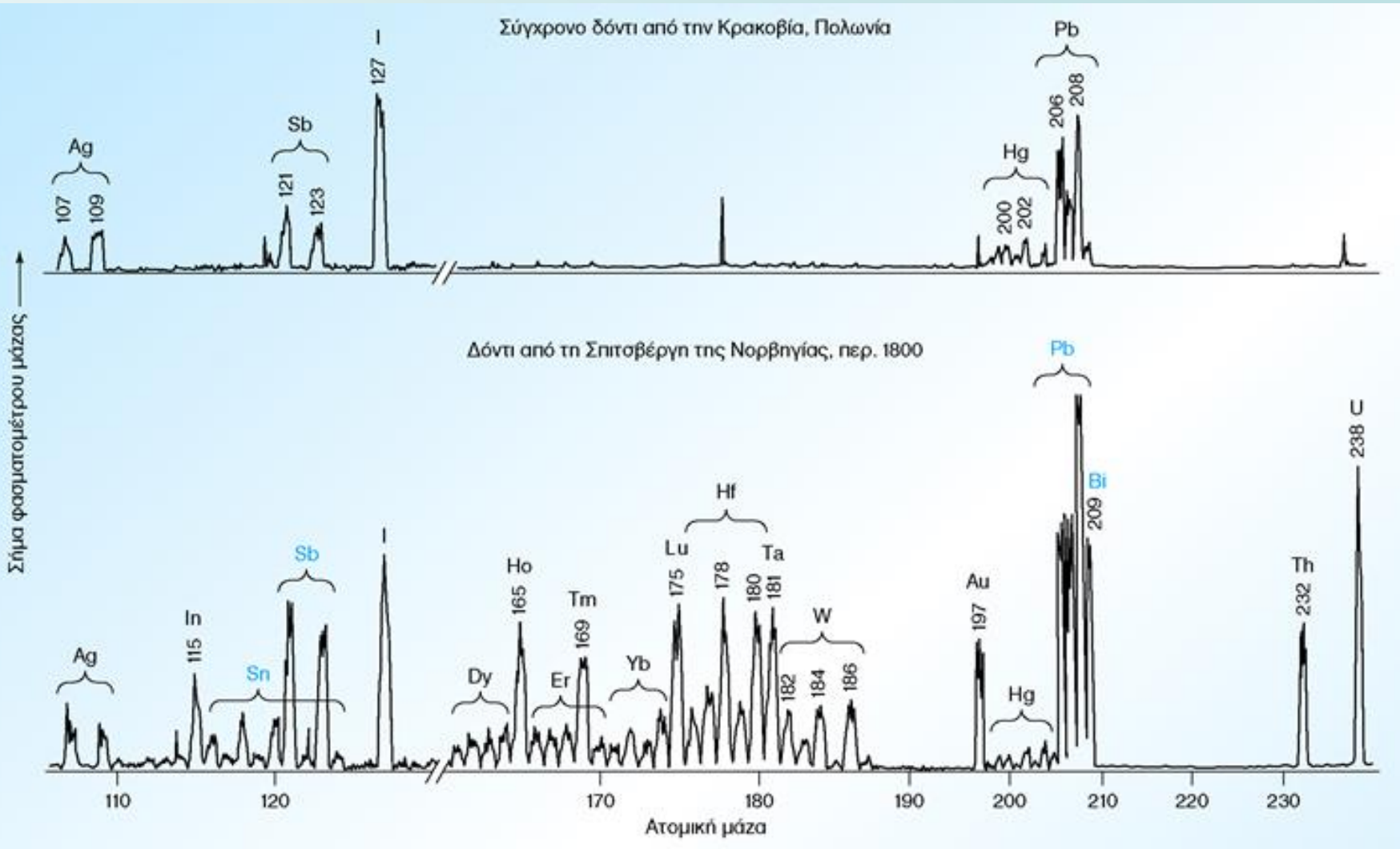
Η υψηλή διακριτική ικανότητα απαιτεί τη χρήση στενών σχισμών, που μειώνει συνήθως τον λόγο σήματος-προς-θόρυβο και την επαναληψιμότητα των μετρήσεων της έντασης των γραμμών.

Επαγωγικά συζευγμένο πλάσμα με ανιχνευτή φασματογράφο μάζας



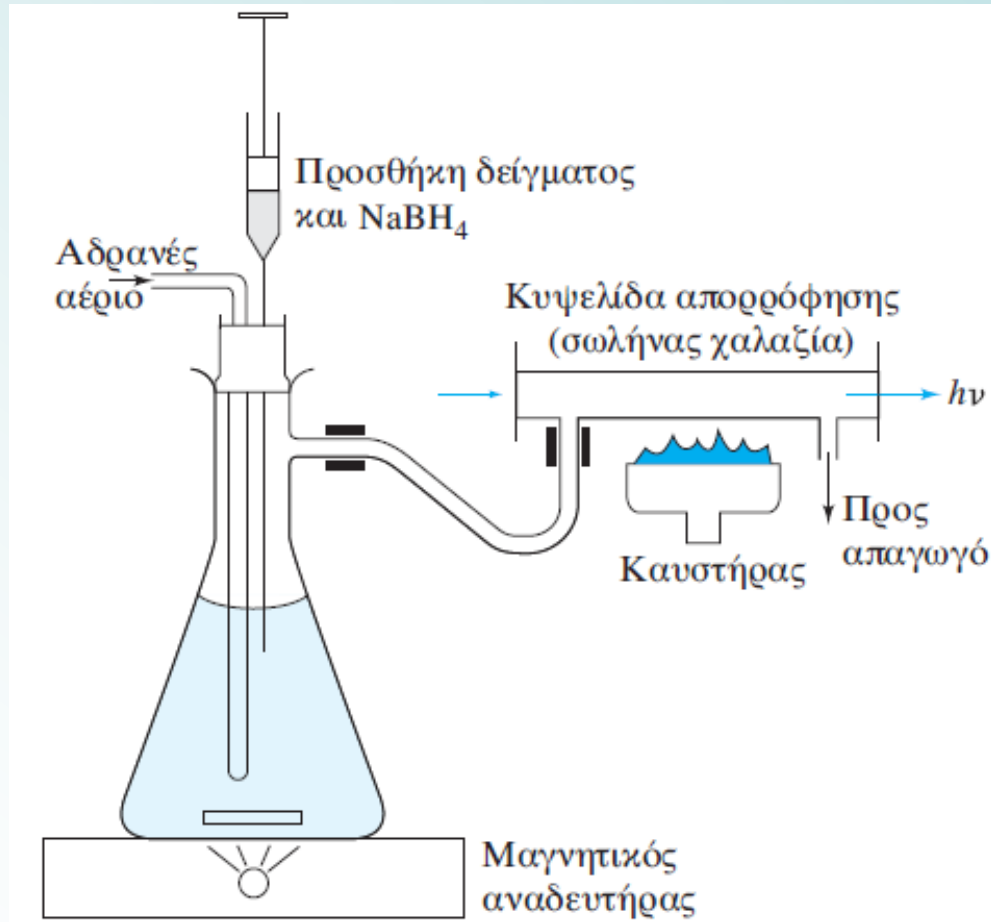
Το πλάσμα ιοντίζει έναν αριθμό ατόμων τα οποία εισέρχονται σε **φασματογράφο μάζας**, ο οποίος διαχωρίζει τα ιόντα βάσει των μαζών τους και μετρά την ποσότητά τους.

Επαγωγικά συζευγμένο πλάσμα με ανιχνευτή φασματογράφου μάζας



Ατομοποίηση με σχηματισμό υδριδίων

Τεχνική εισαγωγής δειγμάτων διαλυμάτων με τη μορφή υδριδίων. Η ατομοποίηση των υδριδίων απαιτεί θέρμανσή τους σε σωλήνα χαλαζία.



Γεννήτρια υδριδίων και σύστημα ατομοποίησης για φασματομετρία ατομικής απορρόφησης

Ατομοποίηση ψυχρού ατμού

Η τεχνική *ατομοποίησης ψυχρού ατμού* (cold vapor atomization) εφαρμόζεται μόνο στον προσδιορισμό του υδραργύρου, επειδή αυτός είναι το μόνο μέταλλο το οποίο έχει μια υπολογίσιμη τάση ατμών στη θερμοκρασία δωματίου.

1. Ο υδράργυρος μετατρέπεται σε Hg^{2+} μετά από κατεργασία των δειγμάτων με ένα οξειδωτικό μίγμα νιτρικού και θειικού οξέος, η οποία ακολουθείται από αναγωγή του Hg^{2+} σε μεταλλικό Hg με SnCl_2 .
2. Ο στοιχειακός υδράργυρος σαρώνεται προς μια κυψελίδα απορρόφησης μακράς διαδρομής, με διαβίβαση ρεύματος αδρανούς αερίου στο μίγμα όπου παράγεται.
3. Η ανάλυση συμπληρώνεται με μέτρηση της απορρόφησης στα 253,7 nm.

Τα όρια ανίχνευσης βρίσκονται στην περιοχή των $\mu\text{g/L}$.

Πηγές ακτινοβολίας στην ατομική απορρόφηση

Οι αναλυτικές μέθοδοι που βασίζονται στην ατομική απορρόφηση, είναι δυνατόν να είναι πολύ εκλεκτικές, επειδή οι γραμμές ατομικής απορρόφησης είναι εξαιρετικά στενές (0,002 έως 0,005 nm) και οι ενέργειες των ηλεκτρονιακών μεταπτώσεων είναι χαρακτηριστικές για κάθε στοιχείο.

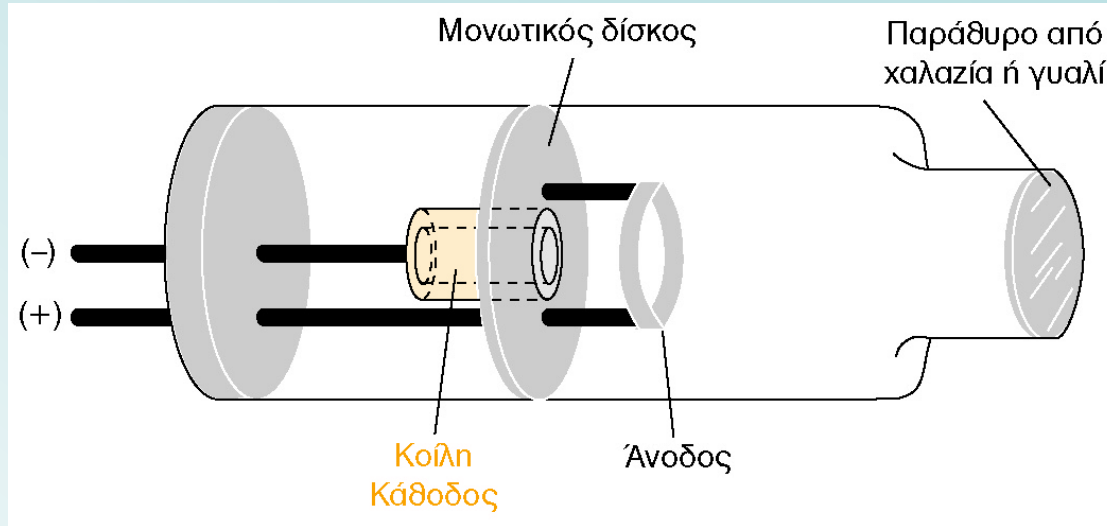
Η διέλευση της γραμμής της πηγής μέσω της φλόγας μειώνει την έντασή της από P_0 σε P , οπότε η απορρόφηση δίνεται ως $-\log(P/P_0)$ και **συνδέεται γραμμικά με τη συγκέντρωση του αναλύτη** στο δείγμα.

Μειονέκτημα της διαδικασίας που περιγράφεται πιο πάνω είναι η ανάγκη χρησιμοποίησης διαφορετικής λυχνίας για κάθε προσδιοριζόμενο στοιχείο (ή πολλές φορές ομάδας στοιχείων).

Λυχνία κοίλης καθόδου

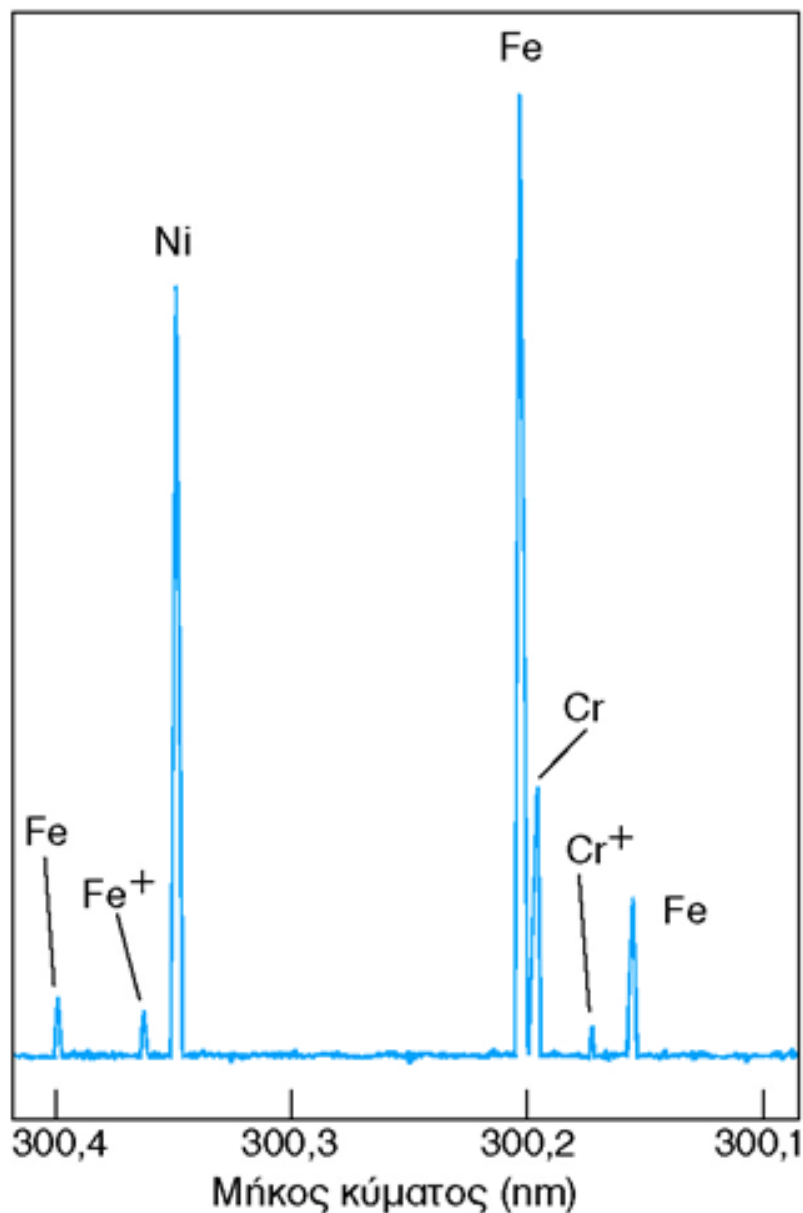
Η συνηθέστερη πηγή ακτινοβολίας για μετρήσεις ατομικής απορρόφησης.

Αποτελείται από μια άνοδο βολφραμίου και μια κυλινδρική κάθοδο, οι οποίες σφραγίζονται σε υάλινο σωλήνα, που περιέχει νέον ή αργό σε πίεση 1 έως 5 torr. Η κάθοδος κατασκευάζεται από το μέταλλο του οποίου το φάσμα επιθυμούμε ή επιστρώνεται με ένα στρώμα αυτού του μετάλλου.



Όταν η εφαρμοζόμενη στα ηλεκτρόδια τάση φθάσει τα 300 V συμβαίνει ιοντισμός του εσωτερικού αερίου και δημιουργείται ρεύμα 5 έως 15 mA από τα ιόντα και ηλεκτρόνια που μετακινούνται μεταξύ των ηλεκτροδίων. Αν το δυναμικό αυξηθεί αρκετά, τα κατιόντα του αερίου αποκτούν αρκετή κινητική ενέργεια, ώστε να εκτοπίσουν μερικά μεταλλικά άτομα από την επιφάνεια της καθόδου και να παράγουν ένα ατομικό νέφος με μια διαδικασία γνωστή ως sputtering (ψεκασμός, εκτίναξη). Ένα κλάσμα των απομακρυνόμενων από την κάθοδο ατόμων του μετάλλου βρίσκονται σε διεγερμένες καταστάσεις και εκπέμπουν τη χαρακτηριστική ακτινοβολία τους κατά την αποδιέγερση στη βασική κατάσταση.

Λυχνία κοίλης καθόδου

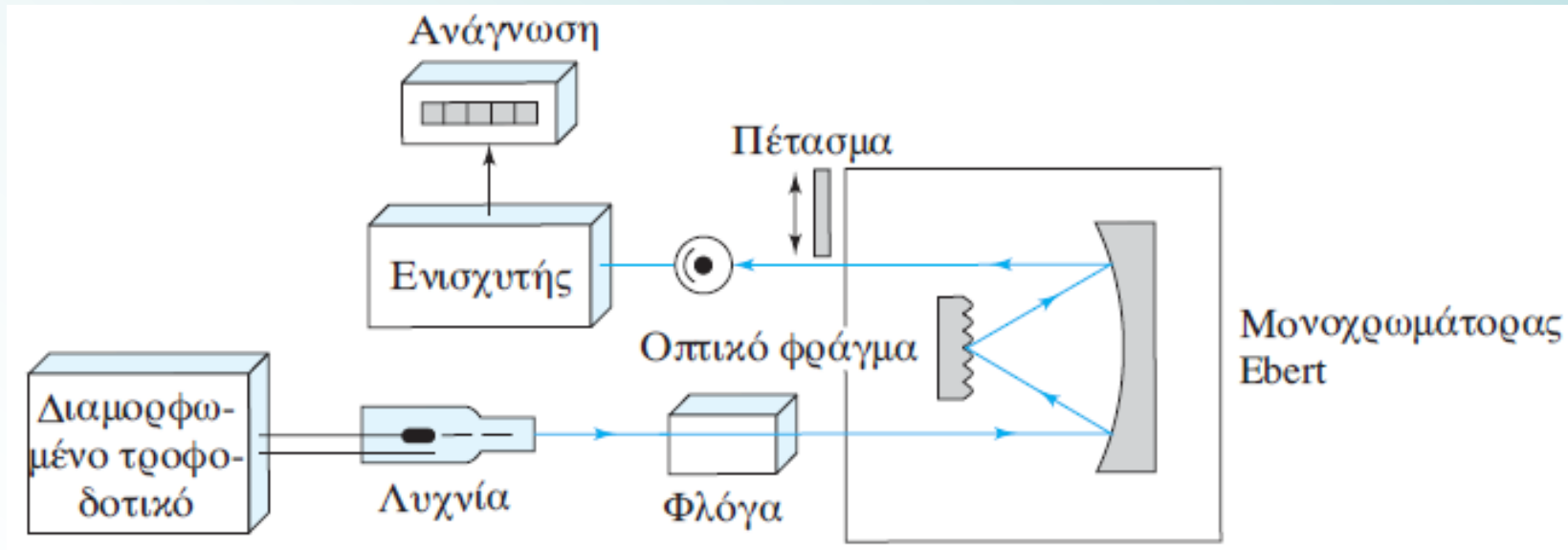


Μέρος του φάσματος εκπομπής μιας λυχνίας κοίλης καθόδου από χάλυβα, που δείχνει τις γραμμές από τα άτομα Fe, Ni και Cr, και τις ασθενείς γραμμές από τα ιόντα Cr⁺ και Fe⁺. Η διακριτική ικανότητα του μονοχρωμάτορα είναι 0,001 nm, η οποία είναι συγκρίσιμη με τα πραγματικά πλάτη των γραμμών.

Φασματοφωτόμετρο φλόγας απλής δέσμης

Το σκοτεινό ρεύμα μηδενίζεται με ένα πέτασμα που παρεμβάλλεται εμπρός στον μεταλλάκτη.

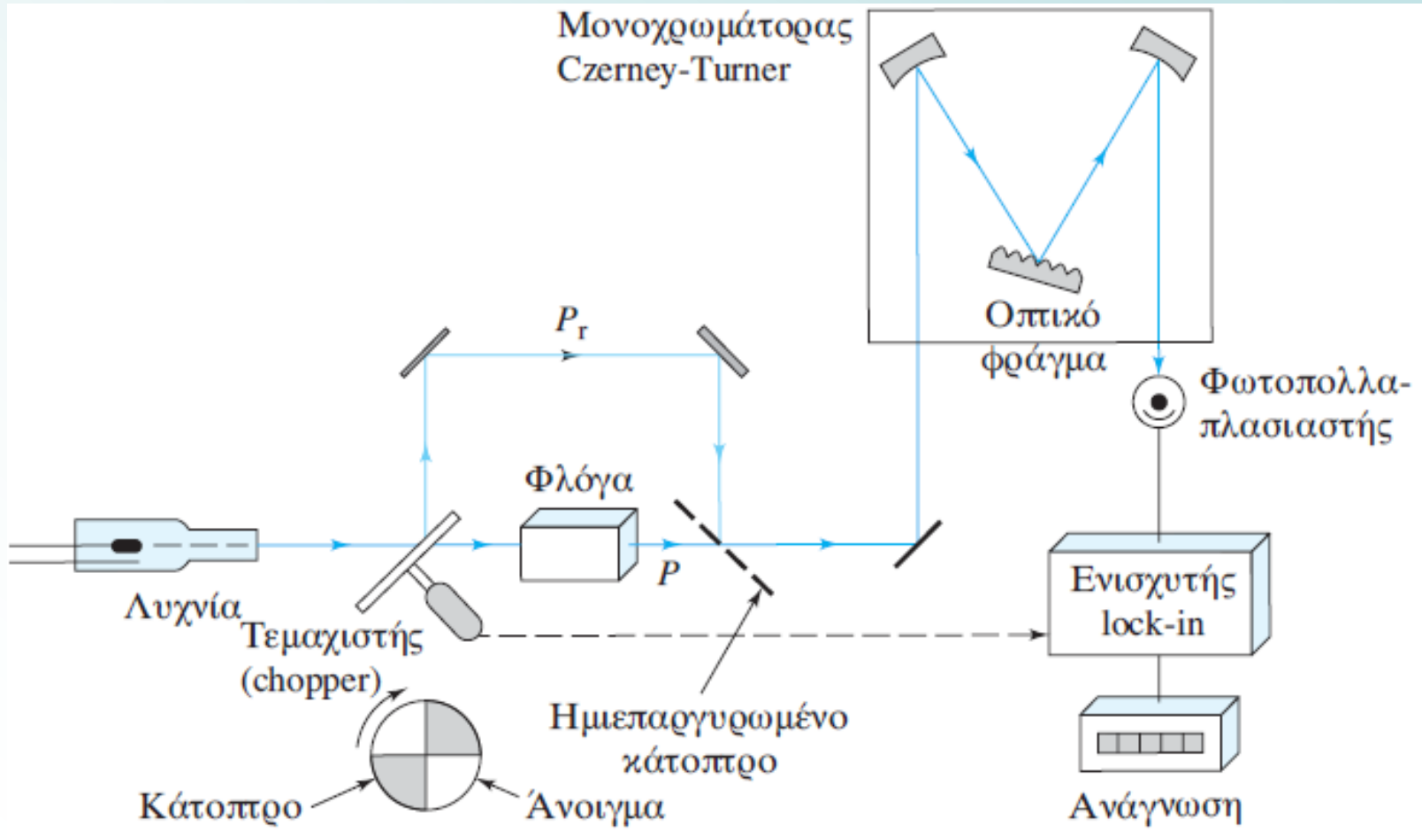
Η ρύθμιση της διαπερατότητας 100% γίνεται με διαβίβαση του τυφλού δείγματος στη φλόγα ή με την πυράκτωσή του μέσα σε άφλογο ατομοποιητή. Τελικά μετρείται η διαπερατότητα με το δείγμα στη θέση του τυφλού.



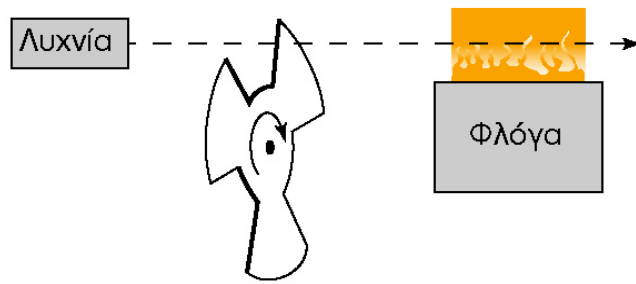
Τυπικό φασματοφωτόμετρο φλόγας απλής δέσμης

Όργανα διπλής δέσμης

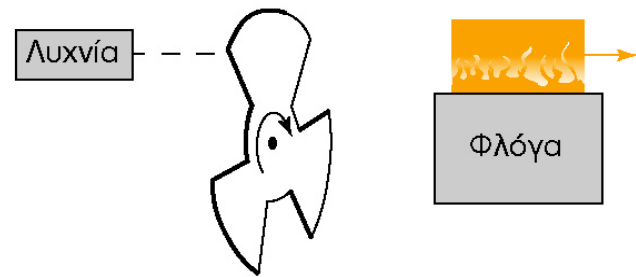
Η δέσμη από τη λυχνία κοίλης καθόδου σχάζεται με έναν κατοπτρικό τεμαχιστή, οπότε το ένα μισό της περνάει από τη φλόγα ενώ το άλλο μισό την παρακάμπτει. Οι δύο δέσμες μετά ανασυνδέονται με ημιεπαργυρωμένο κάτοπτρο και διέρχονται μέσω ενός μονοχρωμάτορα φράγματος τύπου Czerney-Turner. Ως μεταλλάκτης χρησιμοποιείται φωτοπολλαπλασιαστής.



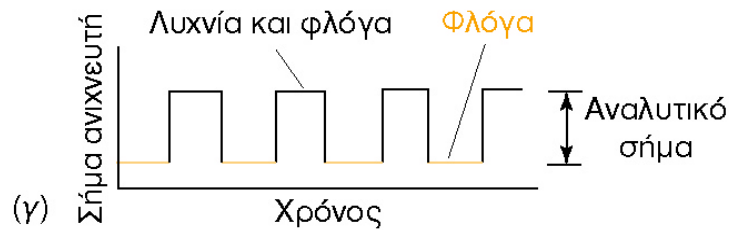
Τυπικό φασματοφωτόμετρο φλόγας διπλής δέσμης



(α) Περιστρεφόμενος τεμαχιστής



(β)



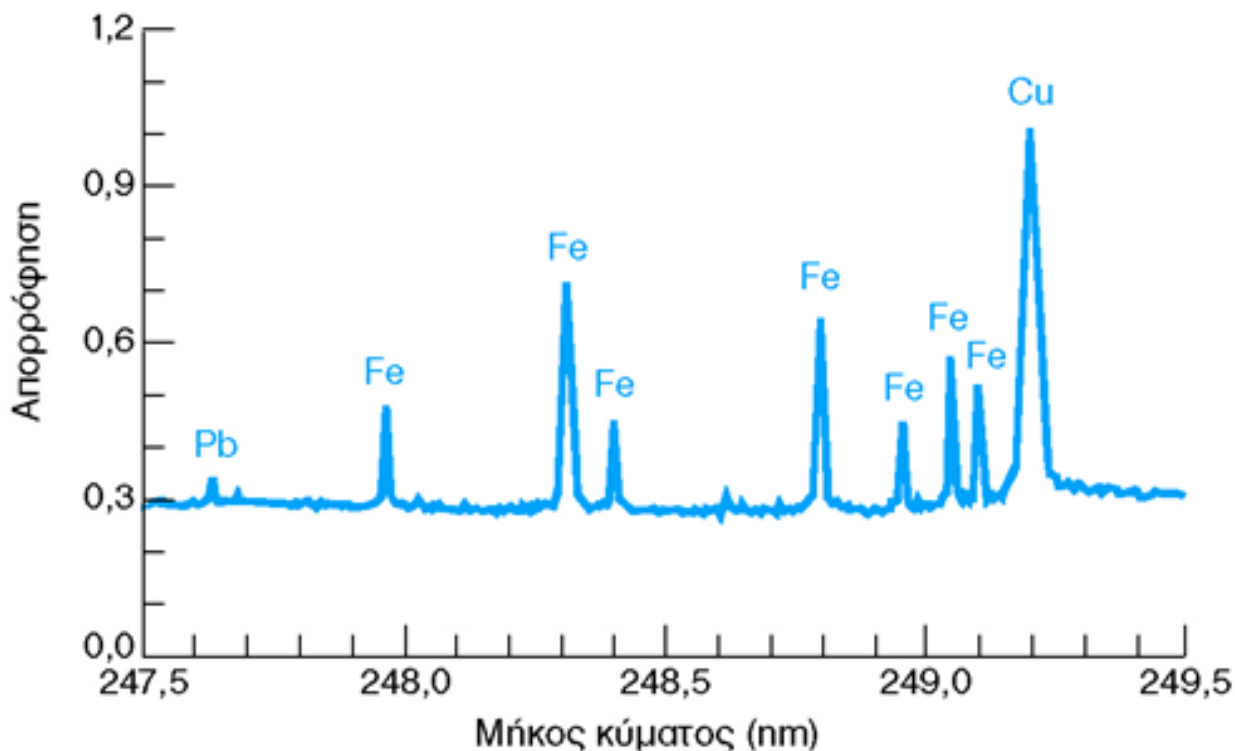
(γ)

Λειτουργία τεμαχιστή

δέσμης για την αφαίρεση του σήματος λόγω της εκπομπής υποβάθρου της φλόγας. (α) Οι εκπομπές από τη λυχνία και τη φλόγα φθάνουν στον ανιχνευτή. (β) Μόνον η εκπομπή από τη φλόγα φθάνει στον ανιχνευτή. (γ) Το τελικό σήμα τετραγωνικού κύματος.

Διόρθωση υποβάθρου

Διαχωρισμός του σήματος του αναλύτη από την απορρόφηση, την εκπομπή και τη σκέδαση λόγω της μήτρας του δείγματος του δείγματος, της φλόγας, του πλάσματος ή του φούρνου γραφίτη.



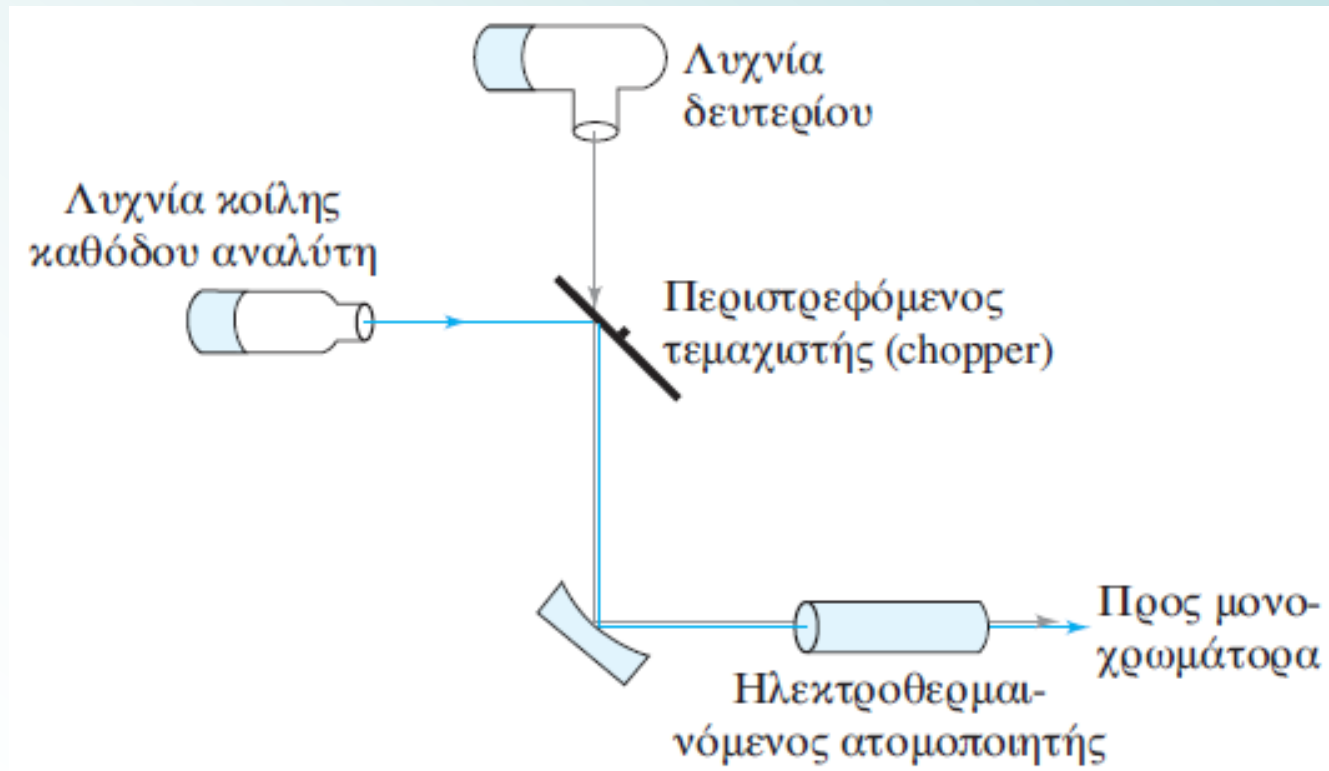
Οξέα ατομικά σήματα με μέγιστη απορρόφηση έως 1,0 υπερτίθενται στο μεγάλο πλάτος υπόβαθρο με απορρόφηση 0,3.

Φάσμα απορρόφησης φούρνου δείγματος μπρούντζου διαλυμένου σε HNO_3 .

Μέθοδος διόρθωσης υποβάθρου με συνεχή πηγή

Διαχωρισμός του σήματος του αναλύτη από την απορρόφηση, την εκπομπή και τη σκέδαση λόγω της μήτρας του δείγματος.

Η λυχνία δευτερίου αποτελεί μια πηγή συνεχούς ακτινοβολίας στην υπεριώδη περιοχή. Η χωροδιάταξη του τεμαχιστή είναι τέτοια, ώστε μέσω του ατομοποιητή του σωλήνα γραφίτη να διέρχεται εναλλάξ ακτινοβολία από τη συνεχή πηγή και από τη λυχνία κοίλης καθόδου. Στη συνέχεια η απορρόφηση από τη λυχνία δευτερίου αφαιρείται από αυτήν της δέσμης του αναλύτη.



ΠΑΡΕΜΠΟΔΙΣΕΙΣ ΣΤΗ ΦΑΣΜΑΤΟΣΚΟΠΙΑ ΑΤΟΜΙΚΗΣ ΑΠΟΡΡΟΦΗΣΗΣ

Φασματικές παρεμποδίσεις

προκύπτουν, όταν η απορρόφηση ή η εκπομπή ενός παρεμποδίζοντος συστατικού του δείγματος επικαλύπτει ή βρίσκεται τόσο κοντά στις γραμμές απορρόφησης ή εκπομπής του αναλύτη, ώστε να καθίσταται αδύνατη η διάκρισή τους από τον μονοχρωμάτορα.

Χημικές παρεμποδίσεις

οφείλονται στις διαδικασίες που συμβαίνουν κατά τη διάρκεια της ατομοποίησης οι οποίες αλλάζουν τα χαρακτηριστικά της απορρόφησης του αναλύτη.

Φασματικές παρεμποδίσεις

Η γραμμή του βαναδίου στα 3082,11 Å παρεμποδίζει τη μέτρηση του αργιλίου, που βασίζεται στην απορρόφηση στα 3082,15 Å. Η παρεμπόδιση μπορεί όμως να αποφευχθεί με χρήση της γραμμής του αργιλίου στα 3092,7 Å.

Φασματικές παρεμποδίσεις οφείλονται επίσης στην παρουσία προϊόντων καύσης, τα οποία έχουν πλατιές ζώνες απορρόφησης, ή σωματιδιακών προϊόντων, που σκεδάζουν την ακτινοβολία. Και τα δύο φαινόμενα μειώνουν την ισχύ της δέσμης, που διαπερνά τη φλόγα και οδηγούν σε **θετικά αναλυτικά σφάλματα**.

Φασματικές παρεμποδίσεις οφειλόμενες σε σκέδαση από προϊόντα ατομοποίησης εμφανίζονται συχνά, όταν διαβιβάζονται πυκνά διαλύματα που περιέχουν στοιχεία, όπως τα Ti, Zr και W, τα οποία σχηματίζουν δύστηκτα οξείδια.

Χημικές παρεμποδίσεις

Οι χημικές παρεμποδίσεις είναι συνηθέστερες από τις φασματικές. Η επίδρασή τους μπορεί συχνά να ελαχιστοποιηθεί με κατάλληλη επιλογή των συνθηκών λειτουργίας.

1. Μείωση της απορρόφησης του ασβεστίου που παρατηρείται με αύξηση των συγκεντρώσεων των θειικών και φωσφορικών ιόντων.

Αντιδραστήρια αποδέσμευσης (releasing agents), τα οποία είναι κατιόντα που αντιδρούν επιλεκτικά με τον παρεμποδιστή και αποτρέπουν την αλληλεπίδρασή του με τον αναλύτη. Π.χ. προσθήκη περίσσειας ιόντων στροντίου ή λανθανίου ελαχιστοποιεί την παρεμπόδιση των φωσφορικών κατά τον προσδιορισμό του ασβεστίου. Επίσης, χρήση προστατευτικών αντιδραστηρίων (8-HQ, EDTA, κλπ) που σχηματίζουν σταθερά-πτητικά σύμπλοκα με τον αναλύτη.

2. Ο ιοντισμός των ατόμων σε μίγματα που χρησιμοποιούν αέρα ως οξειδωτικό, είναι μικρός και γενικά μπορεί να αγνοηθεί. Σε υψηλότερες θερμοκρασίες της φλόγας, όταν χρησιμοποιούνται οξυγόνο ή υποοξείδιο του αζώτου ως οξειδωτικά, ο ιοντισμός γίνεται σημαντικός.



Ο καταστολέας ιοντισμού (ionization suppressor), παρέχει στη φλόγα σχετικά υψηλές συγκεντρώσεις ηλεκτρονίων με αποτέλεσμα την καταστολή του ιοντισμού του αναλύτη. Π.χ. ο ιοντισμός του στροντίου καταστέλλεται με αύξηση της συγκέντρωσης των ιόντων και ηλεκτρονίων λόγω του ιοντισμού του καλίου.

Όρια ανίχνευσης (ng/mL) για επιλεγμένα στοιχεία

Στοιχείο	AAS Φλόγας	AAS Ηλεκτροθερμική	AES Φλόγας	AES ICP
Al	30	0,1	5	0,2
As	200	0,5	–	2
Ca	1	0,25	0,1	0,0001
Cd	1	0,01	2000	0,07
Cr	4	0,03	5	0,08
Cu	2	0,05	10	0,04
Fe	6	0,25	50	0,09
Hg	500	5	–	–
Mg	0,2	0,002	5	0,003
Mn	2	0,01	–	0,01
Mo	5	0,5	100	0,2
Na	0,2	0,02	0,1	0,1
Ni	3	0,5	600	0,2
Pb	8	0,1	200	1
Sn	15	5	300	–
V	25	1	200	0,06
Zn	1	0,005	50000	0,1

ΣΥΜΠΕΡΑΣΜΑΤΙΚΑ

Ατομική εκπομπή (Φλογοφωτομετρία) – Ατομική Απορρόφηση

Ατομική εκπομπή: Μέτρηση της ακτινοβολίας που εκπέμπεται από τα άτομα όταν βρίσκονται σε διεγερμένες ενεργειακές καταστάσεις

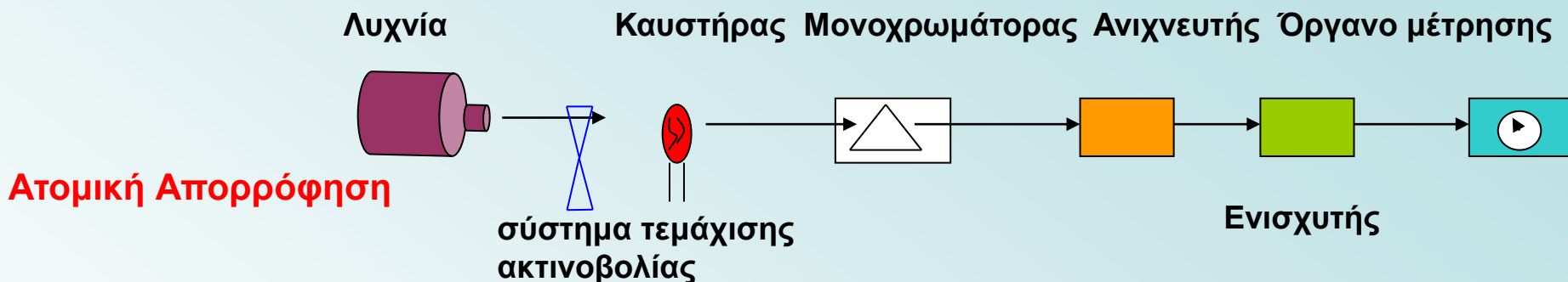
Ατομική απορρόφηση: Μέτρηση της απορρόφησης της ακτινοβολίας από τα άτομα που βρίσκονται στη θεμελιώδη ενεργειακή κατάσταση.

Φλογοφωτομετρία – Ατομική εκπομπή

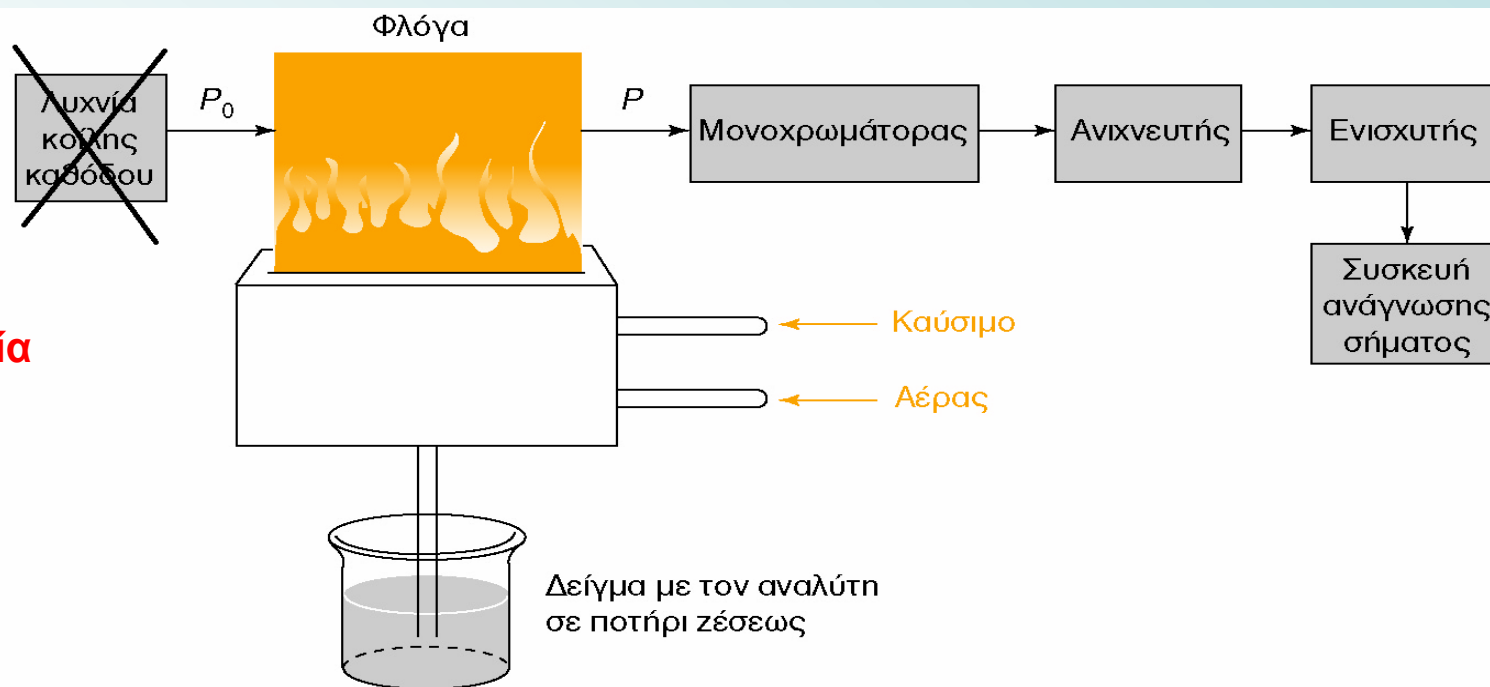
Όταν ίχνη ενός μετάλλου τοποθετηθούν πάνω από μία φλόγα δημιουργείται ένας χρωματισμός. Διαφορετικά μέταλλα και κυρίως τα αλκάλια και οι αλκαλικές γαίες εκπέμπουν ορατή ακτινοβολία ενός συγκεκριμένου χρώματος.

Τα αλκάλια και οι αλκαλικές γαίες χρειάζονται σχετικά λίγη ενέργεια και μία φλόγα υγραερίου-αέρος (900-1200 °C) είναι αρκετή. Άλλα στοιχεία χρειάζονται πολύ μεγαλύτερη ενέργεια και άλλα είδη καύσιμης ύλης.

Οι χρησιμοποιούμενες πηγές ακτινοβολίας είναι ίδιες με το στοιχείο προς ανίχνευση - μέτρηση. Η φλόγα χρησιμοποιείται για τον «καθαρισμό» του δείγματος και την δημιουργία οπτικής επαφής μεταξύ της πηγής της ακτινοβολίας και των στοιχείων προς μέτρηση.



Φλογοφωτομετρία



διαπερατότητα = $T = P/P_0$ και απορρόφηση = $A = -\log T$.

Στην πράξη, το P_0 είναι η ένταση της ακτινοβολίας που φθάνει στον ανιχνευτή

όταν δεν πηγαίνει δείγμα στη φλόγα και P είναι η μετρούμενη ένταση ακτινοβολίας όταν υπάρχει δείγμα.

ΠΑΡΑΔΕΙΓΜΑ

Σε μια σειρά δειγμάτων τσιμέντου προσδιορίζεται το νάτριο με φασματοσκοπία εκπομπής φλόγας. Το φλογοφωτόμετρο βαθμονομήθηκε με μια σειρά πρότυπων διαλυμάτων NaCl που περιείχαν νάτριο ισοδύναμο με 0, 20,0, 40,0, 60,0 και 80,0 $\mu\text{g Na}_2\text{O} / \text{mL}$. Οι αναγνώσεις R του οργάνου για τα πρότυπα διαλύματα ήταν αντιστοίχως: 0, 18,4, 37,8, 54,0 και 74,2.

(α) Να σχεδιασθεί η καμπύλη βαθμονόμησης.

(β) Να υπολογισθεί η εξίσωση της γραμμής με τη μέθοδο των ελαχίστων τετραγώνων.

(γ) Τα ακόλουθα πειραματικά δεδομένα μετρήθηκαν σε επαναλαμβανόμενες αναλύσεις, που έγιναν σε δείγματα τσιμέντου 1,000 g που διαλύθηκαν σε HCl και αραιώθηκαν στα 100,0 mL μετά την εξουδετέρωση:

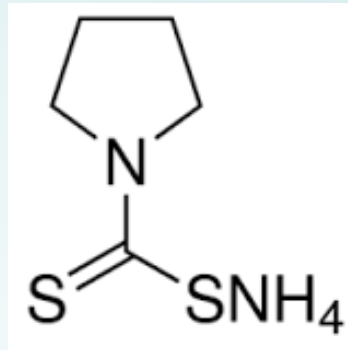
	<u>Ανάγνωση εκπομπής</u>		
	<u>Δείγμα Α</u>	<u>Δείγμα Β</u>	<u>Δείγμα Γ</u>
Μέτρηση 1	28,6	40,7	73,1
Μέτρηση 2	28,2	41,2	72,1
Μέτρηση 3	28,9	40,2	χύθηκε

Να υπολογισθεί η % περιεκτικότητα Na_2O σε κάθε δείγμα.

Ποια είναι η απόλυτη και ποια η σχετική τυπική απόκλιση του μέσου όρου για κάθε προσδιορισμό;

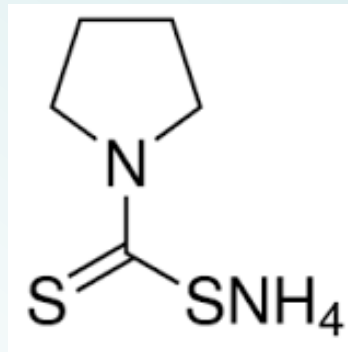
ΠΑΡΑΔΕΙΓΜΑ

Δείγμα αίματος 5,00 mL υπέστη κατεργασία με τριχλωροξικό οξύ για την καταβύθιση των πρωτεϊνών. Μετά τη φυγοκέντρηση, το προκύπτον διάλυμα ρυθμίσθηκε σε $\text{pH} = 3$ και εκχυλίσθηκε με δύο όγκους των 5,0 mL μεθυλοϊσοβουτυλοκετόνης, που περιείχε το οργανικό συμπλεκτικό αντιδραστήριο του μολύβδου, APDC. Για τον προσδιορισμό του Pb με φασματομετρία ατομικής απορρόφησης, το εκχύλισμα αναρροφήθηκε απευθείας σε φλόγα αέρα/ακετυλενίου και έδωσε απορρόφηση 0,444 στα 283,3 nm. 5,00 mL όγκου πρότυπου διαλύματος μολύβδου 0,250 ppm υφίσταται παρόμοια κατεργασία και δίνει απορρόφηση 0,396. Να υπολογισθεί η συγκέντρωση του Pb στο δείγμα του αίματος σε ppm υποθέτοντας ότι ισχύει ο νόμος του Beer.



Εναλλακτικά (1)

Δείγμα αίματος 5,00 mL υπέστη κατεργασία με τριχλωροξικό οξύ για την καταβύθιση των πρωτεϊνών. Μετά τη φυγοκέντρηση, το προκύπτον διάλυμα ρυθμίσθηκε σε $\text{pH} = 3$ και εκχυλίσθηκε με δύο όγκους των 5,0 mL μεθυλοϊσοβουτυλοκετόνης, που περιείχε το οργανικό συμπλεκτικό αντιδραστήριο του μολύβδου, APDC. Για τον προσδιορισμό του Pb με φασματομετρία ατομικής απορρόφησης, **το εκχύλισμα αραιώθηκε λαμβάνοντας 1 mL και προσθέτοντας άλλα 4 mL διαλύτη**. Ακολούθως, αναρροφήθηκε απευθείας σε φλόγα αέρα/ακετυλενίου και έδωσε απορρόφηση 0,444 στα 283,3 nm. 5,00 mL όγκου πρότυπου διαλύματος μολύβδου 0,250 ppm **υφίσταται παρόμοια κατεργασία και αραιώσεις** και δίνει απορρόφηση 0,396. Να υπολογισθεί η συγκέντρωση του Pb στο δείγμα του αίματος, σε ppm, υποθέτοντας ότι ισχύει ο νόμος του Beer.



Εναλλακτικά (2)

Δείγμα αίματος 5,00 mL υπέστη κατεργασία με τριχλωροξικό οξύ για την καταβύθιση των πρωτεϊνών. Μετά τη φυγοκέντρηση, το προκύπτον διάλυμα ρυθμίσθηκε σε $\text{pH} = 3$ και εκχυλίσθηκε με δύο όγκους των 5,0 mL μεθυλοϊσοβουτυλοκετόνης, που περιείχε το οργανικό συμπλεκτικό αντιδραστήριο του μολύβδου, APDC. Για τον προσδιορισμό του Pb με φασματομετρία ατομικής απορρόφησης, **το εκχύλισμα αραιώθηκε λαμβάνοντας 1 mL και προσθέτοντας άλλα 4 mL διαλύτη**. Ακολούθως, αναρροφήθηκε απευθείας σε φλόγα αέρα/ακετυλενίου και έδωσε απορρόφηση 0,444 στα 283,3 nm. 5,00 mL όγκου πρότυπου διαλύματος μολύβδου 0,250 ppm **υφίσταται όμοια κατεργασία χωρίς όμως το στάδιο της τελικής αραιώσης** και δίνει απορρόφηση 0,396. Να υπολογισθεί η συγκέντρωση του Pb στο δείγμα του αίματος, σε ppm, υποθέτοντας ότι ισχύει ο νόμος του Beer.

